Как работает океан

Добролюбов Сергей Анатольевич, академик РАН, декан географического факультета МГУ, профессор, зав. кафедрой океанологии

- Роль океана в глобальном тепло-влагообороте
- Характеристики вод океана
- Динамика океана (волны, приливы, течения)
- Природные колебания в системе океан-атмосфера
- Современные глобальные изменения в океане

Роль океана в глобальном тепло-влагообороте.

Морская вода и атмосферный воздух

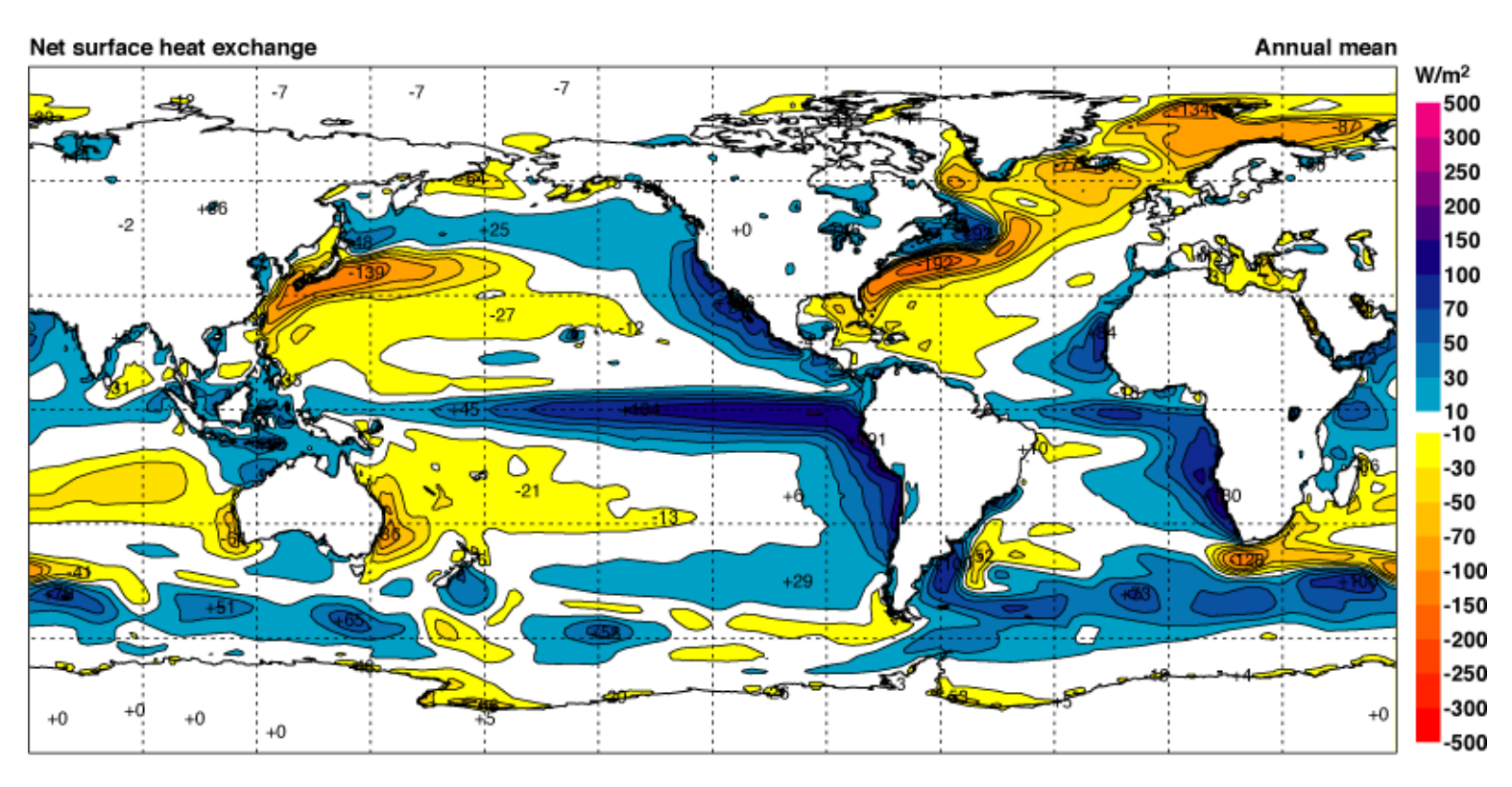
| параметр | Морская вода | Воздух |
|--------------|-------------------------------|-------------------------------------|
| Плотность | 1025 кг/м ³ | 1.2 кг/м ³ |
| Удельная | 4.2×10 ³ Дж/(кг K) | 1×10 ³ Дж/(кг K) |
| теплоемкость | | |

Отношение масс Атм:Океан 1: 262 Отношение теплоемкостей – 1:1096.

При средней глубине океана 3700 м теплоемкость всей атмосферы равна теплоемкости трехметрового слоя океана!

Баланс тепла на поверхности океана



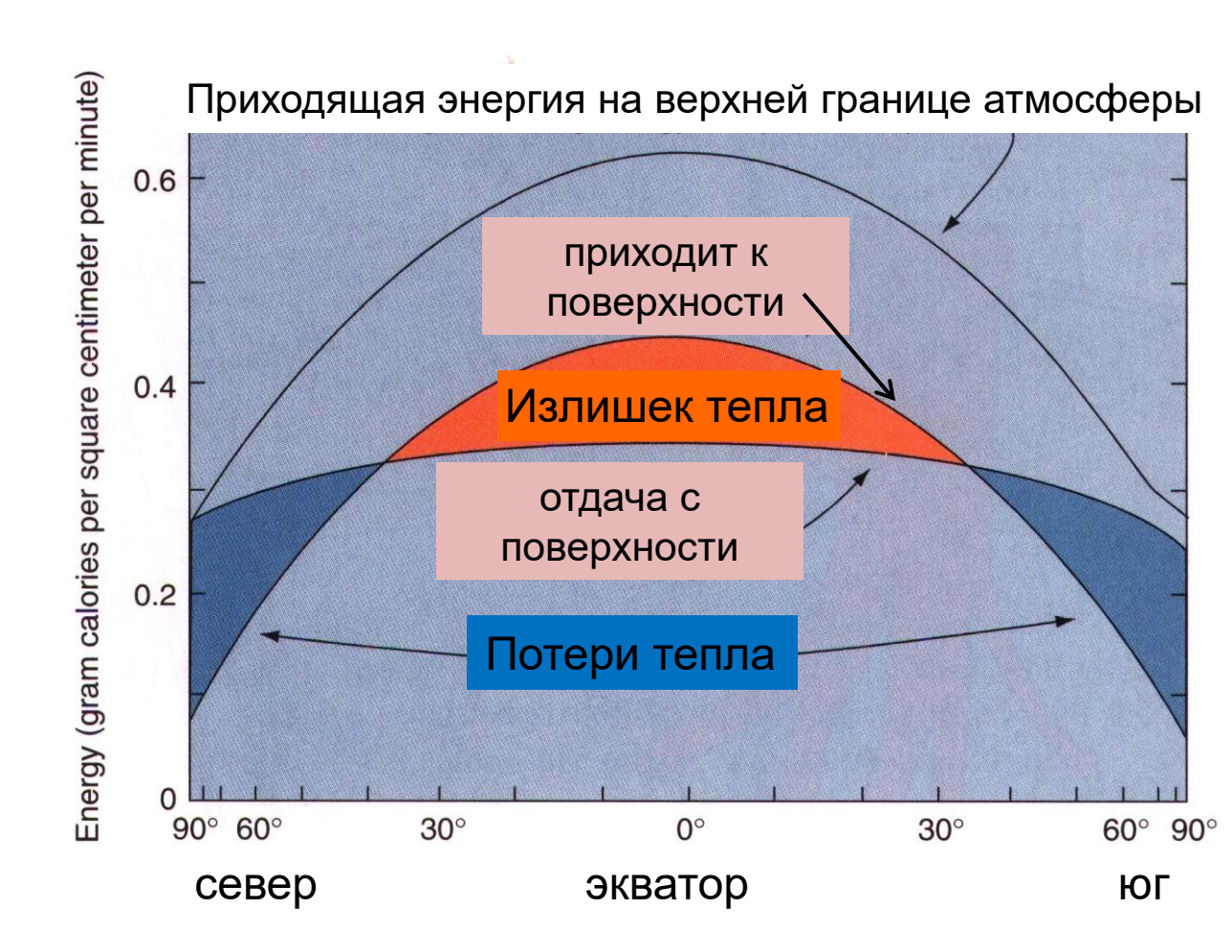


Причины меридионального переноса тепла в океане

Широтные различия теплового баланса

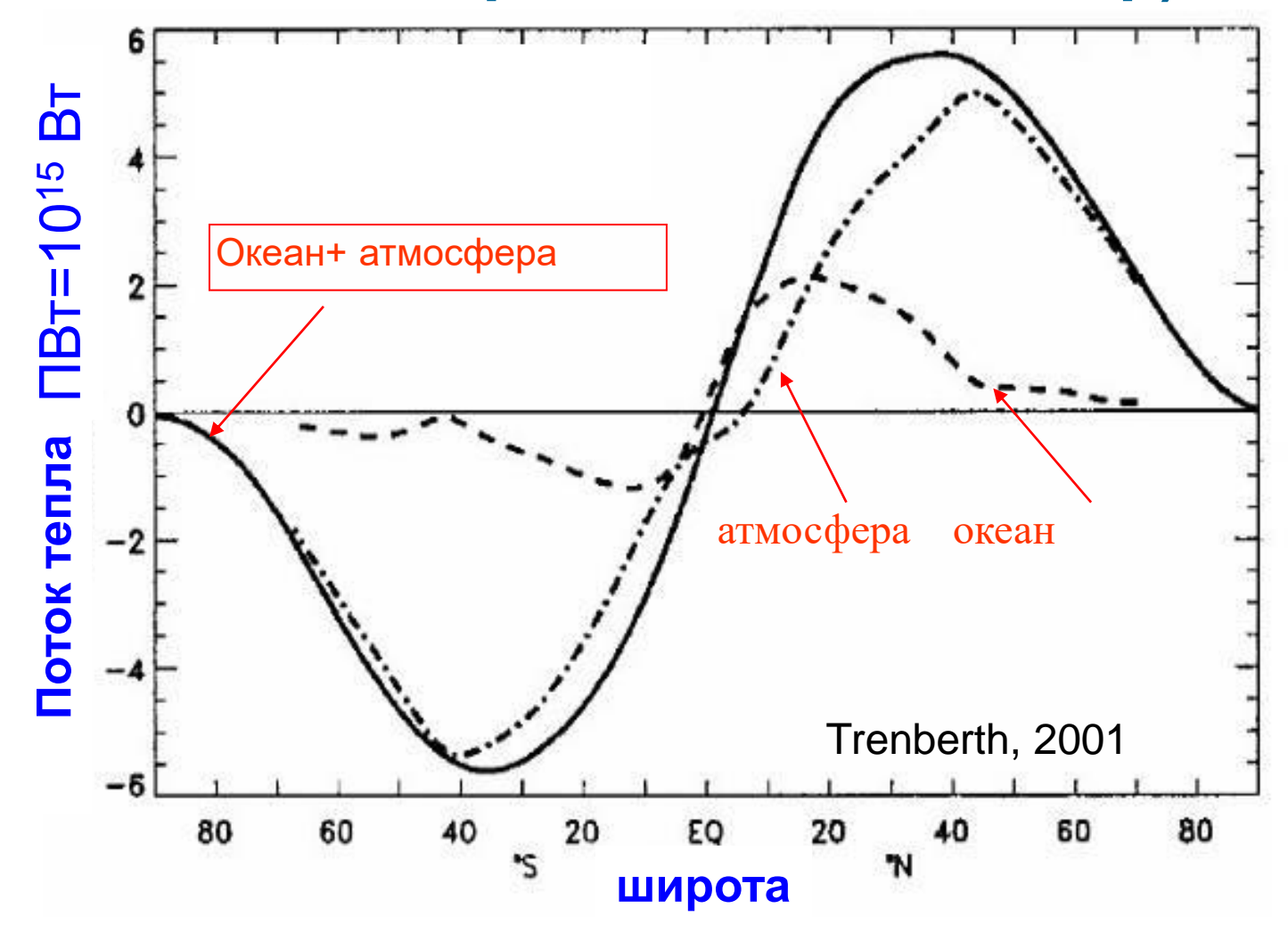
Температурный контраст между высокими и низкими широтами

Для поддержания баланса необходимо межширотное перераспределение получаемой энергии в атмосфере и в океане.

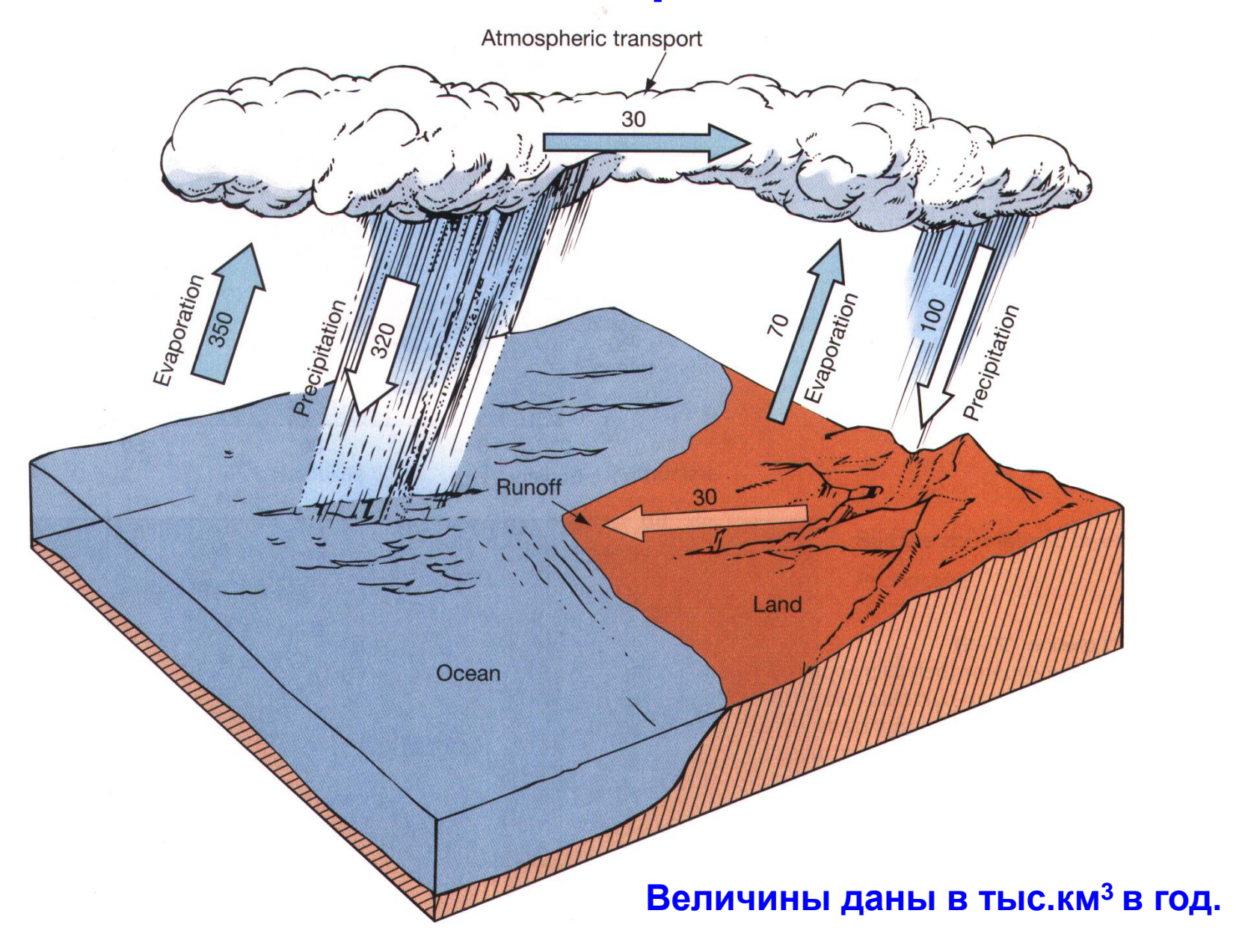


Меридиональный перенос энергии в океане и атмосфере

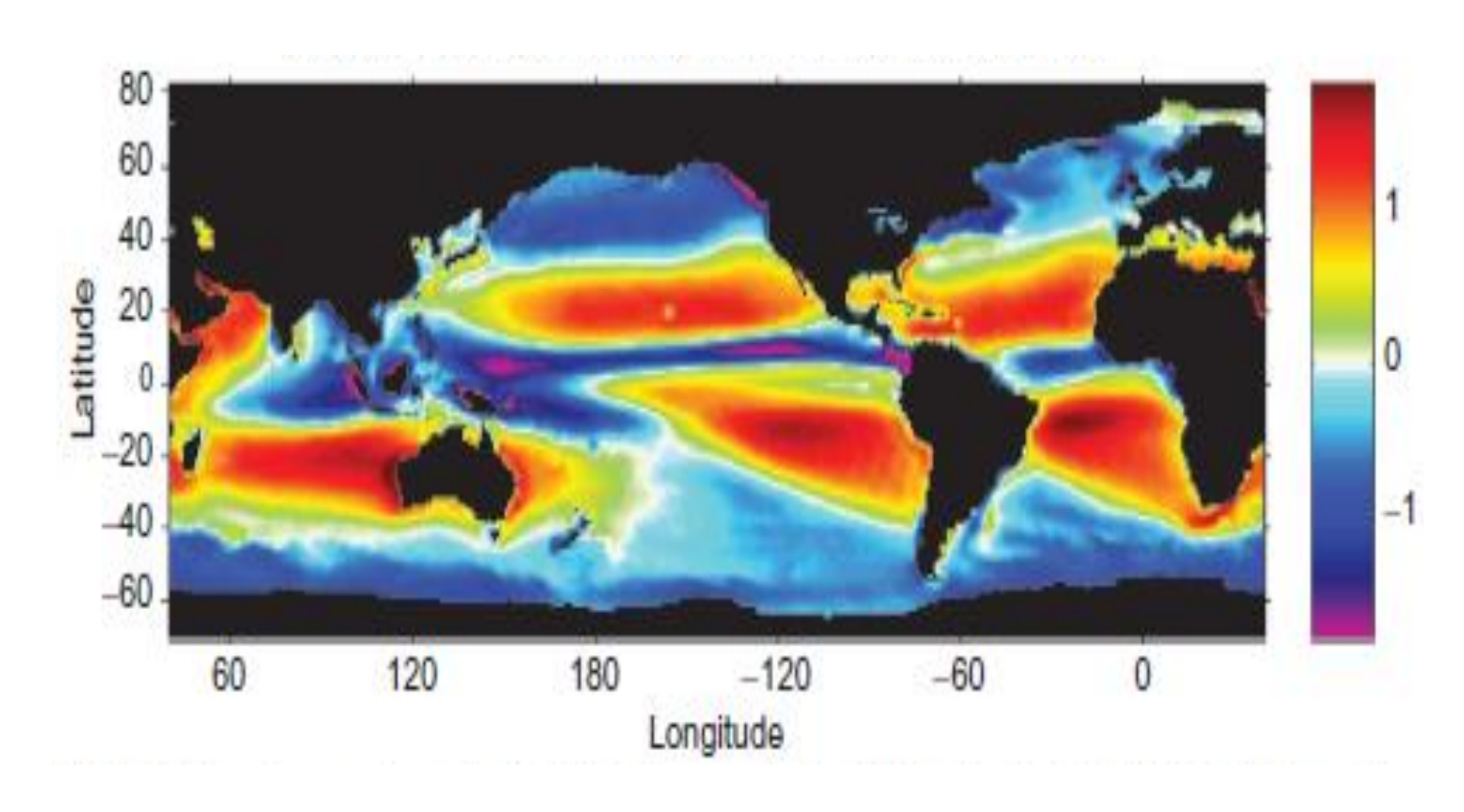
(положительное направление – на север)



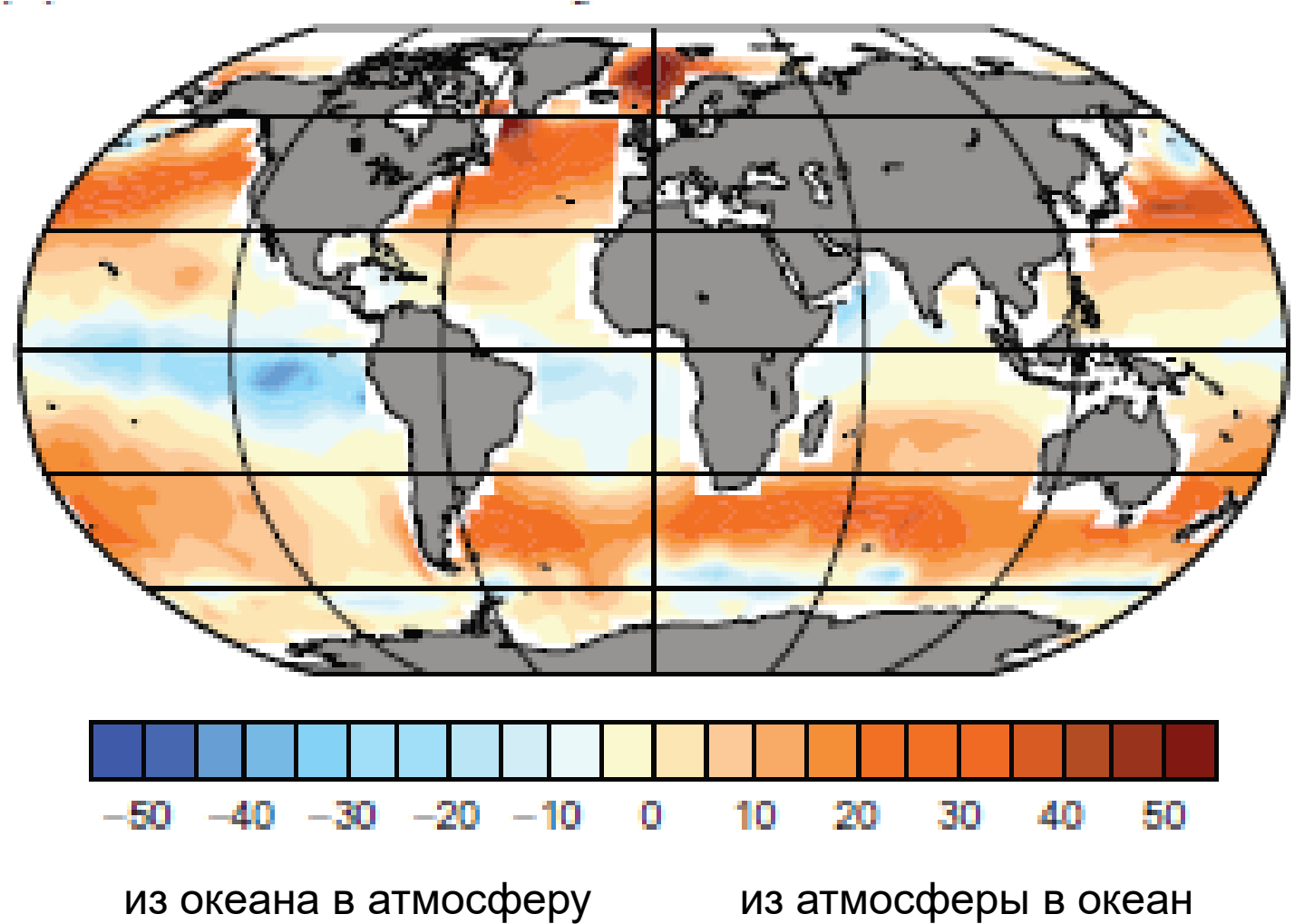
Глобальный гидрологический цикл



Разница испарение – осадки, м/год



Поток CO₂ из атмосферы в океан (г C/ (м² год)



Takahashi, 2009

Характеристики вод океана

Температура

Соленость

Плотность

Растворенный кислород

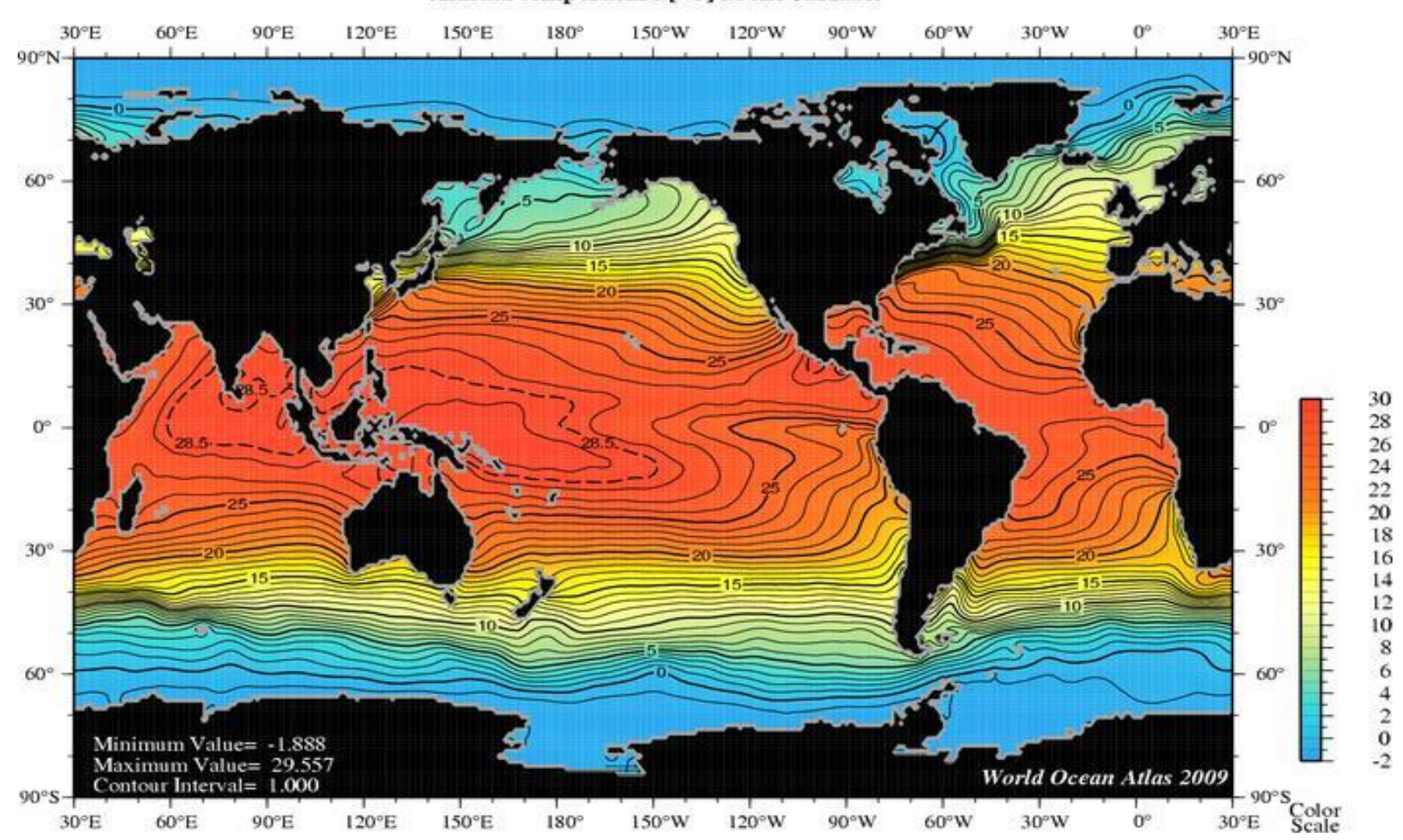
Биогенные вещества

Факторы термического режима океана

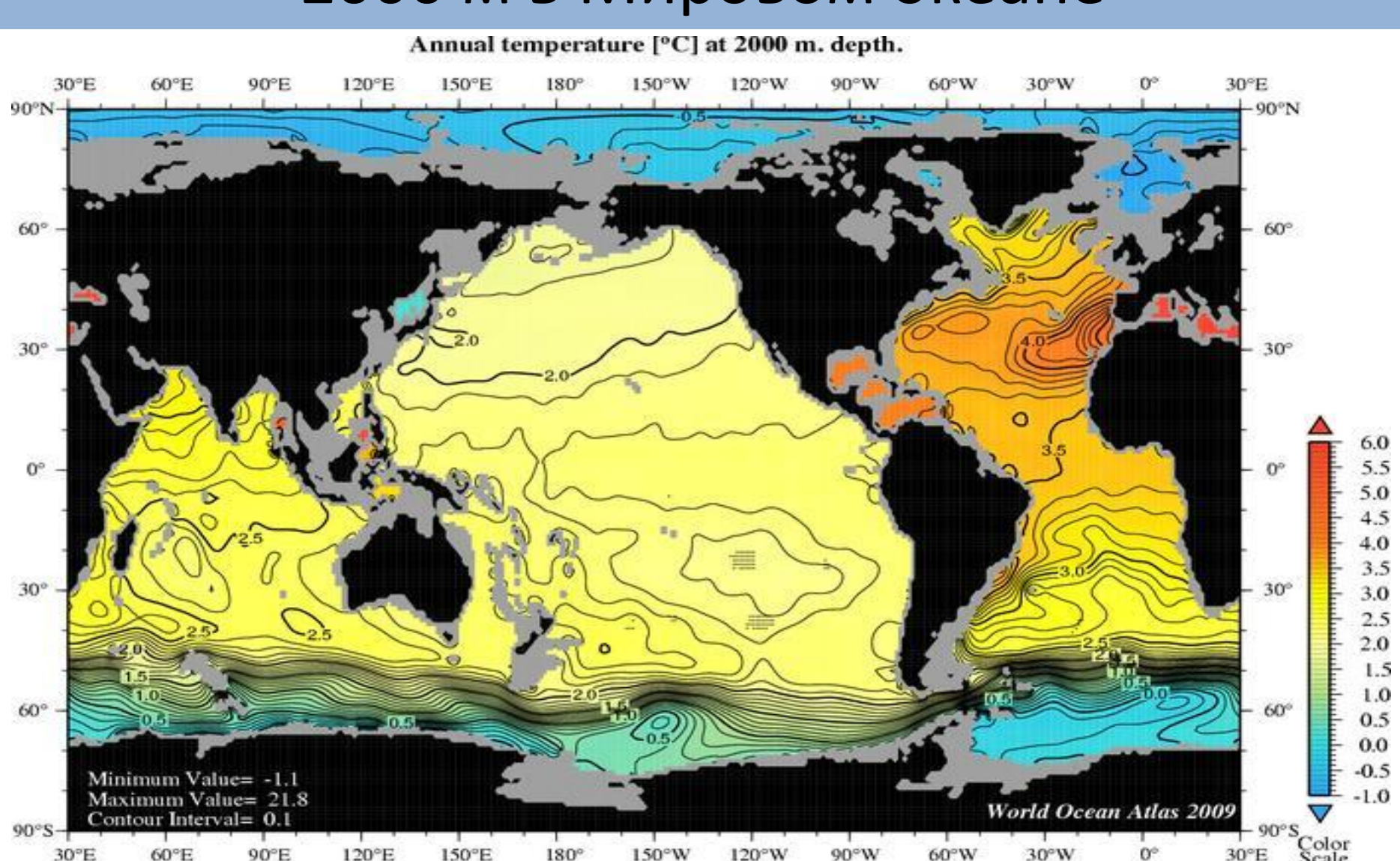
- зональное распределение притока солнечной радиации
- испарение (при этом вода отдает тепло)
- теплообмен с атмосферой (в зависимости от разницы температур вода-воздух)
- принос (адвекция) тепла течениями
- тепловой сток рек
- скрытая теплота фазовых переходов

Распределение температуры на поверхности Мирового океана

Annual temperature [°C] at the surface.



Распределение температуры на глубине 2000 м в Мировом океане



Соленость – содержание [г/кг, ‰ (промилле)] минеральных веществ в 1 кг морской воды

Состав растворенных веществ в морской воде

- макроэлементы определяют соленость воды
- микроэлементы
- биогенные вещества характеризуют условия питания организмов (азот, фосфор, кремний)
- растворенные газы

Солевой состав вод океана (в %)



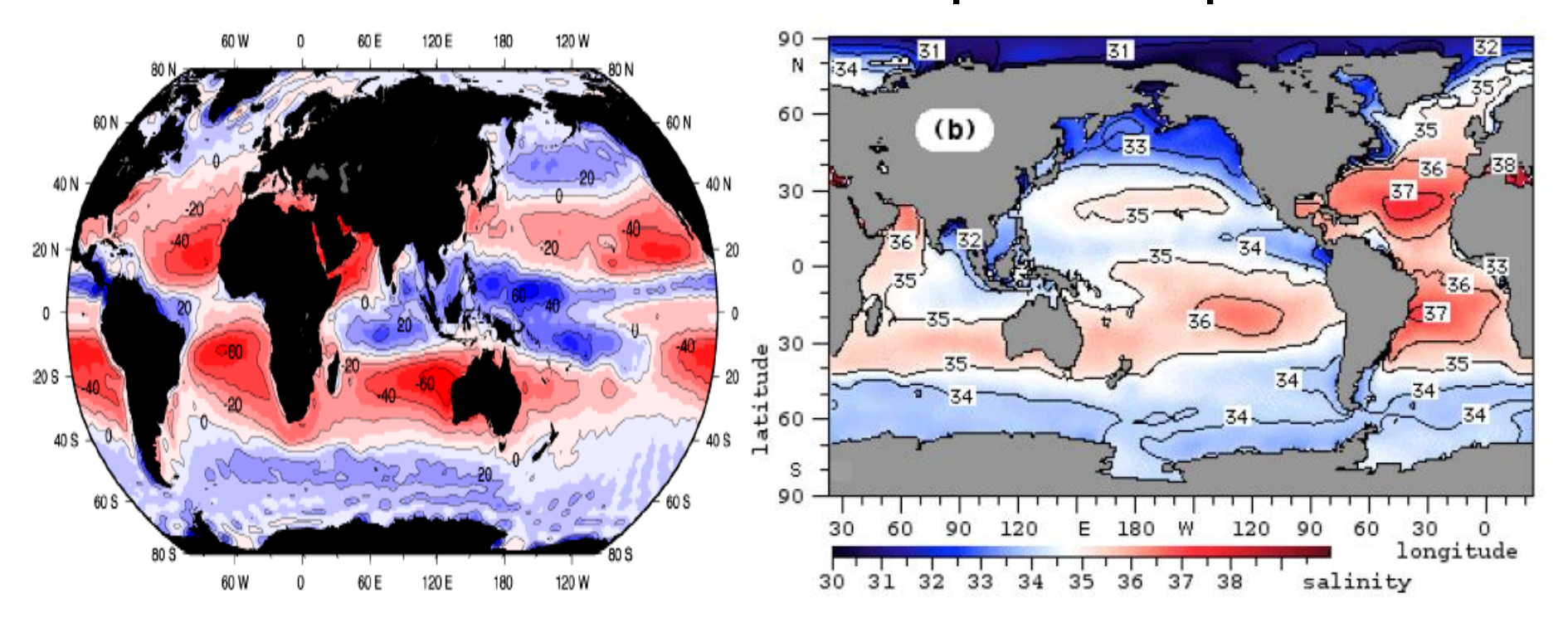
 Солевой состав морских вод одинаков во всех частях Мирового океана (при любой солености) – закон постоянства солевого состава морской воды

Факторы изменения солености

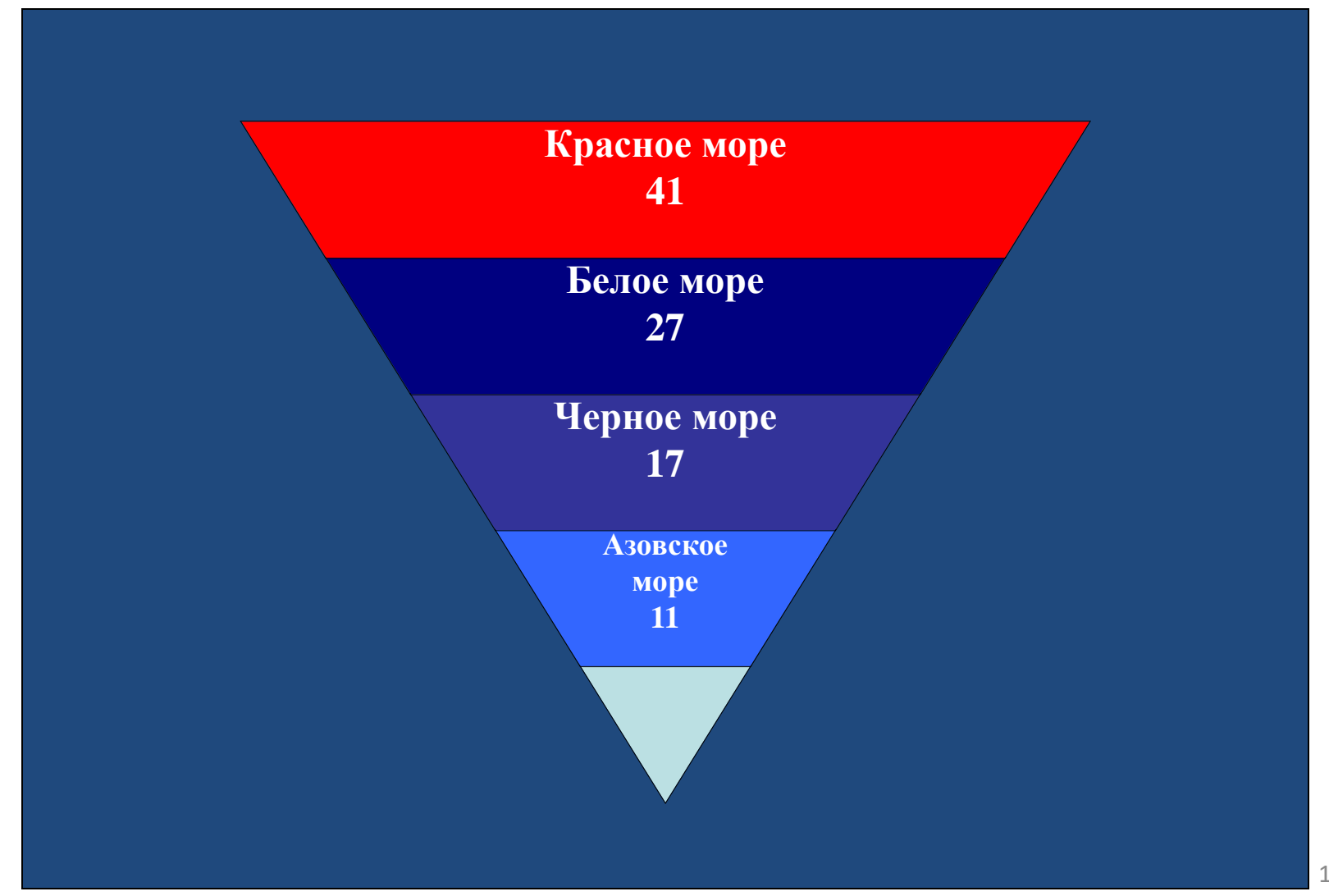
- разность между слоем осадков и испарения
- изменение материкового стока
- региональное влияние процессов таяния и образования льда
- влияние морских течений

Разность испарения и осадков на поверхности океанов (см/год)

Распределение солености на поверхности Мирового океана

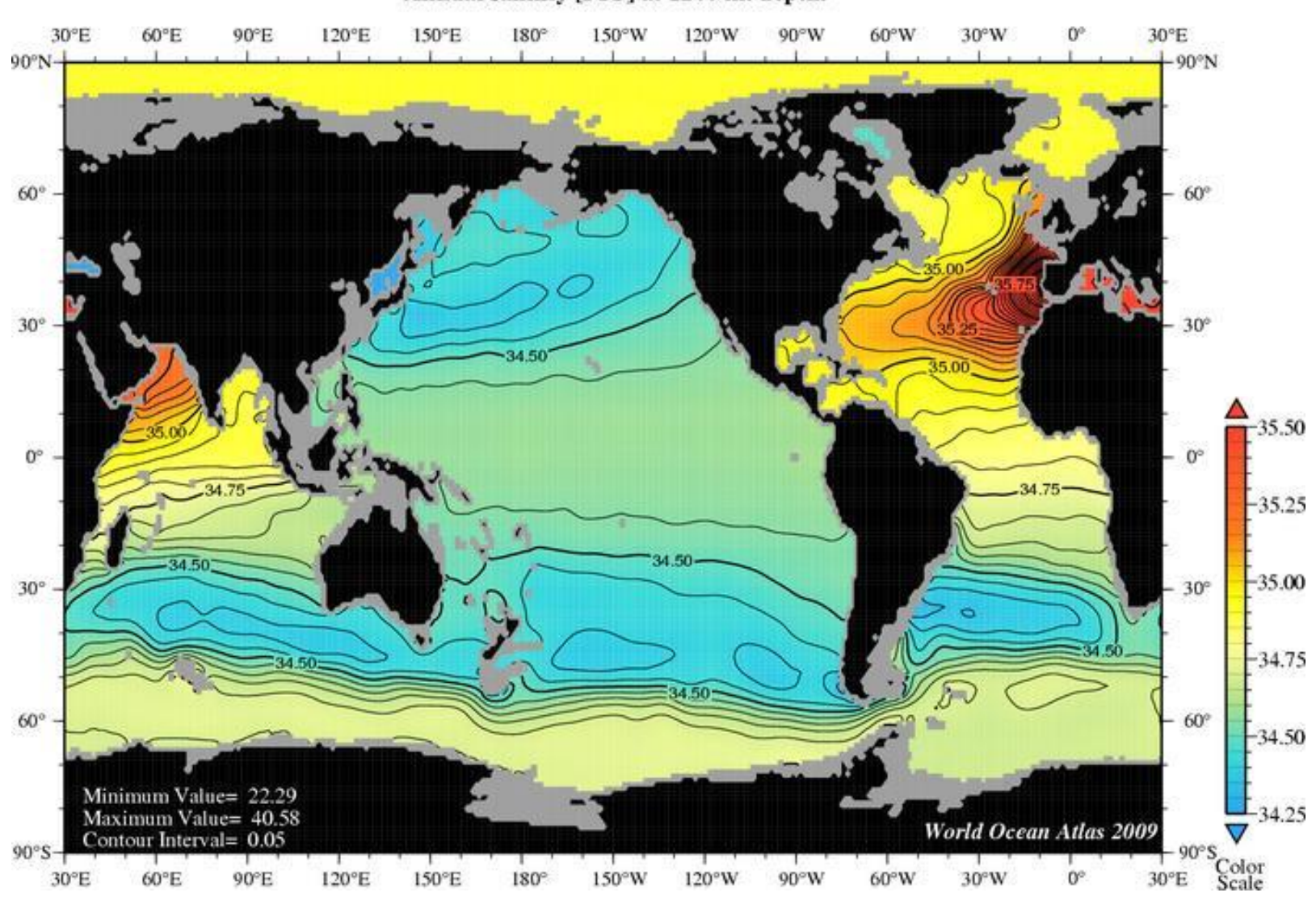


Соленость (‰) поверхностного слоя некоторых внутренних морей



Распределение солености (%) на глубине 1200 м

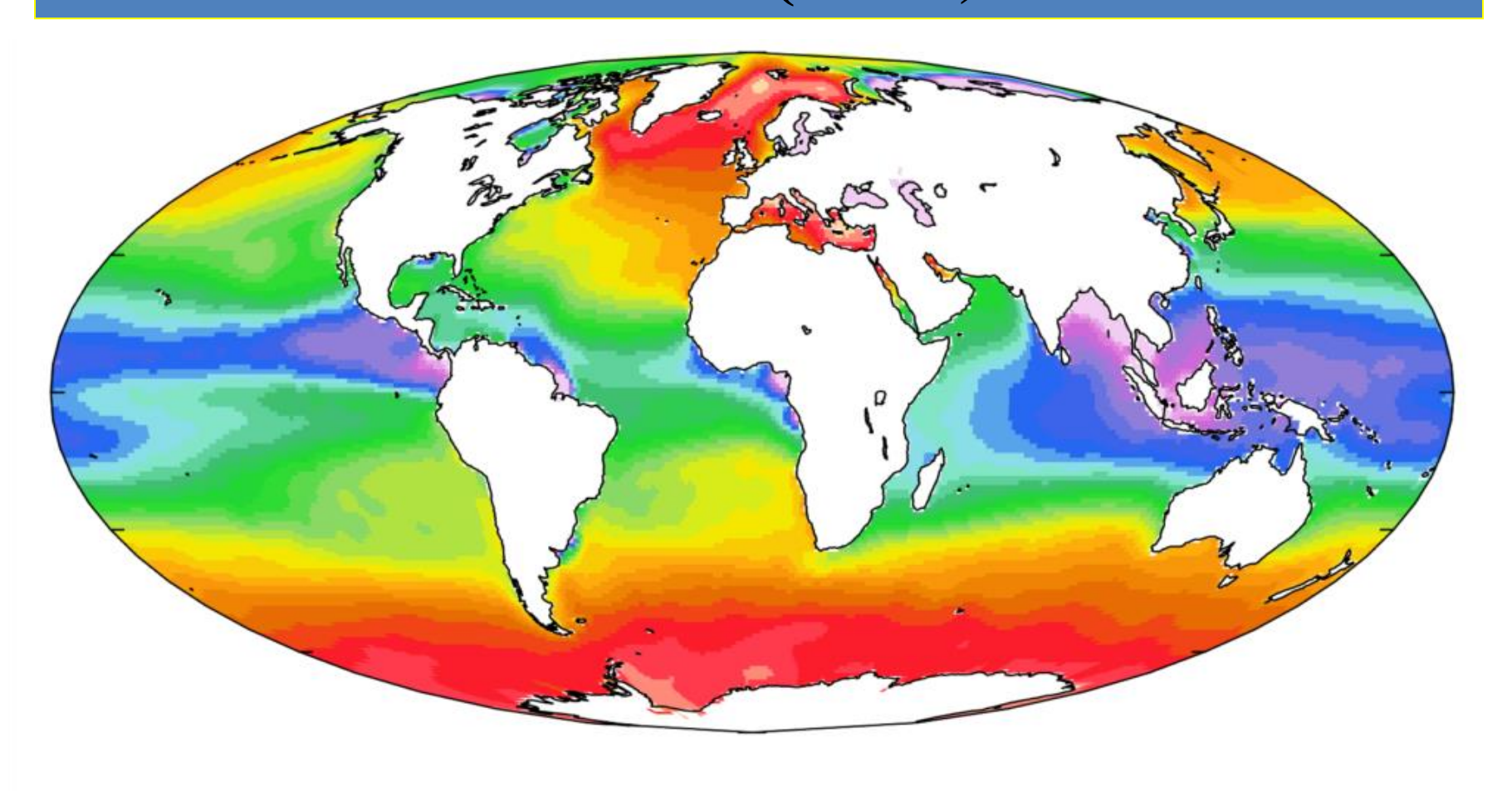


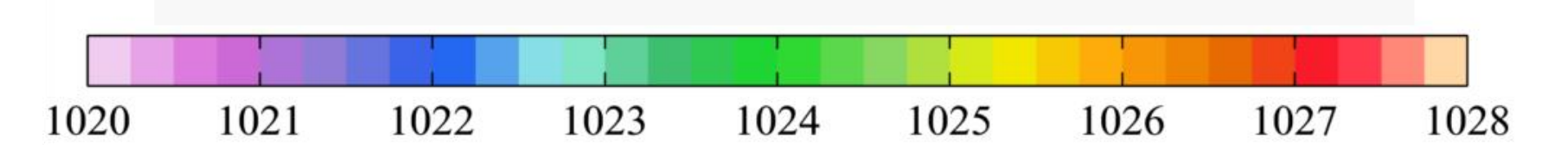


Плотность морской воды

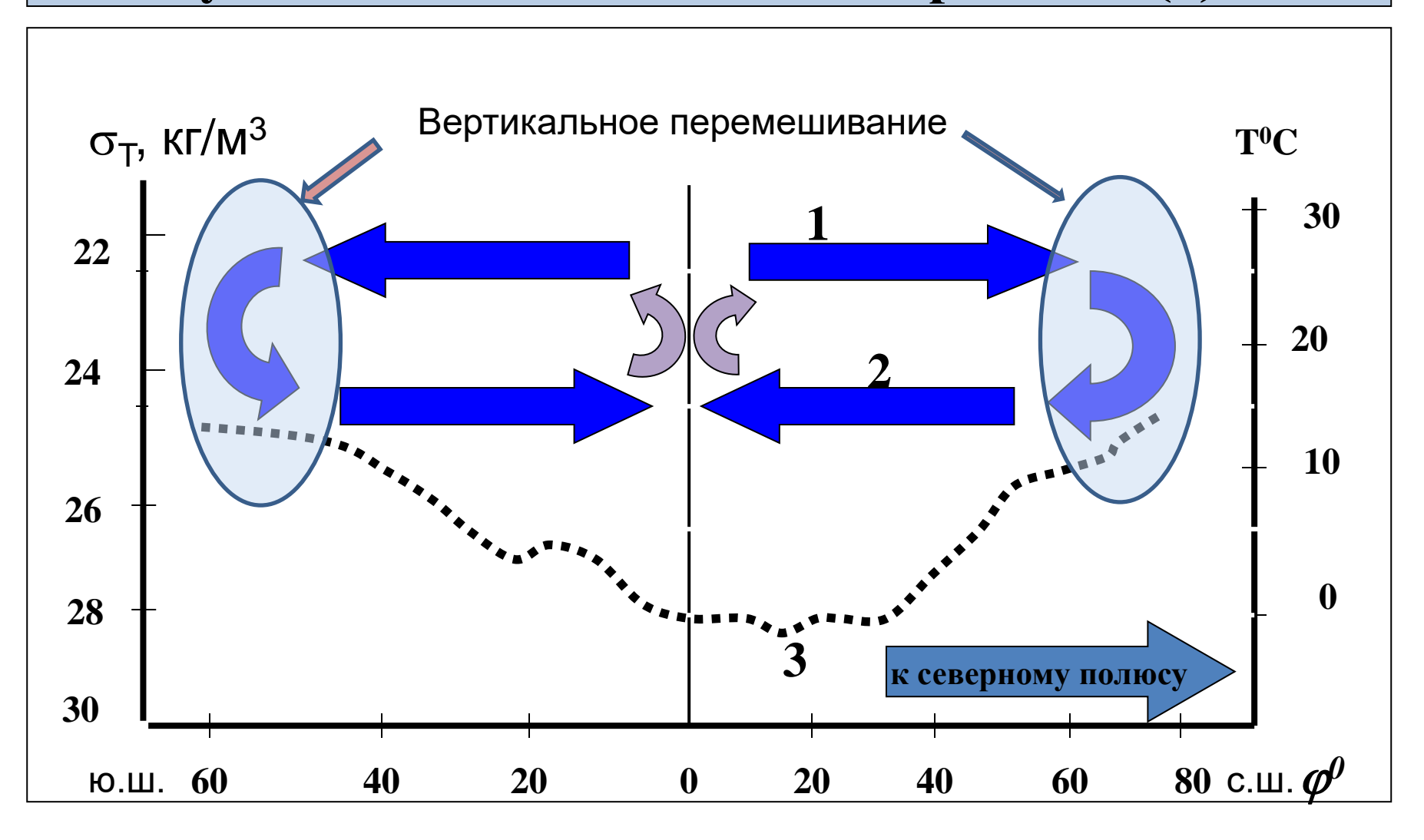
- плотность воды ρ [кг/м³],
- условная плотность [кг/м³] $\sigma_{T} = \rho$ 1000
- при атмосферном давлении величина $\rho = 1025\text{-}1033 \; \text{кг/m}^3$, а $\sigma_{\text{T}} = 25\text{-}33 \; \text{кг/m}^3$
 - Зависимость плотности ρ от давления, температуры и солености
 - $\rho = f(T,S,p)$ уравнение состояния
- увеличение глубины на 1 км приводит к увеличению ρ на 5 кг/м³
- увеличение солености на 1‰ приводит к увеличению ρ на 0,8 кг/м³
- увеличение температуры на 1°С приводит к уменьшению ρ на 0,05-0,35 кг/м³

Распределение плотности на поверхности океана (кг/м³)

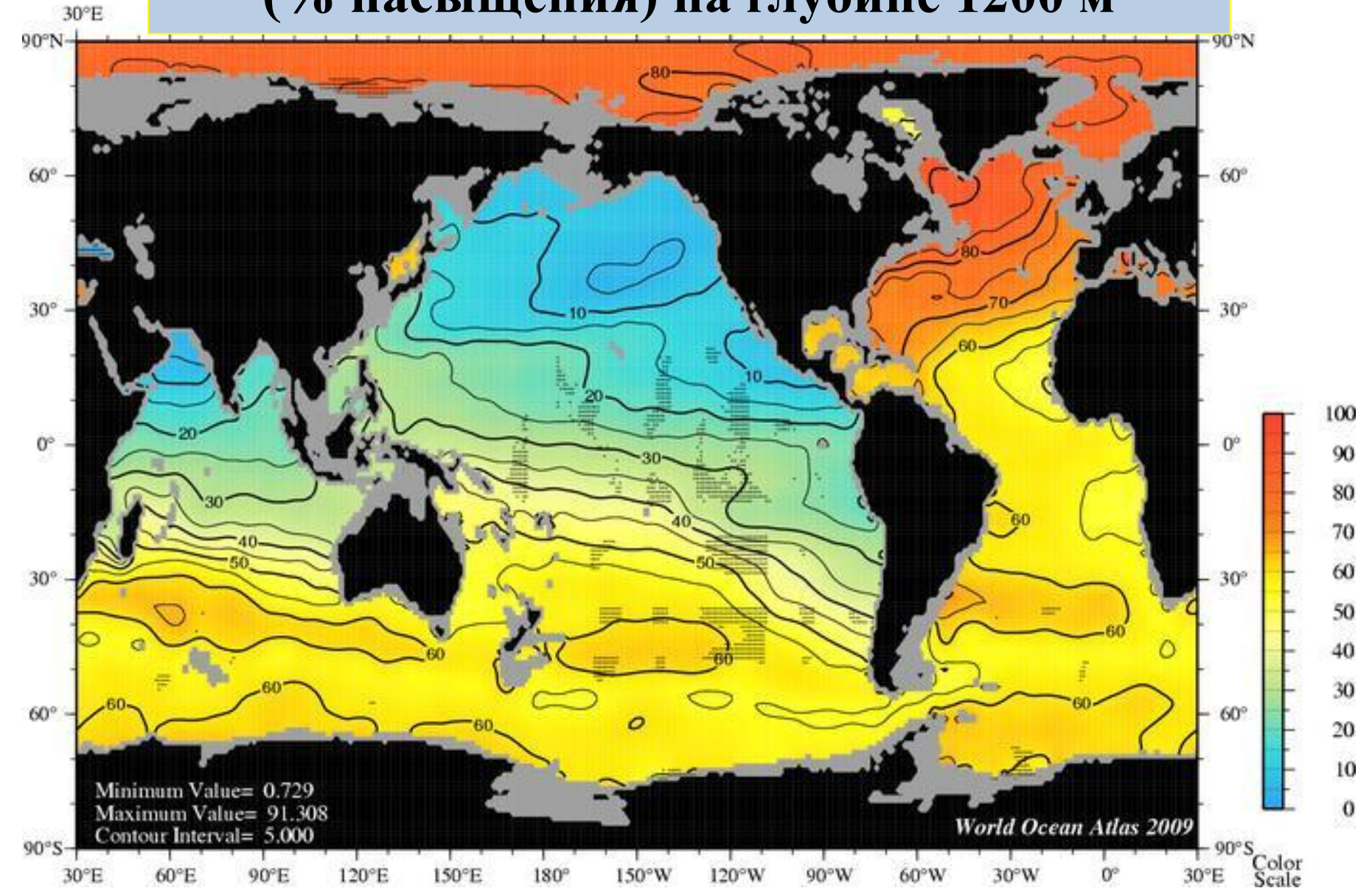




Циркуляция вод в поверхностных (1) и придонных (2) слоях океана, обусловленная различиями условной плотности на поверхности (3)

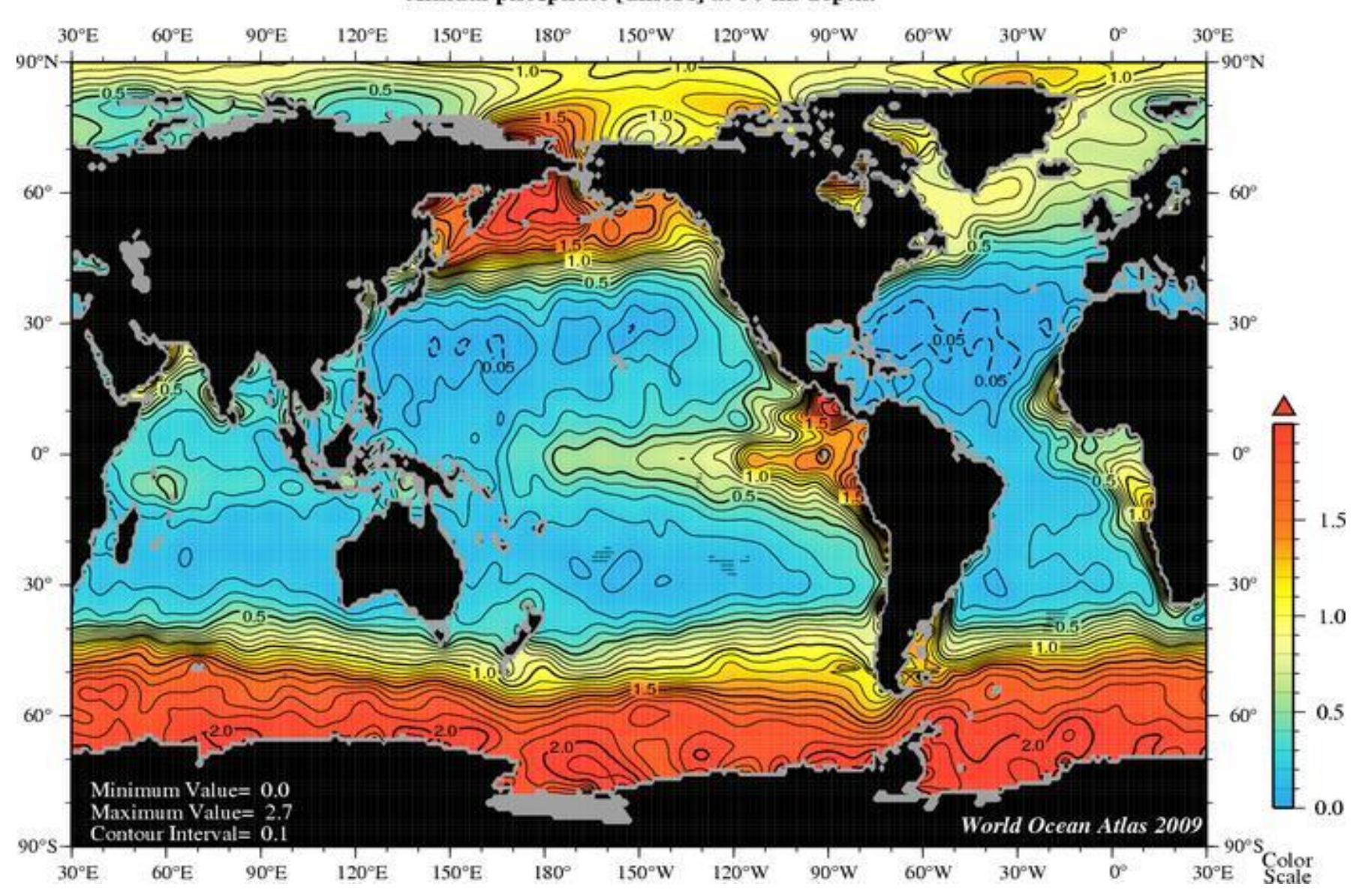


Распределение растворенного кислорода (% насыщения) на глубине 1200 м



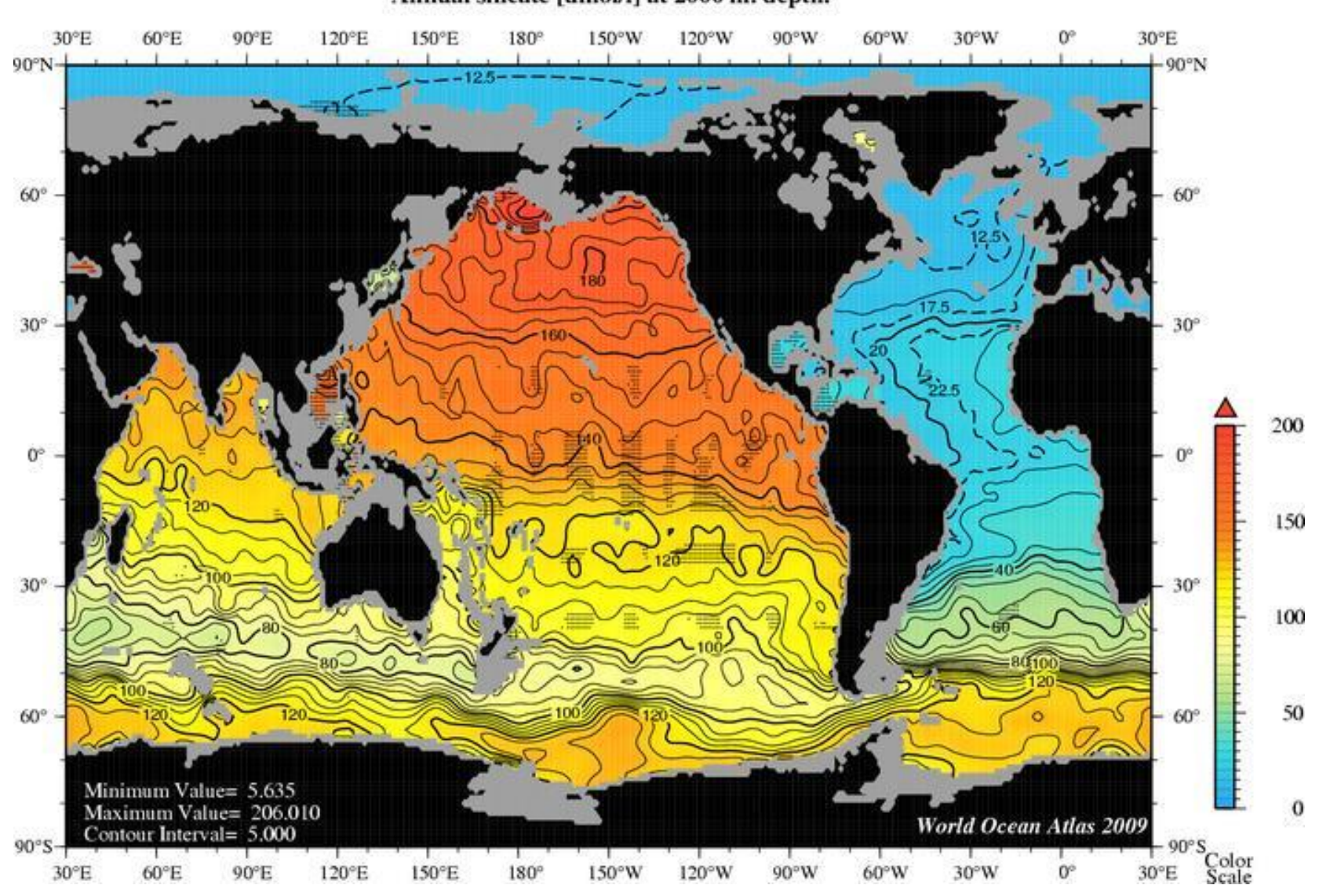
Распределение фосфатов (мкмоль/л) на 50 м

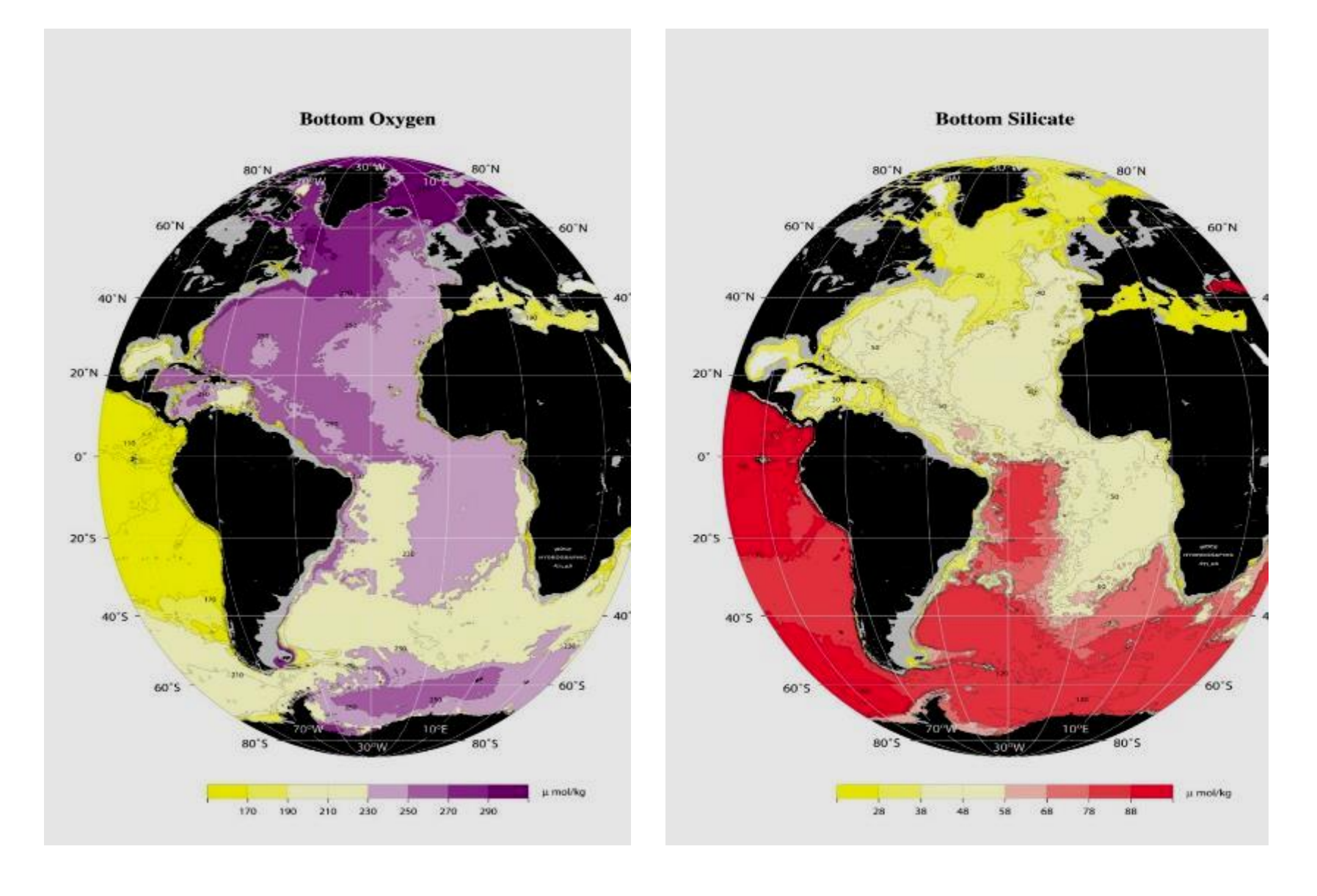




Распределение кремнекислоты (мкмоль/л) на глубине **2000** м







Придонные значения растворенного кислорода и силикатов

Сравнение средних по объему характеристик океанов

| Параметры | Северная Атлантика + Сев. Ледовитый | Сев. Часть Тихого | Различия |
|--------------------------|--|----------------------|----------------------|
| Температура,° | 4,95 | 3,69 | + 1,3° |
| Соленость, ‰ | 35,06 | 34,58 | + 0,5 ‰ |
| Кислород, мл/л | 5,3 | 2,5 | Больше в 2 раза |
| Кремний, микромоль/кг | 23 | 123 | Меньше в 5,5 раз |
| Фосфор, микромоль/кг | 1.2 | 2.6 | Меньше в в 2 раза |

Динамика океана

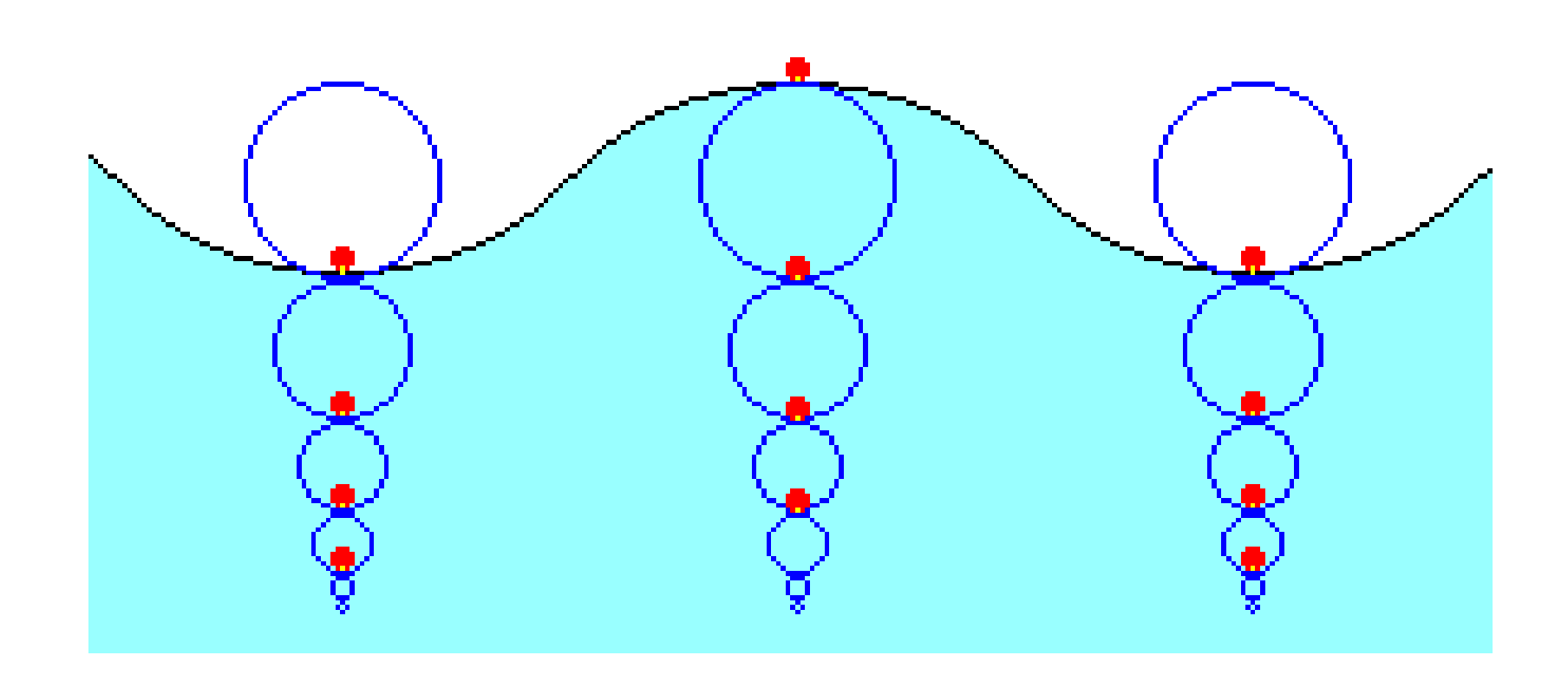
Волны в океане



Классификация волн по происхождению

- ветровые
- тектонические
- приливные
- барические
- сейшевые
- внутренние

Траектории частиц в волне

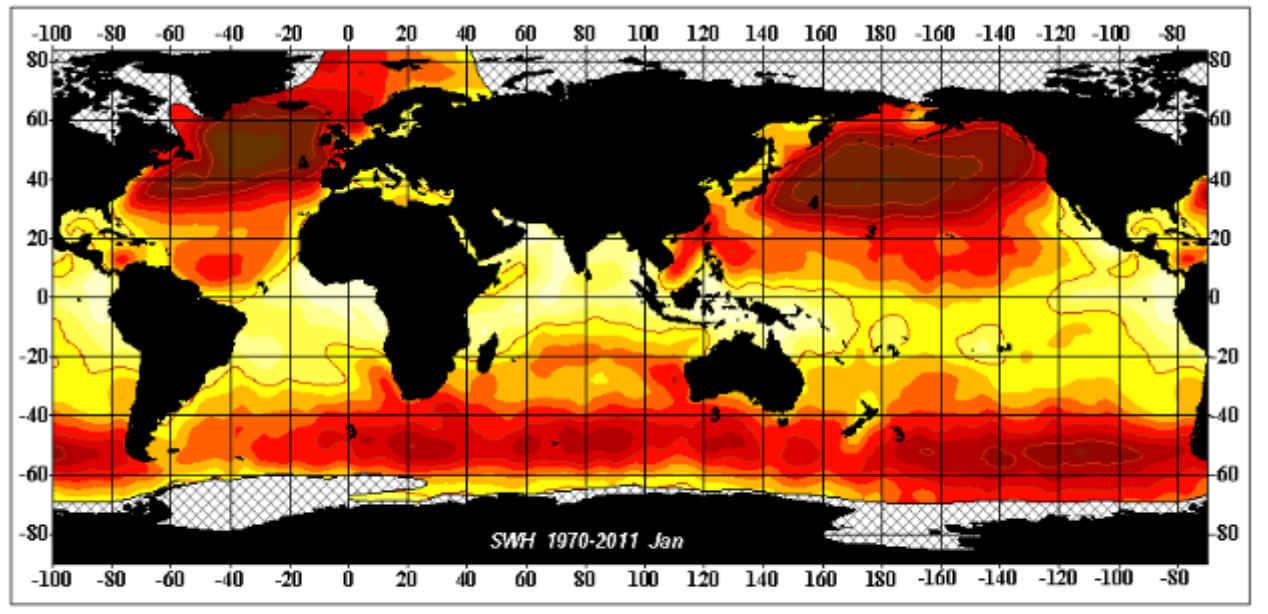


Классификация волн по их длине

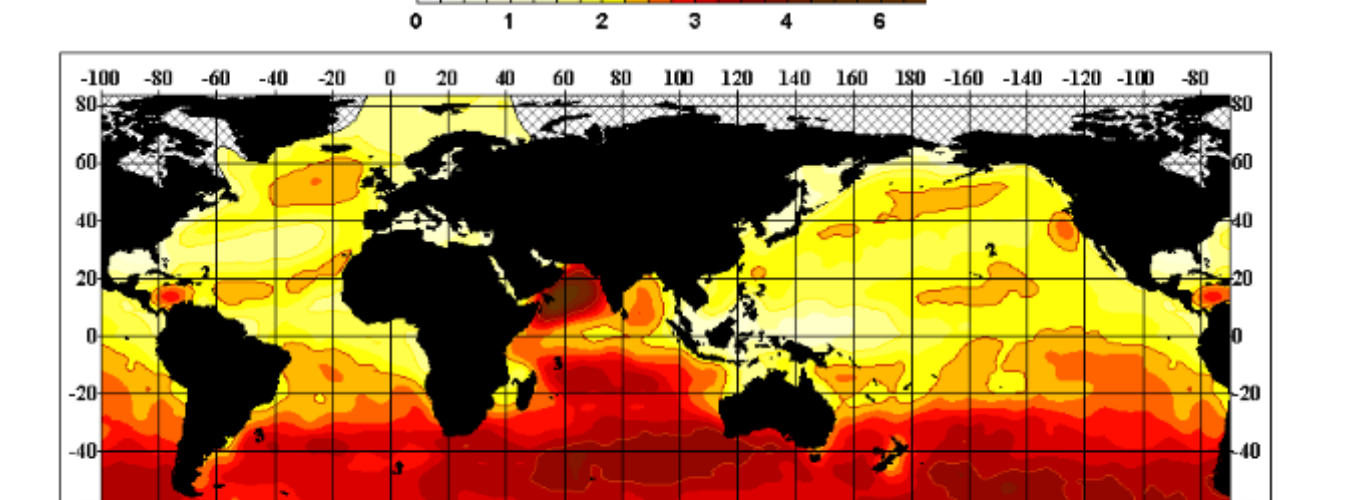
• длинные ($\lambda/h > 2$,) — приливные, сейсмические, их скорость $c = \sqrt{gh}$ где g — ускорение свободного падения, h — глубина места

• короткие (λ/h < 2) - ветровые, их длина и высота зависят от скорости и продолжительности действия ветра, длины пути разгона

Средняя высота ветровых волн (м)



Январь

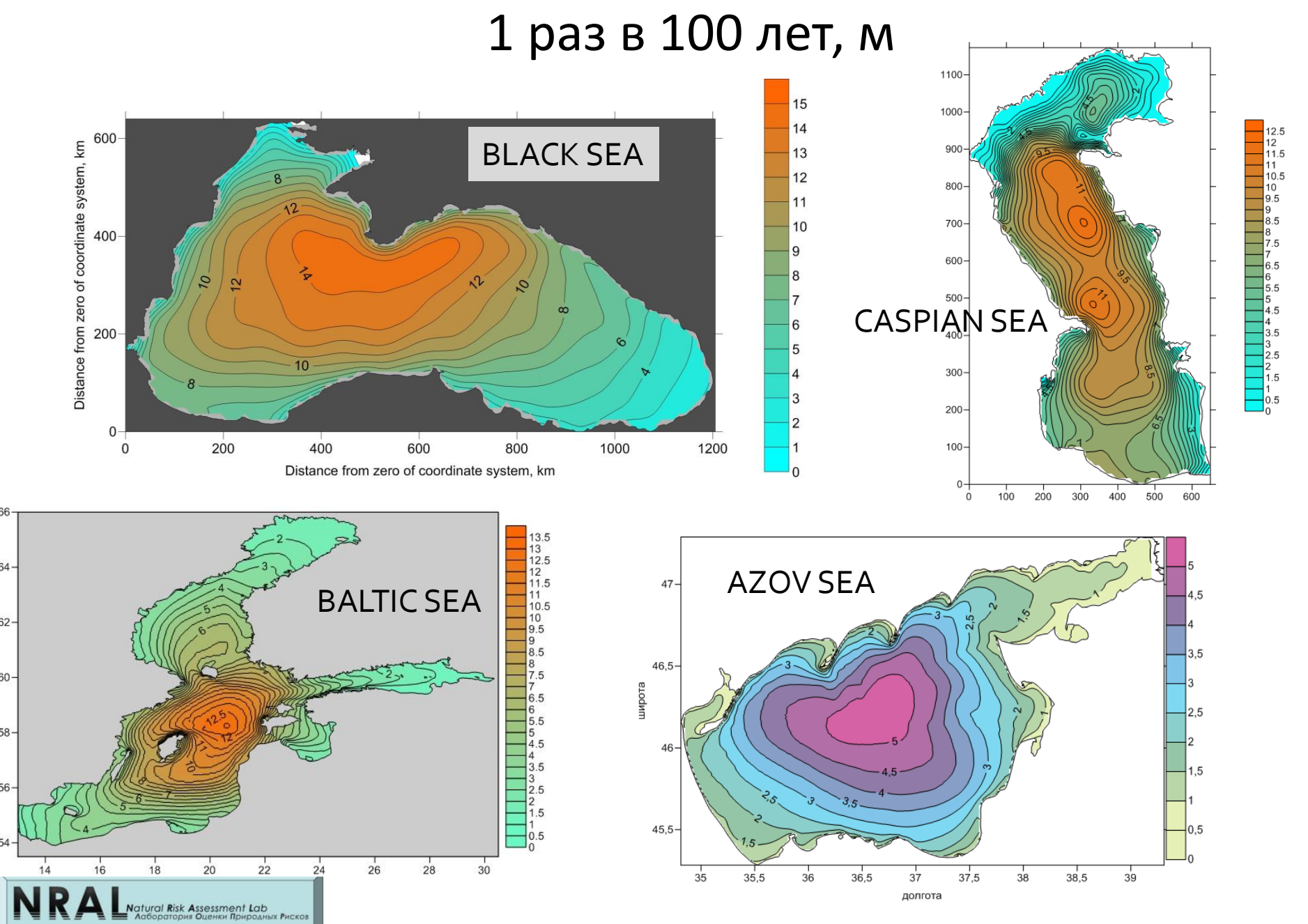


100 120 140 160 180 -160 -140 -120 -100 -80

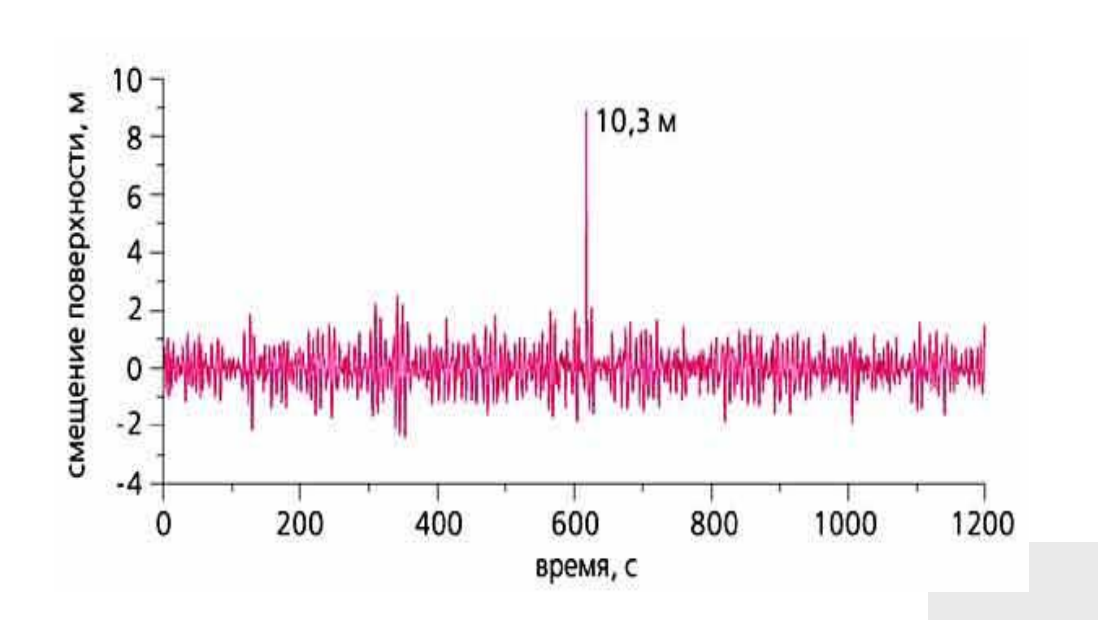
swh 1970-2011 Jul

Июль

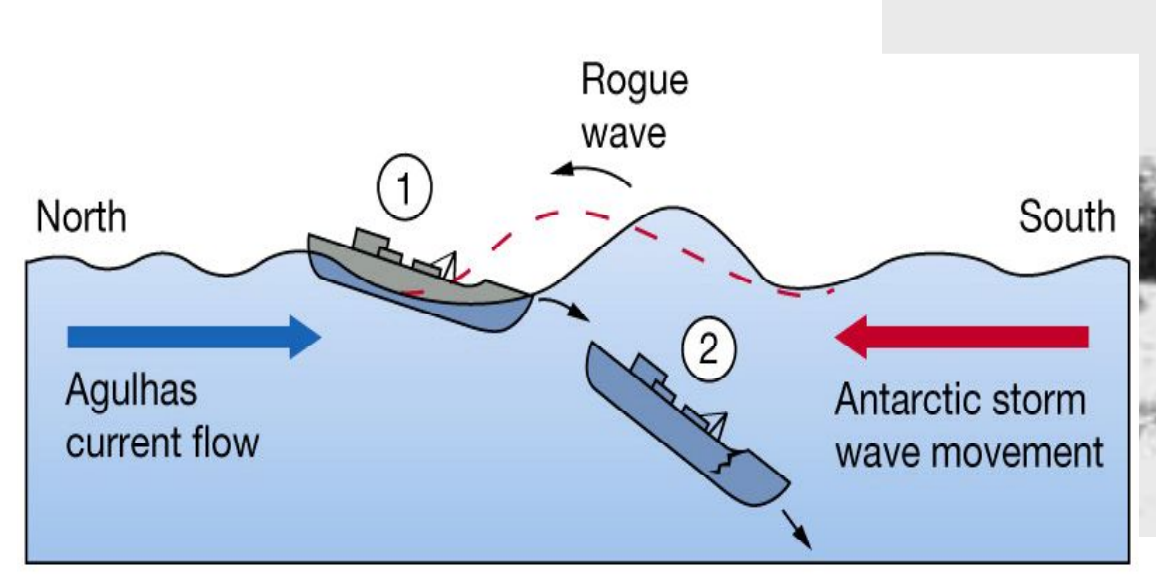
Максимально возможные высоты волн:



Волны-убийцы

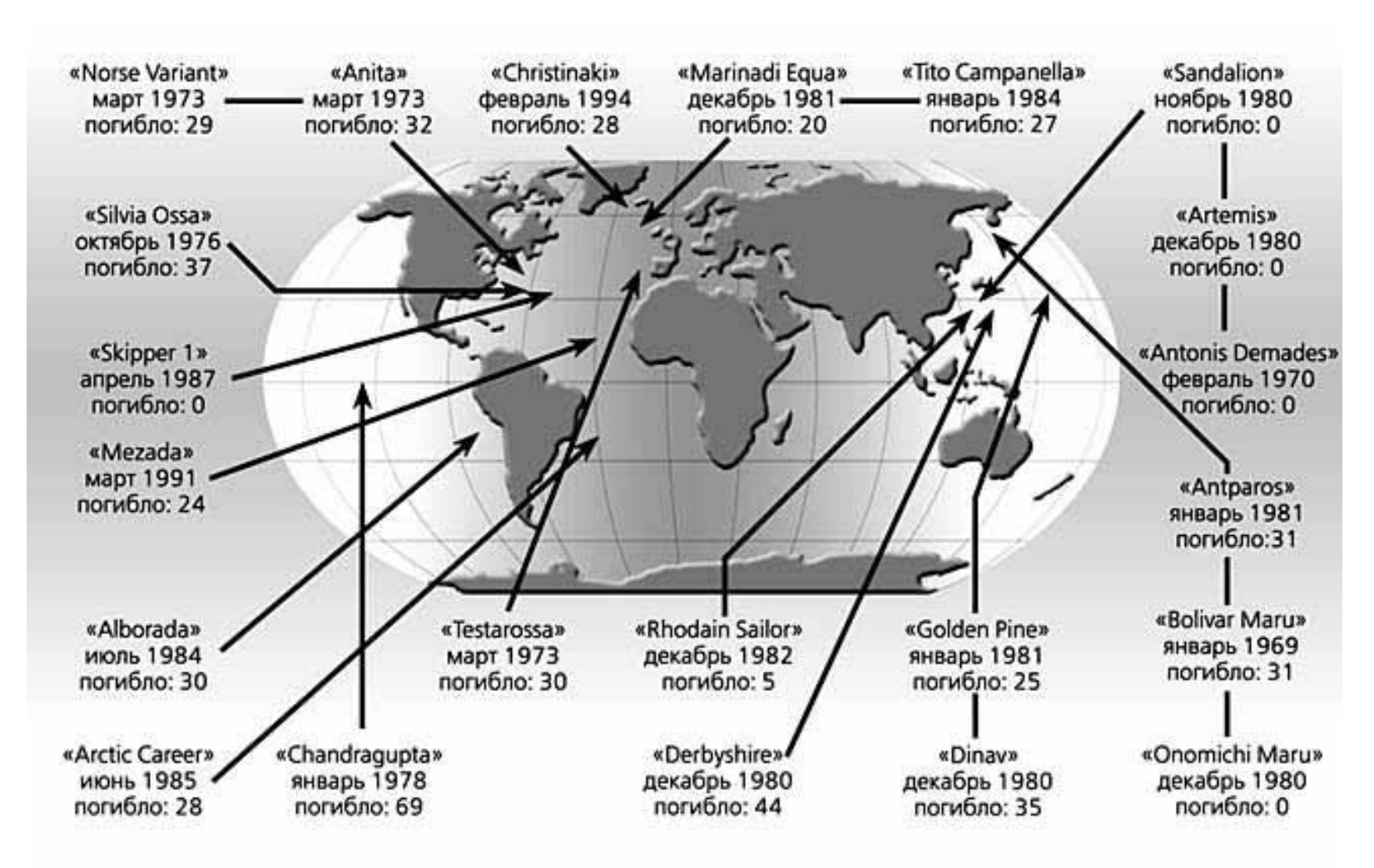


- Блуждающая волна
- Волна-монстр
- Волна-разбойник
 - Волна-фрик
- Волна-злодейка

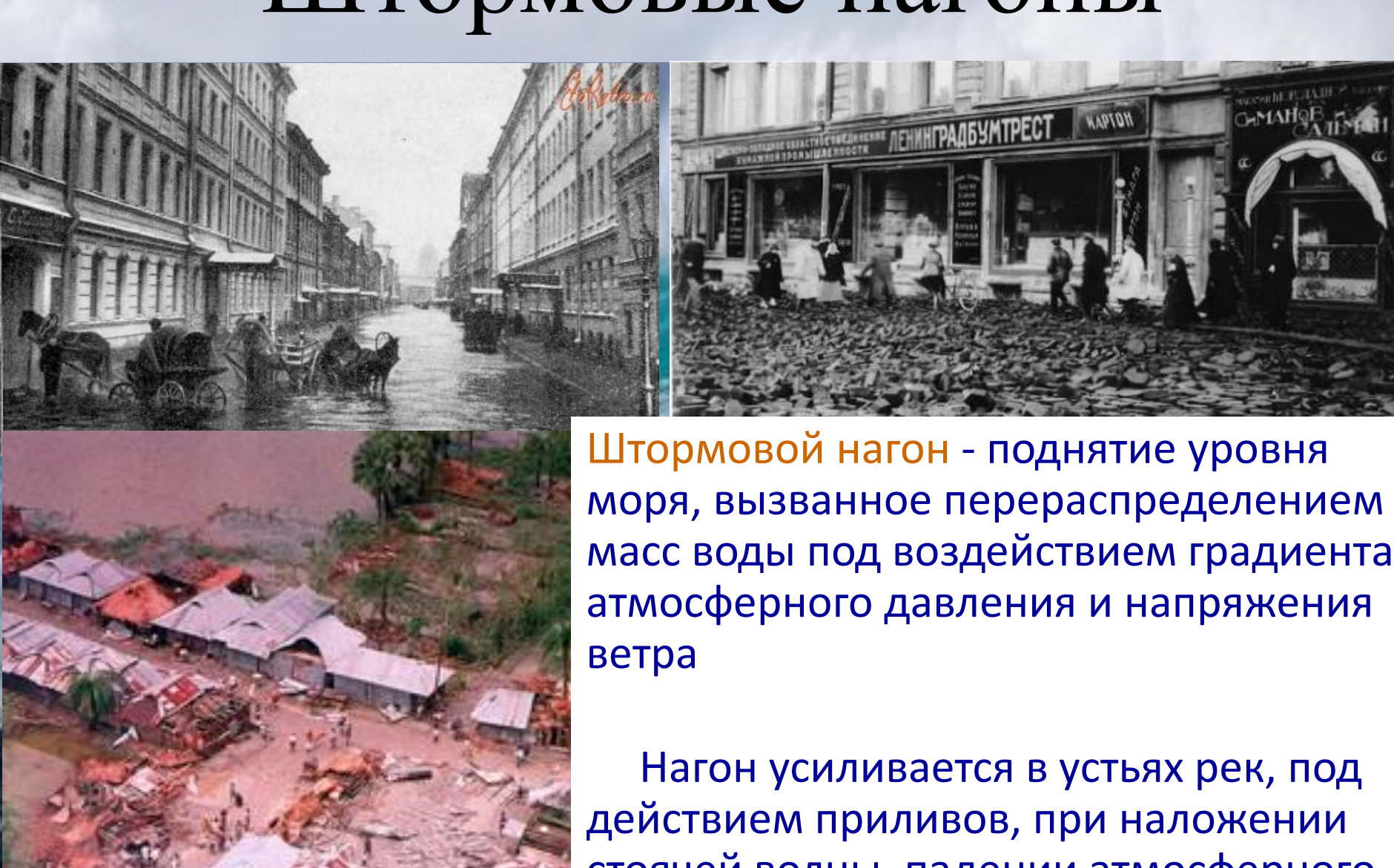




Волны-убийцы в Мировом океане



Штормовые нагоны



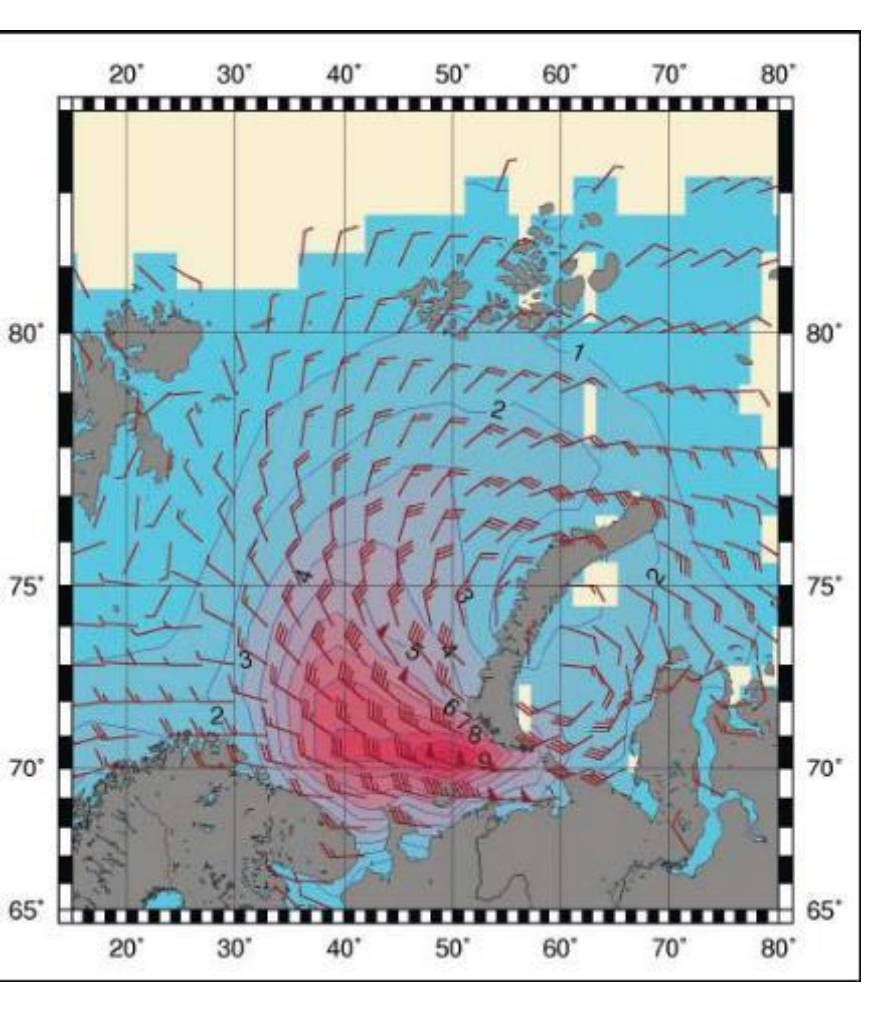
Нагон усиливается в устьях рек, под действием приливов, при наложении стоячей волны, падении атмосферного давления

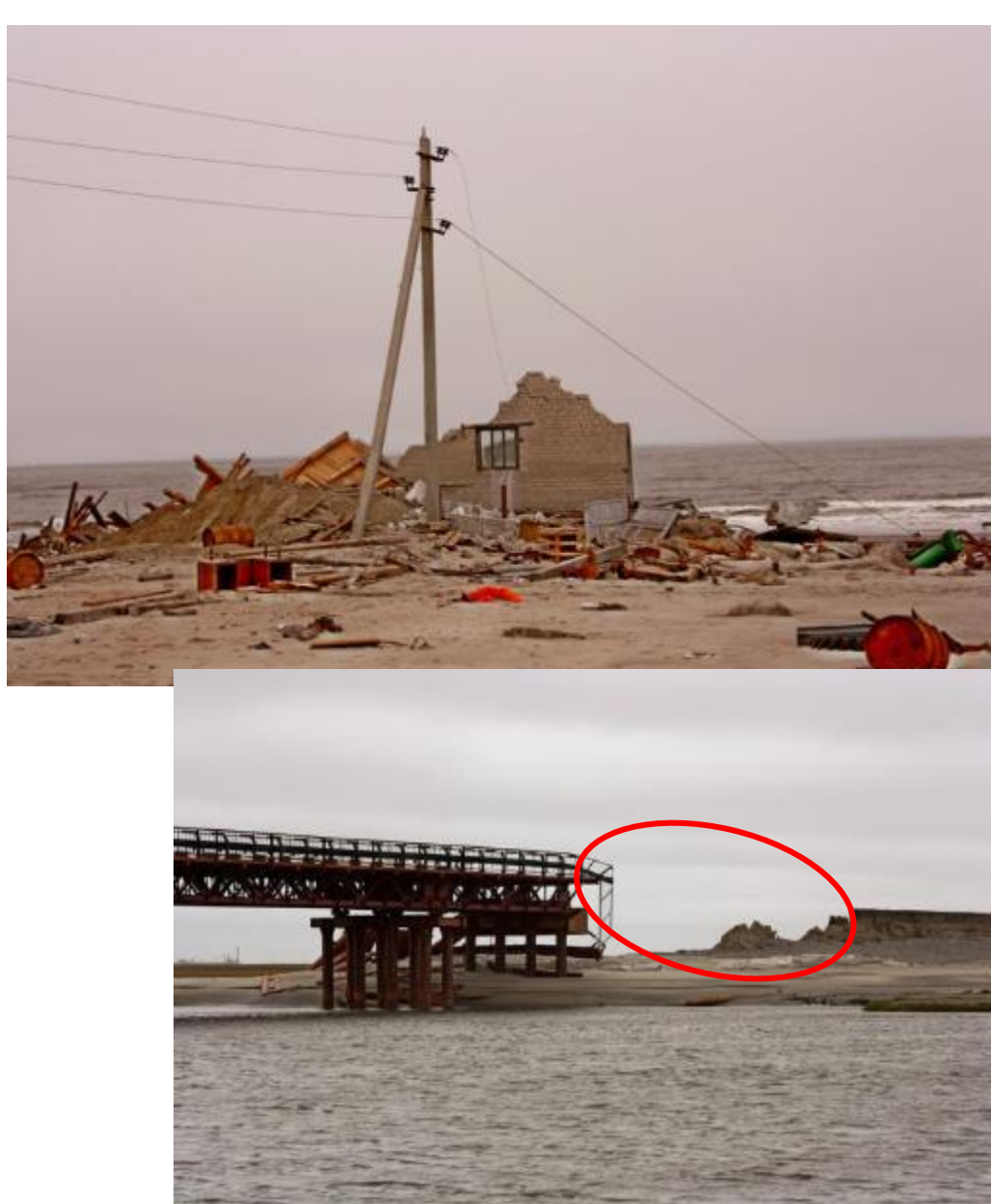


Нагон в Венеции Ноябрь 2019 г.



Нагон 24.07.2010 в Печорском море



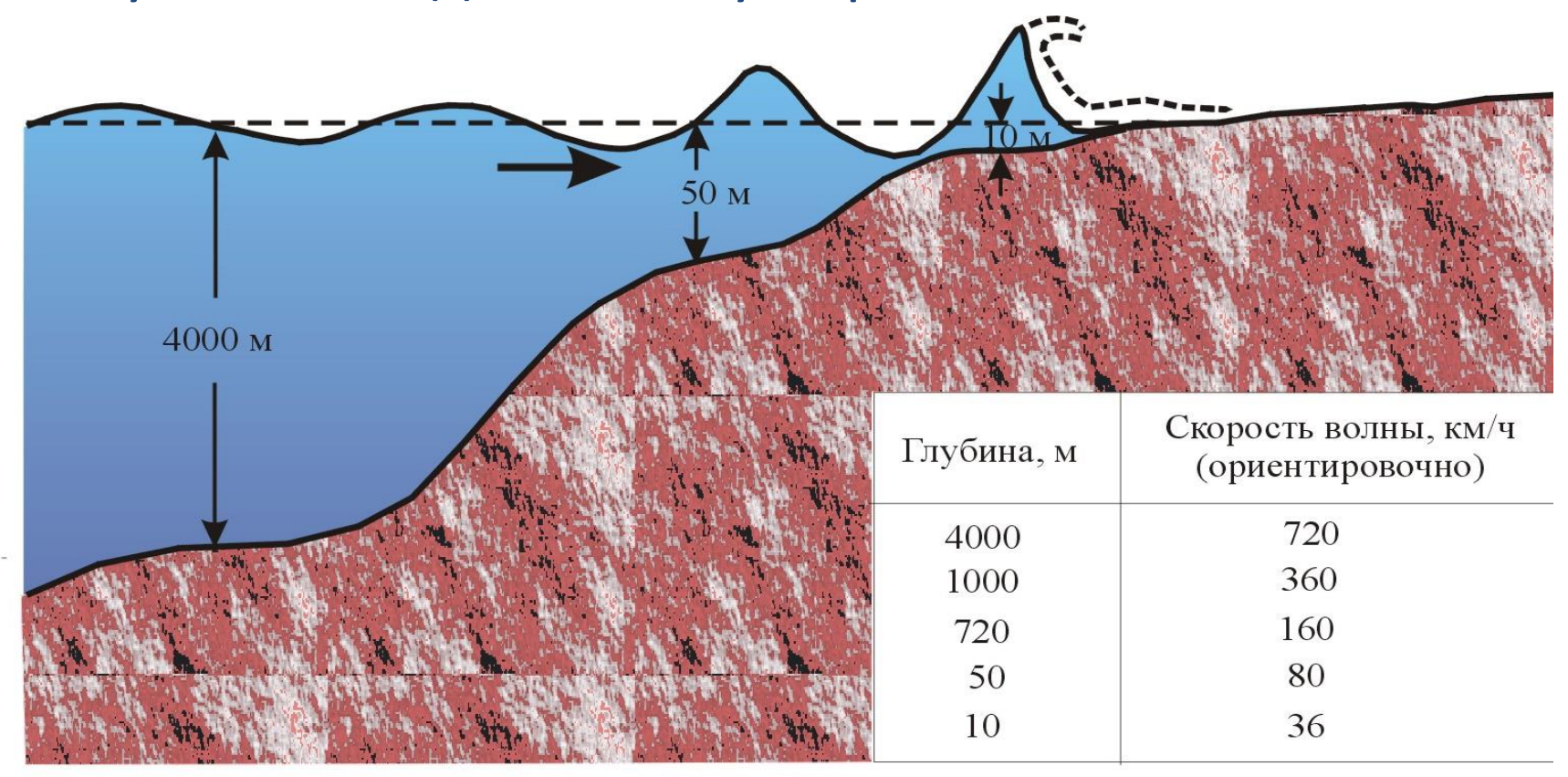


Цунами в Мировом океане



Сейсмические цунами

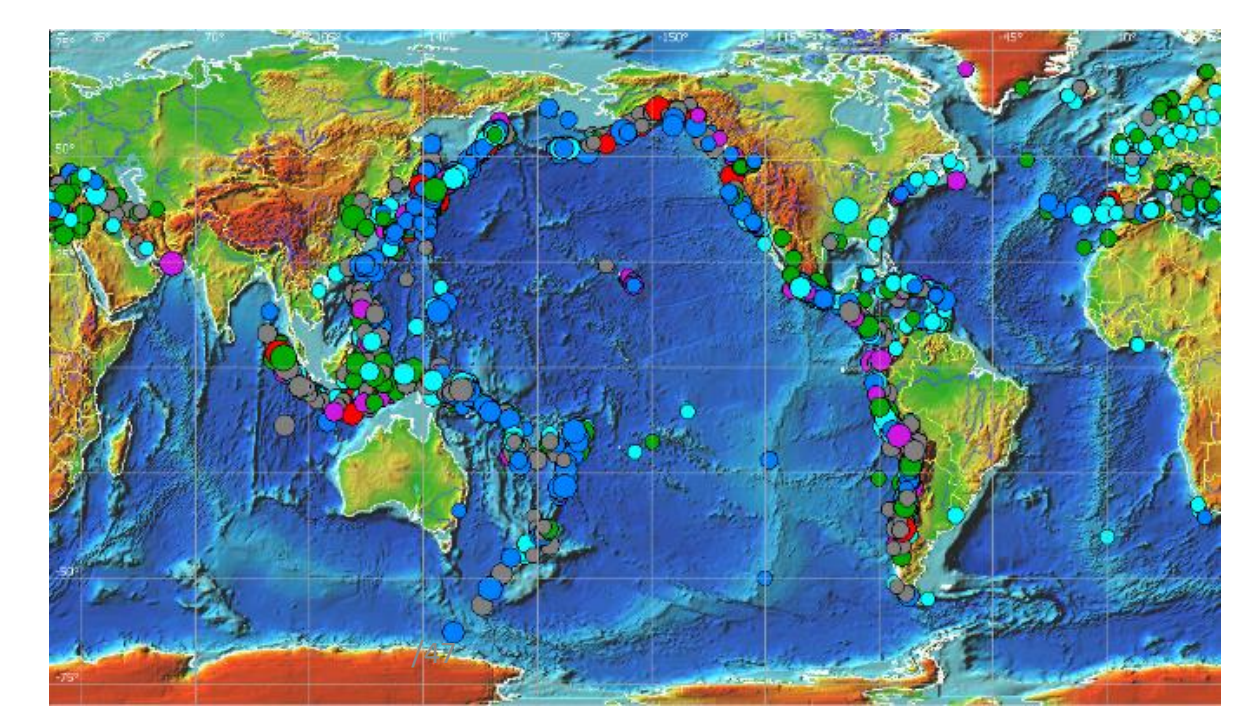
- высота 0,1- 35 м, длина 20 600 км
- период 0,03 3,3 ч
- в месте зарождения h_в < 2 м
- максимума волна достигает у берега



Цунами в Мировом океане

| Число жертв | Места возникновения | Год |
|----------------|--|------|
| 230 000 | Индийский океан (Индонезия, Индия, Шри-Ланка, Таиланд, Сомали, и др.) | 2004 |
| 100 000 | Лиссабонское землетрясение: Португалия и Марокко | 1755 |
| 100 000 | Ава, Япония | 1703 |
| 70 000 | Мессинский пролив, Италия | 1908 |

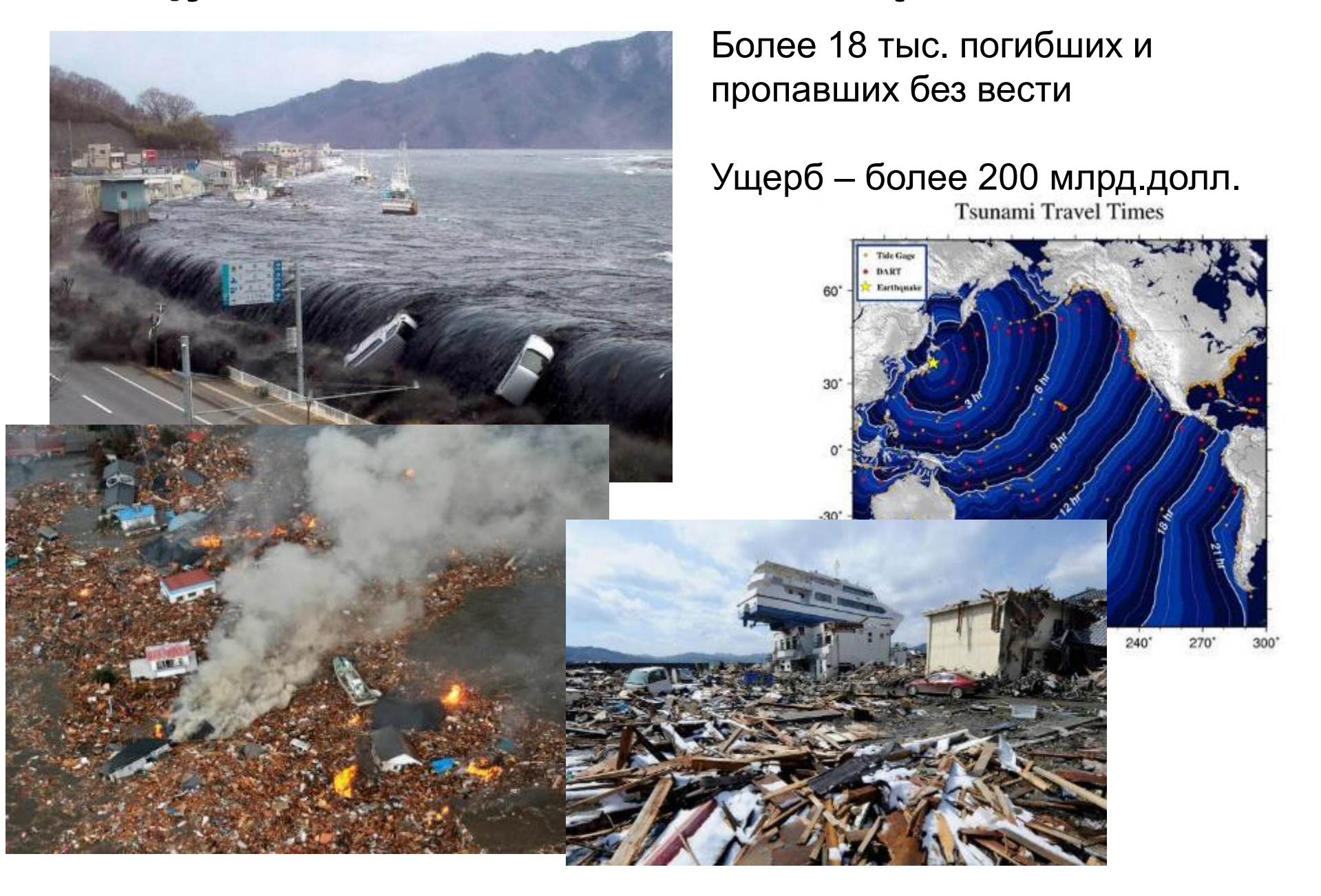
Источники цунами



Цунами 26 декабря 2004 г. в Индийском океане



Цунами в Японии 11 марта 2011 г.



Приливы в океанах и морях

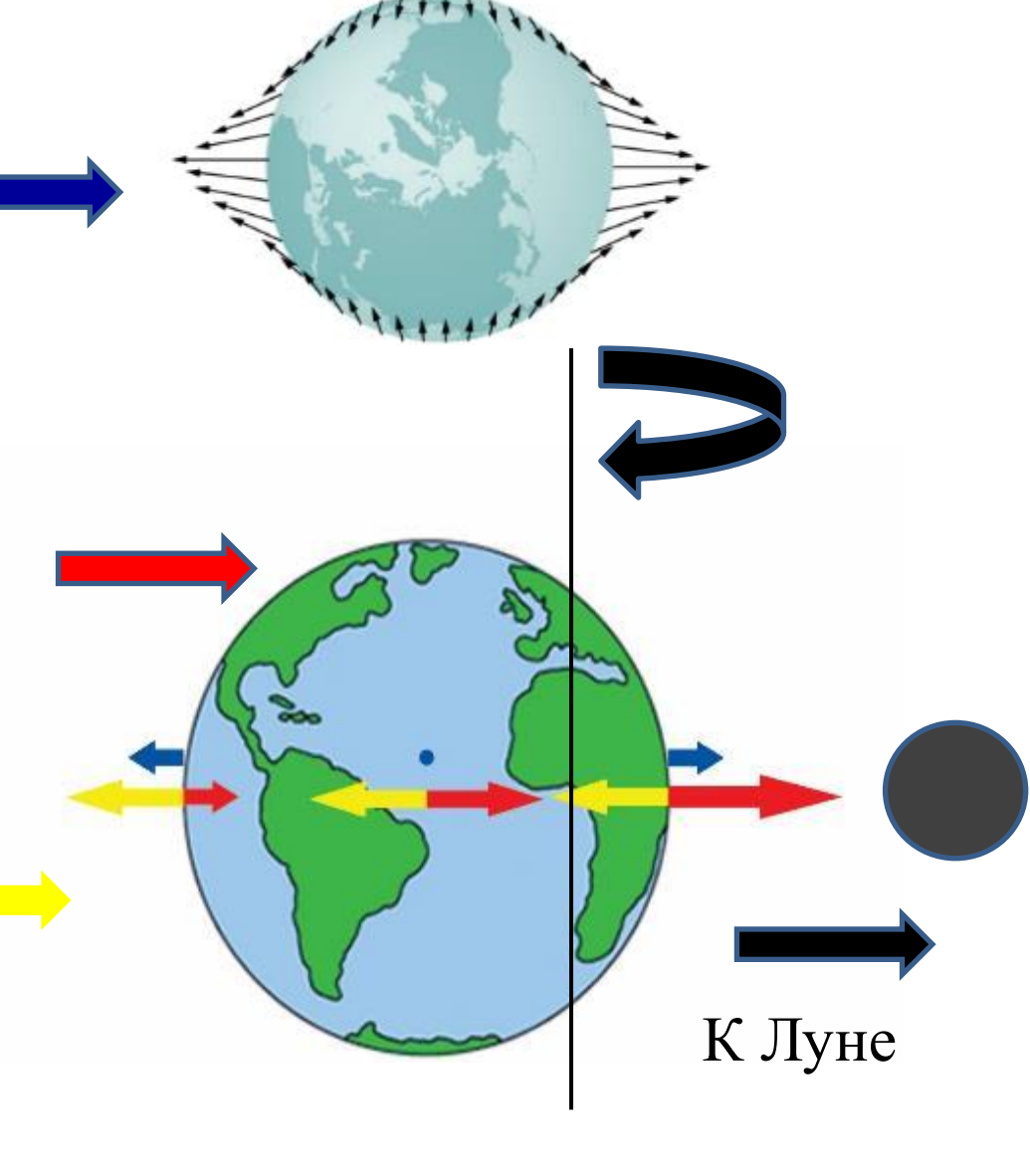
Прилив — периодические колебания уровня воды у берегов (волны), обусловленные взаимодействием в системе Земля-Луна-Солнце

• Приливный уровень определяется равнодействующей двух сил:

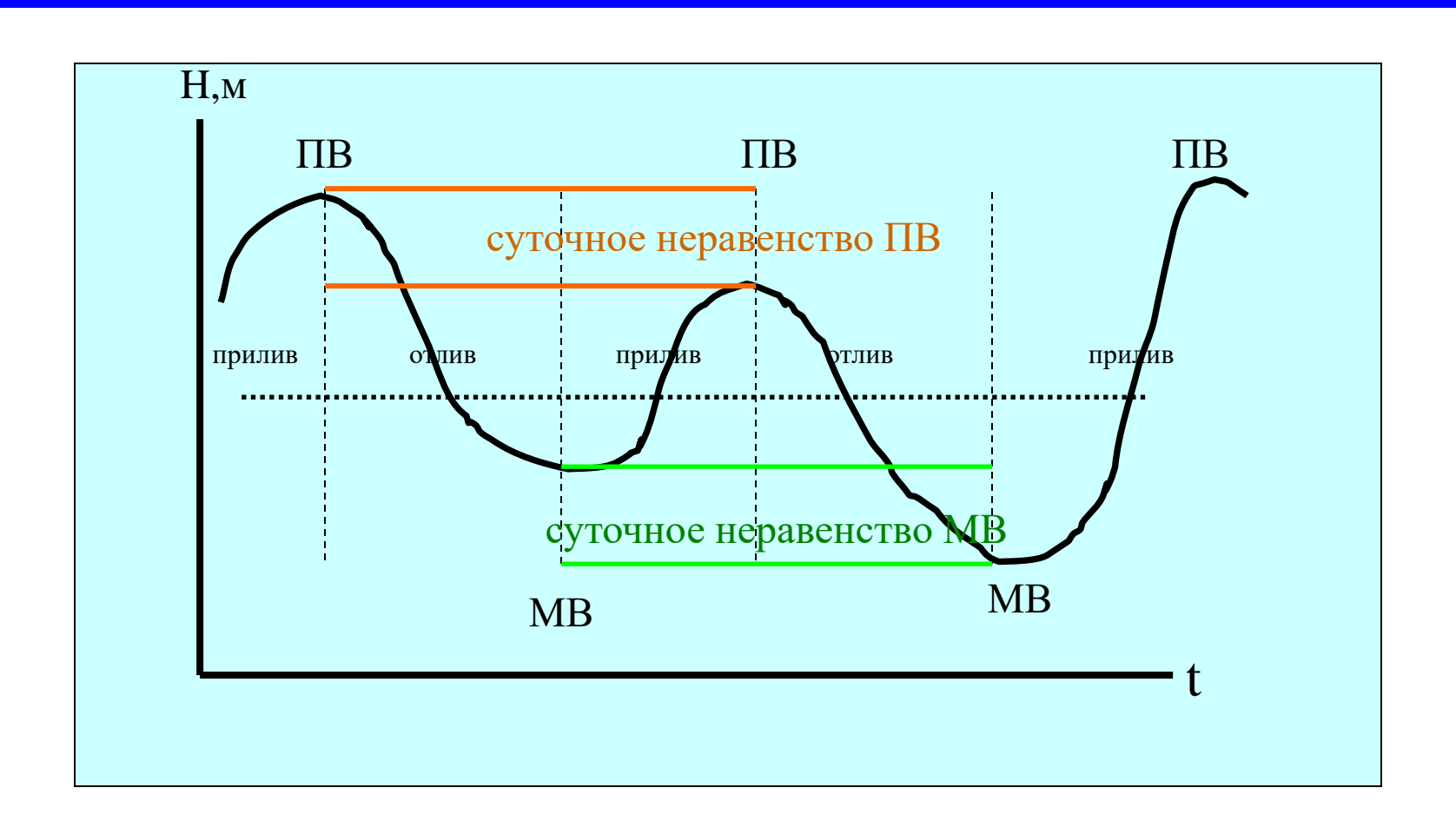
- Силой притяжения к Луне

- Центробежной силой вращения системы Земля Луна вокруг общего цент масс (он находится

 внутри Земли на расстоянии 0,73 ее радиу от центра Земли ближе к Луне)



Реальная схема суточных колебаний уровня воды у берега в период прилива

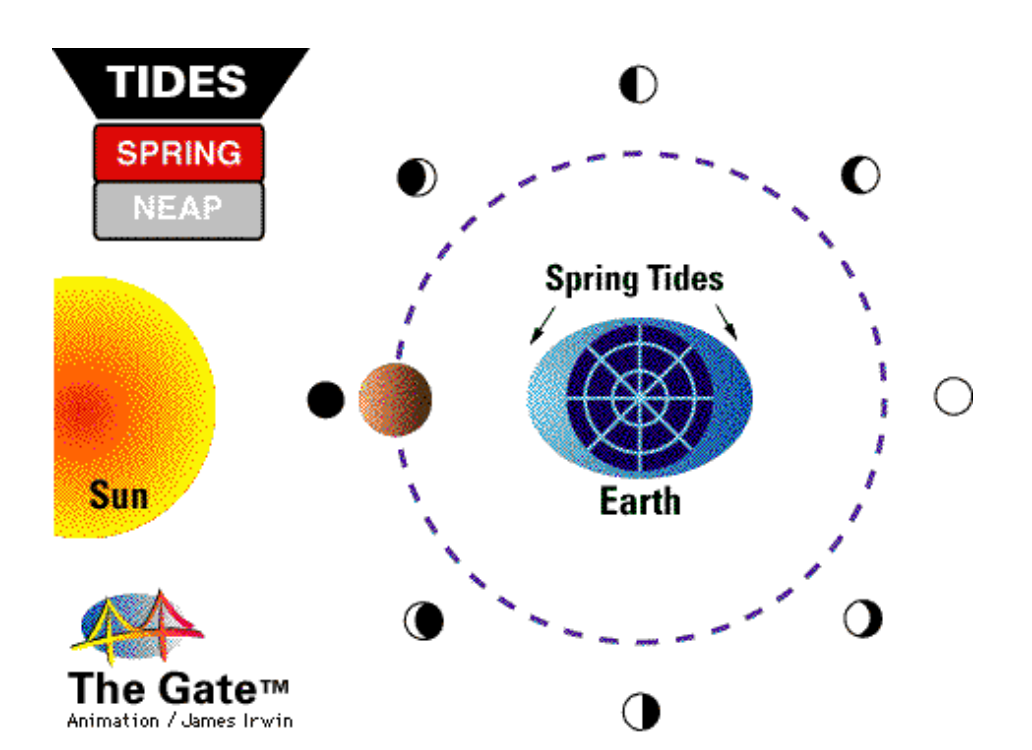


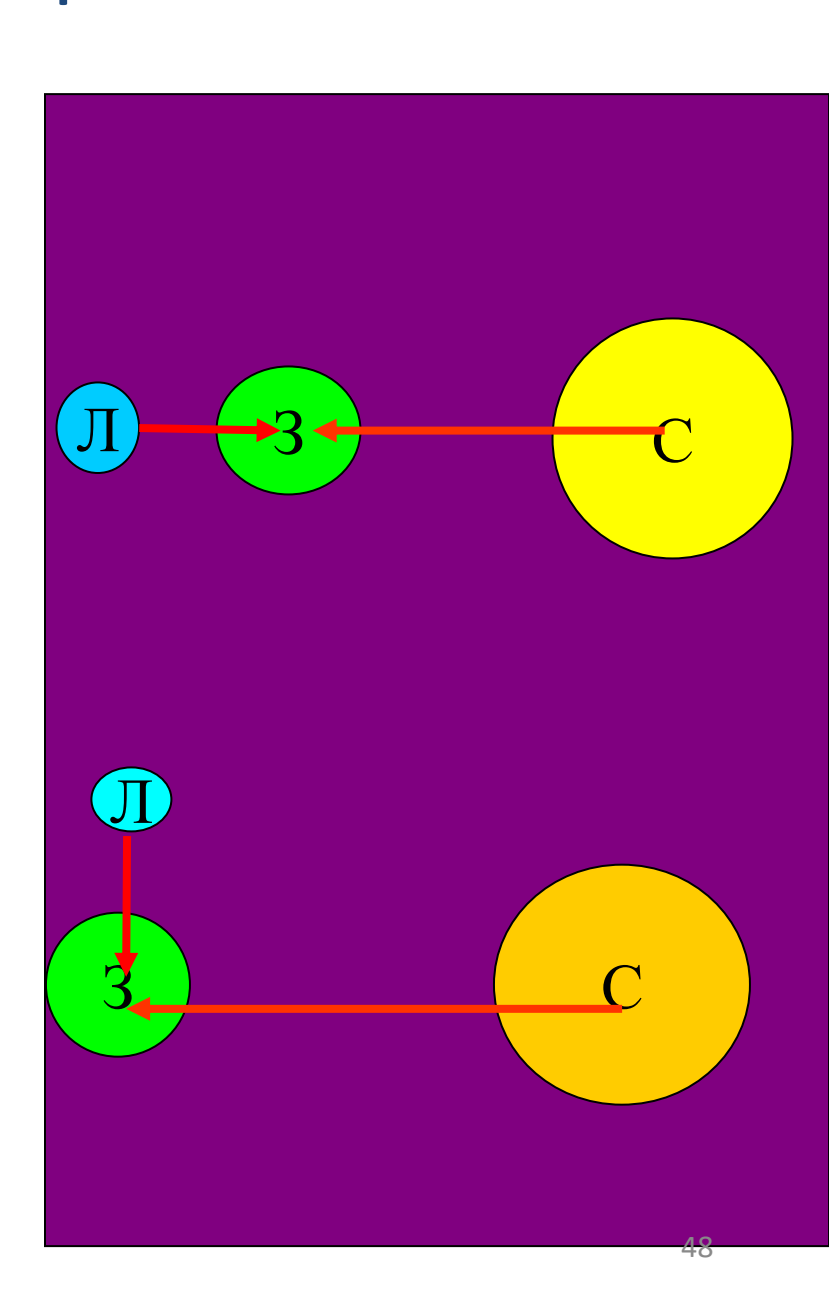
Причины неравенства уровней воды в период Полной и Малой воды

- суточное изменение наклоном земной оси к плоскости эклиптики
- полумесячное изменение вращение Луны и влияние Солнца
- ежемесячные изменения вращение Луны вокруг Земли по эллипсоидной орбите

Типы смешанных приливов

- <u>сизигия</u> увеличение отклонений уровня вследствие сложения приливообразующих сил (в новолуние и полнолуние)
- квадратура уменьшение отклонений уровня вследствие вычитания этих сил





Типизация приливов по характеру изменения

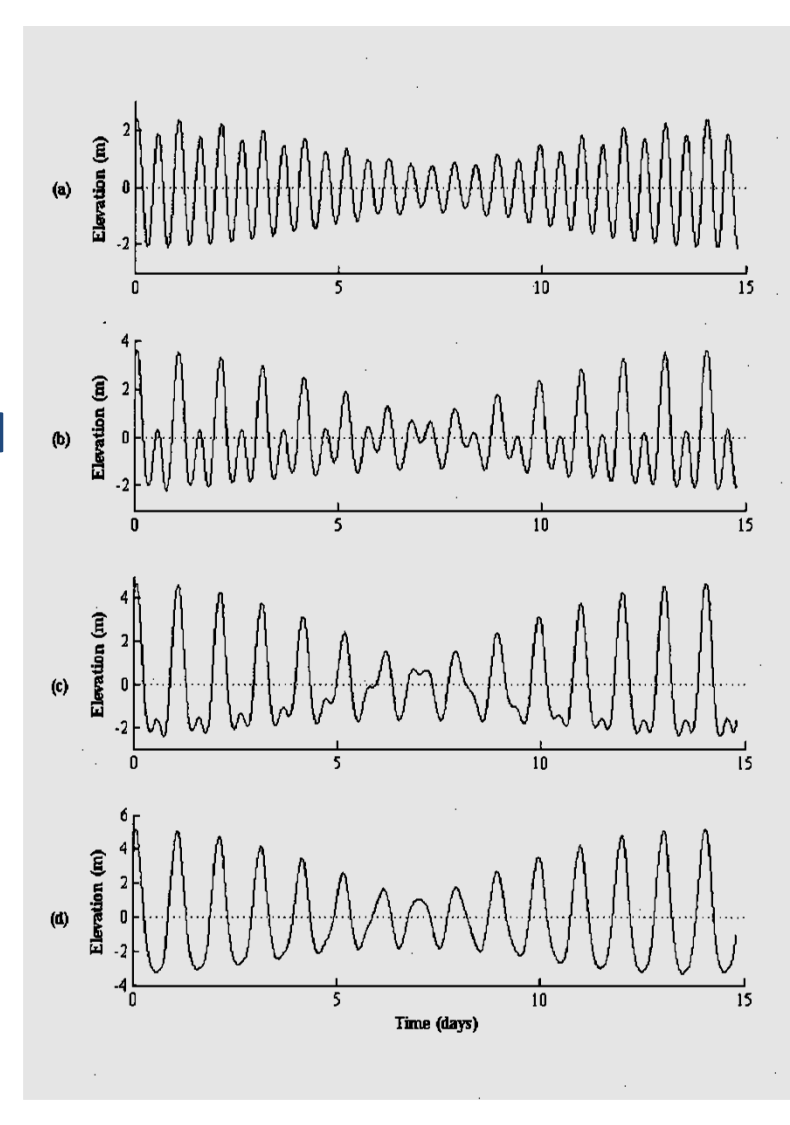
уровня

- правильный полусуточный
- смешанный:

неправильный полусуточный

неправильный суточный

• правильный суточный



Величина прилива в различных природных условиях

| Величина прилива, м | Регион |
|------------------------|--|
| 18 | Северная Америка, залив Фанди |
| 10-12 | Патагония, Баффинова Земля, залив Аляска, Камбейский залив Индийского океана |
| 13 | Пенжинская губа Охотского моря |
| 10 | Мезенский залив Белого моря |

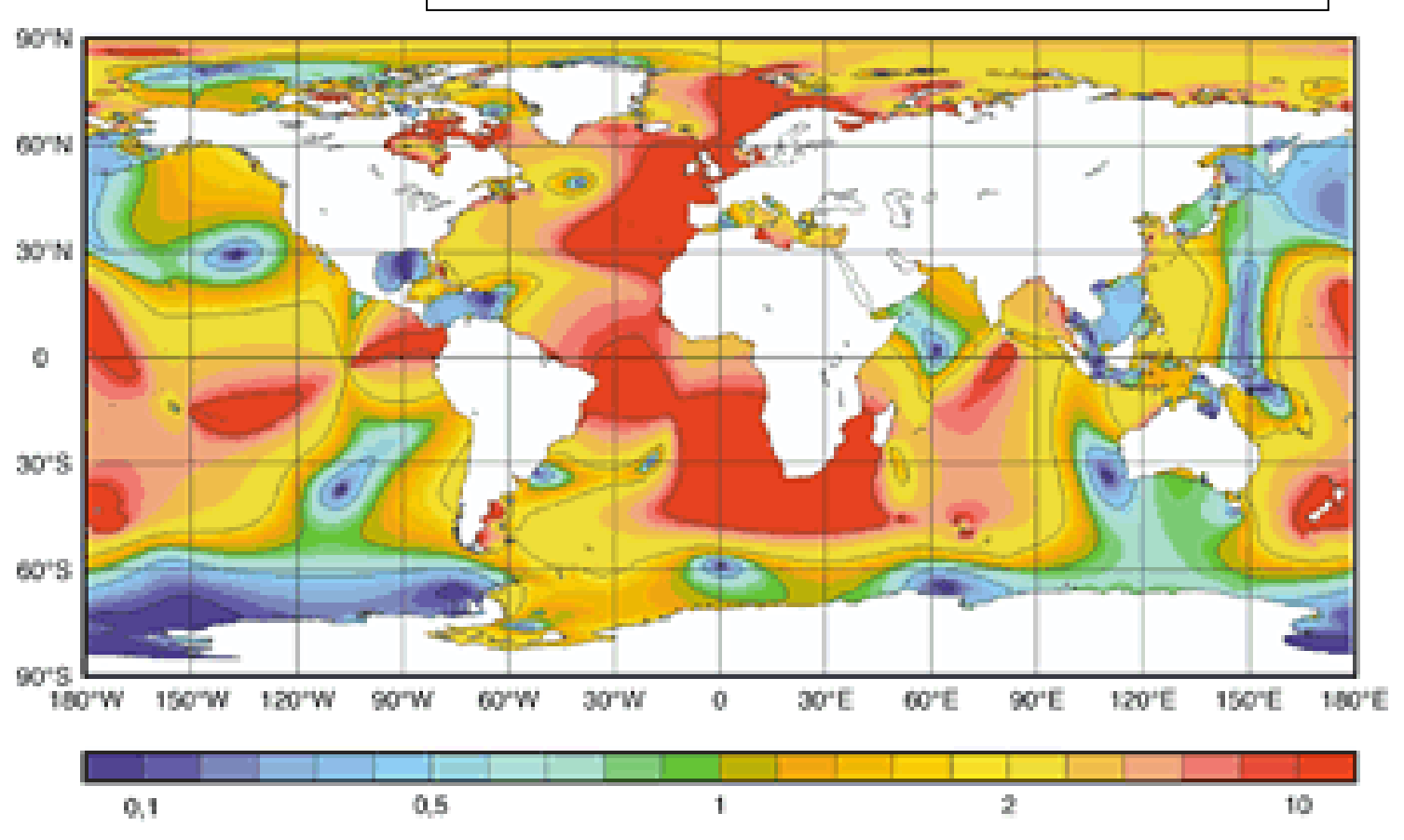




залив Фанди

Характер приливов

Синий — правильный суточный Зеленый — неправильный суточный Желтый — неправильный полусуточный Красный — правильный полусуточный



Морские течения

Морское течение – продолжительное перемещение больших объемов воды в горизонтальном направлении под действием различных вынуждающих сил

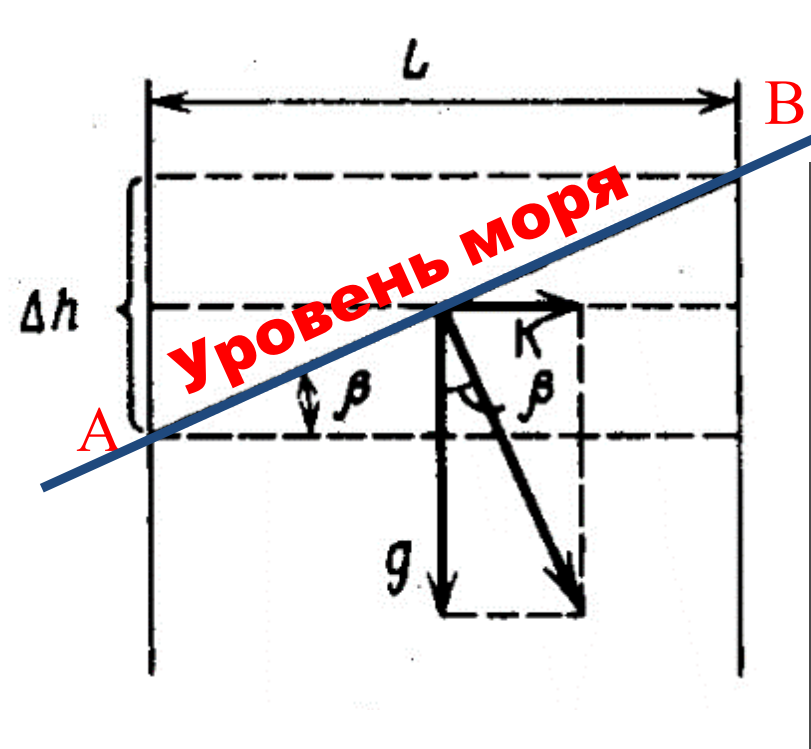
Силы, влияющие на возникновение течений:

- сила трения на границе раздела воздух-вода и вода-дно
- сила тяжести
- сила давления
- сила Кориолиса

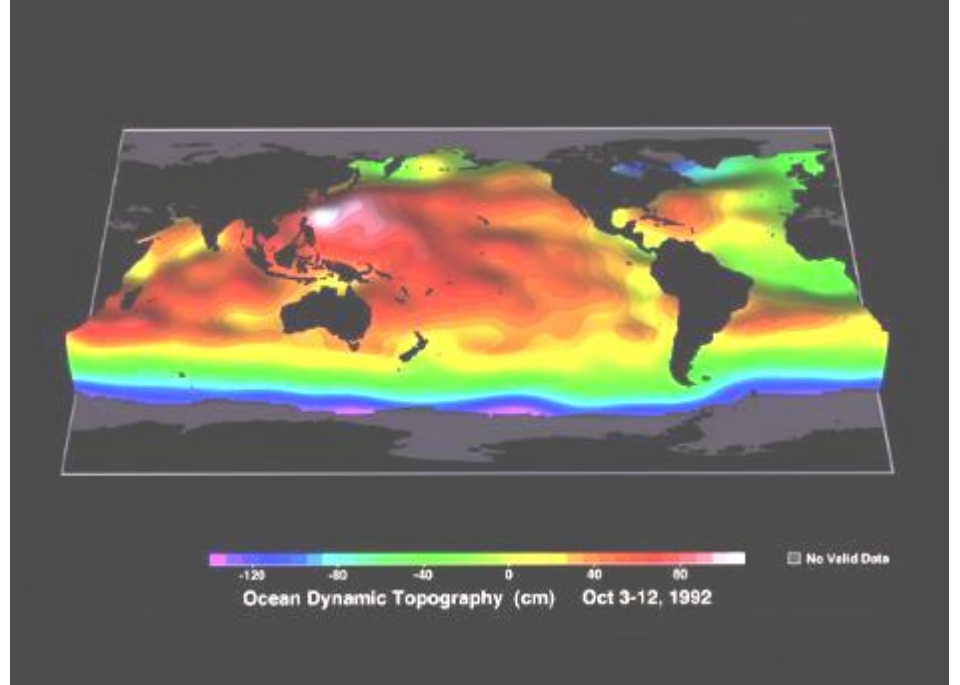
Большая часть постоянных течений в океане — за счет градиентов плотности воды, они формируют различия в давлении столба воды

Геострофические течения — течения при наличии силы Кориолиса

Сечение потока в Северном полушарии, который идет "в чертеж"

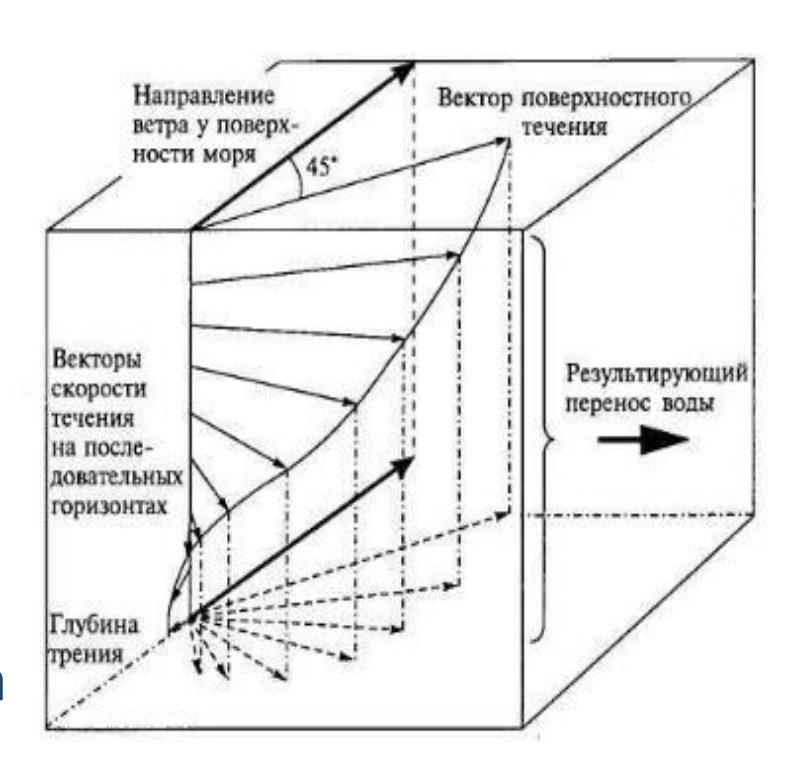


 возникают при наличии градиентов давления (за счет разной плотности или нагонов ветровых течений) при участии силы Кориолиса

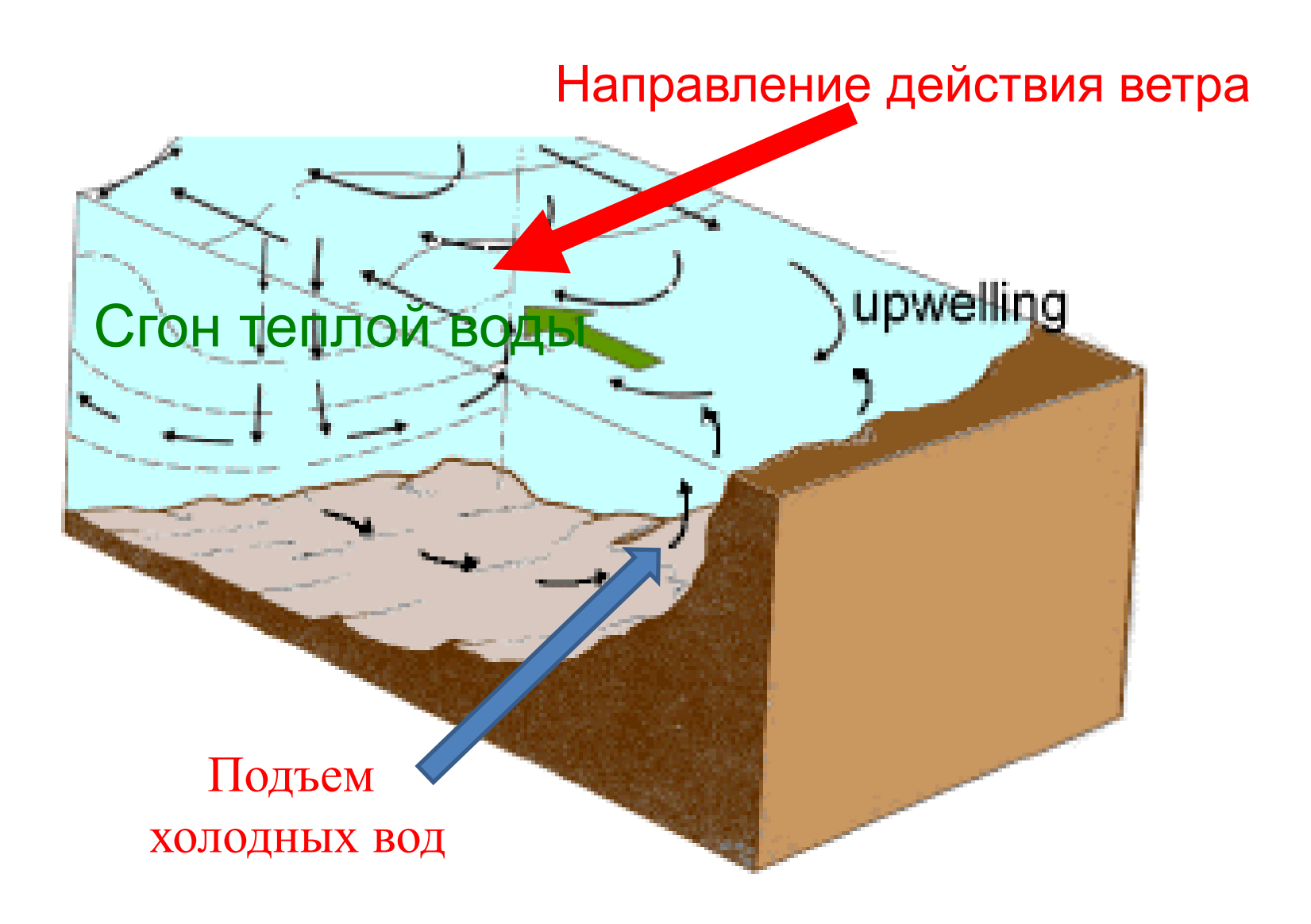


Дрейфовые течения

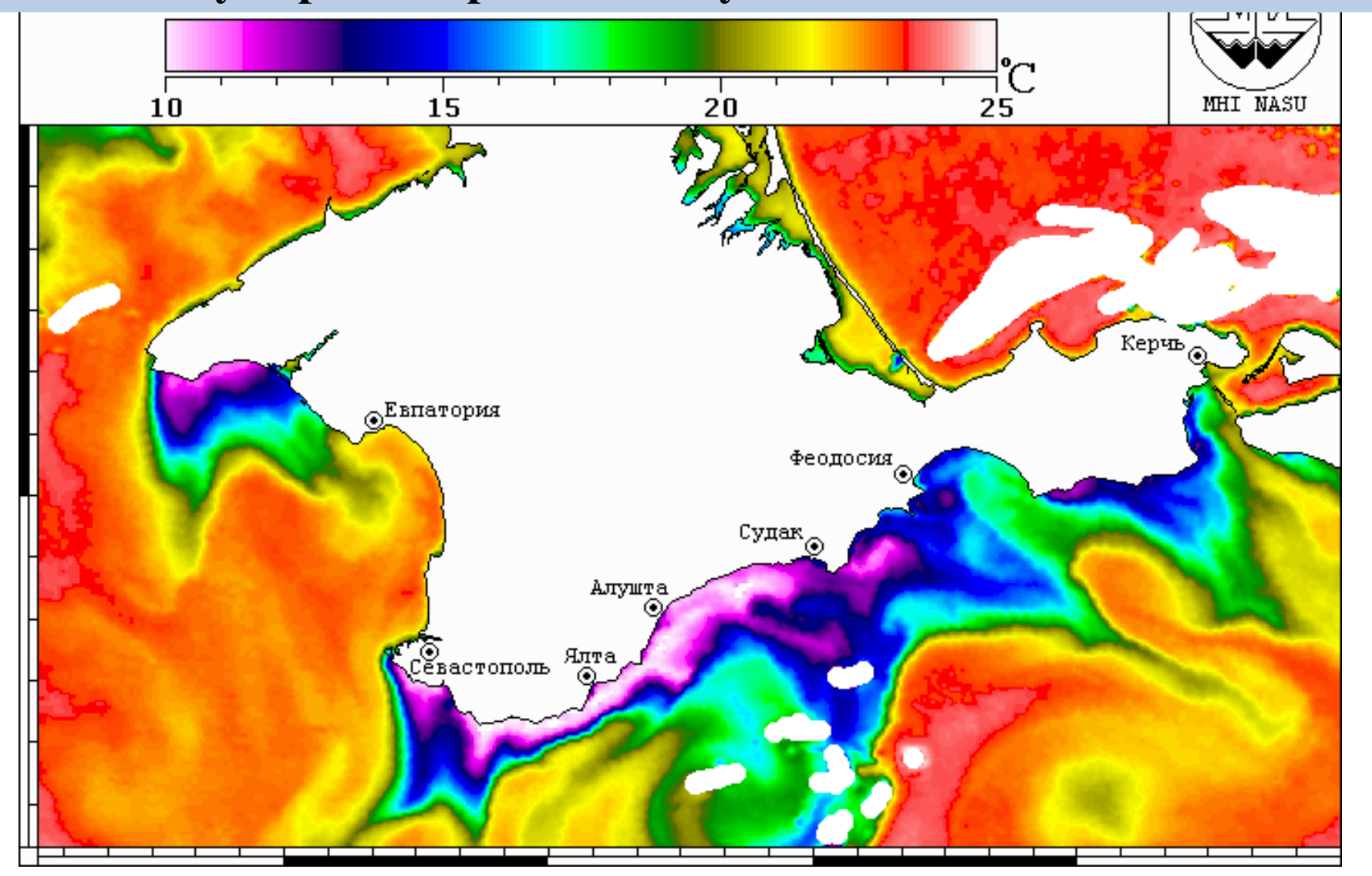
- направление ветра W и направление поверхностной скорости течения морской воды V образуют угол 45⁰
- изменение скорости ветрового течения по глубине моря V = f(h) описывается уравнением спирали Экмана
- На некоторой глубине скорость течения противоположна поверхностной скорости, ее величина равна 0,04V_{h=0}
- эта глубина называется **глубиной трения,** обычно она составляет 20-50 м



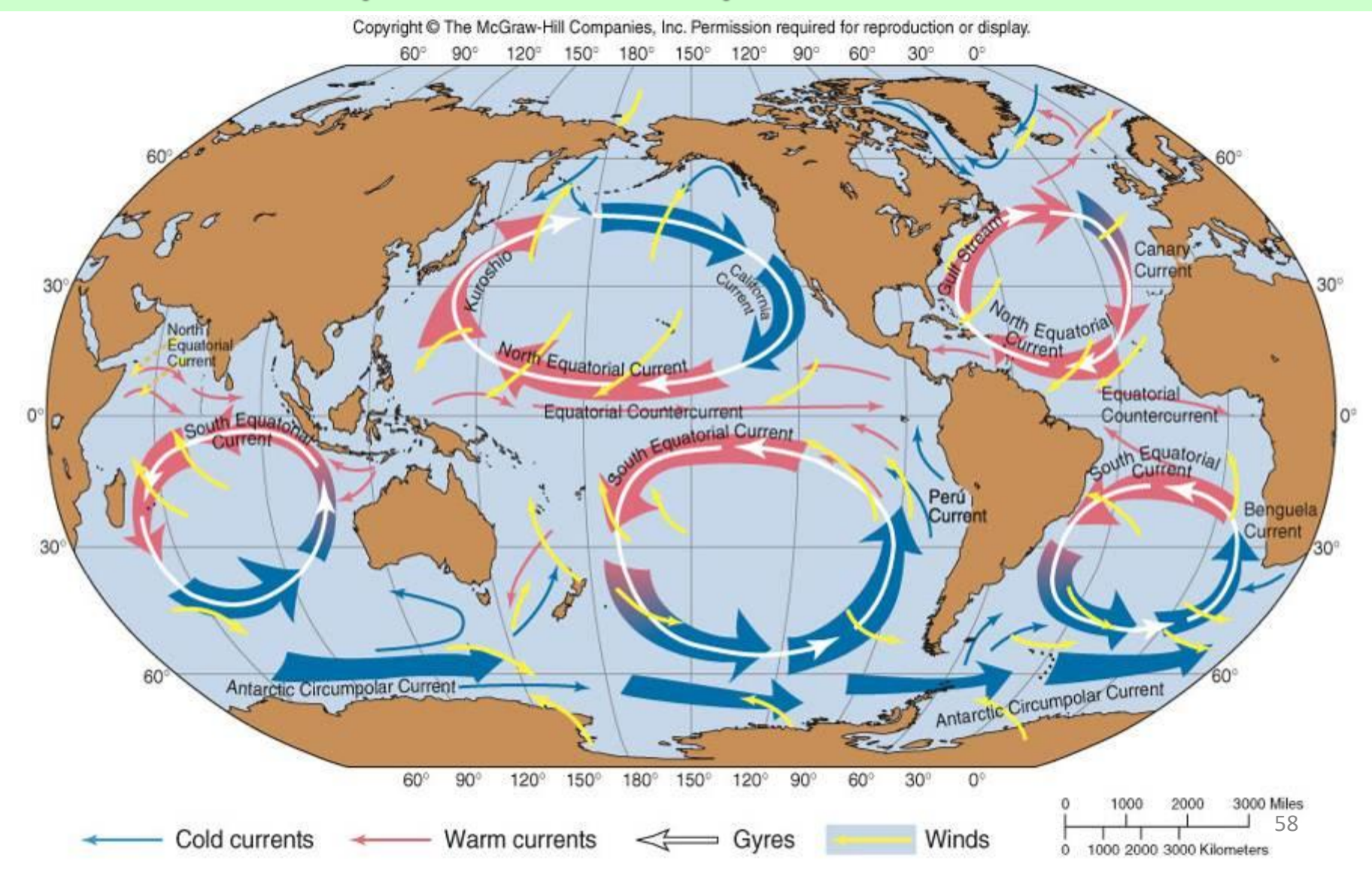
Апвеллинг — следствие отклонения дрейфового течения и результирующего переноса



Апвеллинг у берегов Крыма по спутниковым данным 10.07.2003



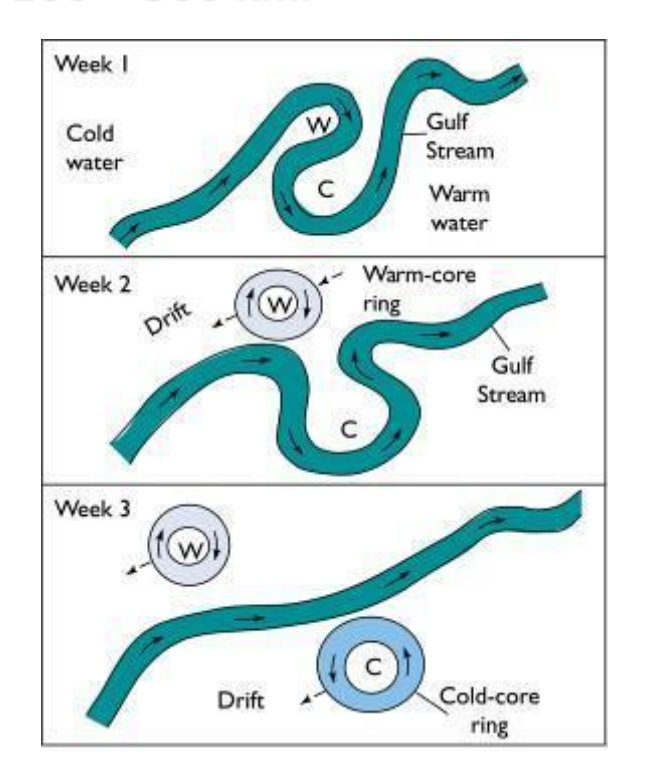
Упрощенная схема основных течений на поверхности Мирового океана



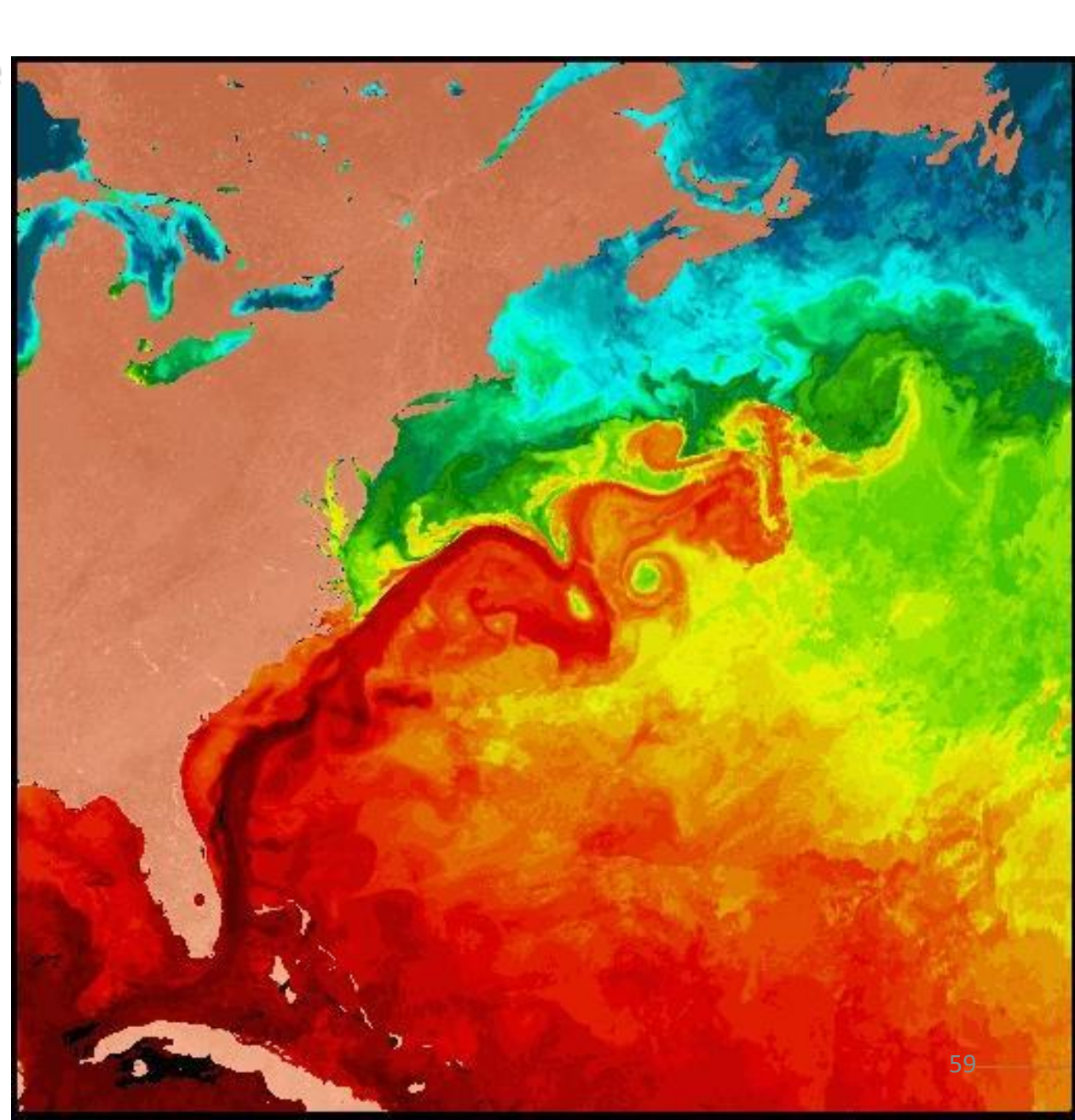
Спутниковая карта Гольфстрима в поле температуры

Реальные течения в океане имеют вихревую структуру, размеры вихрей

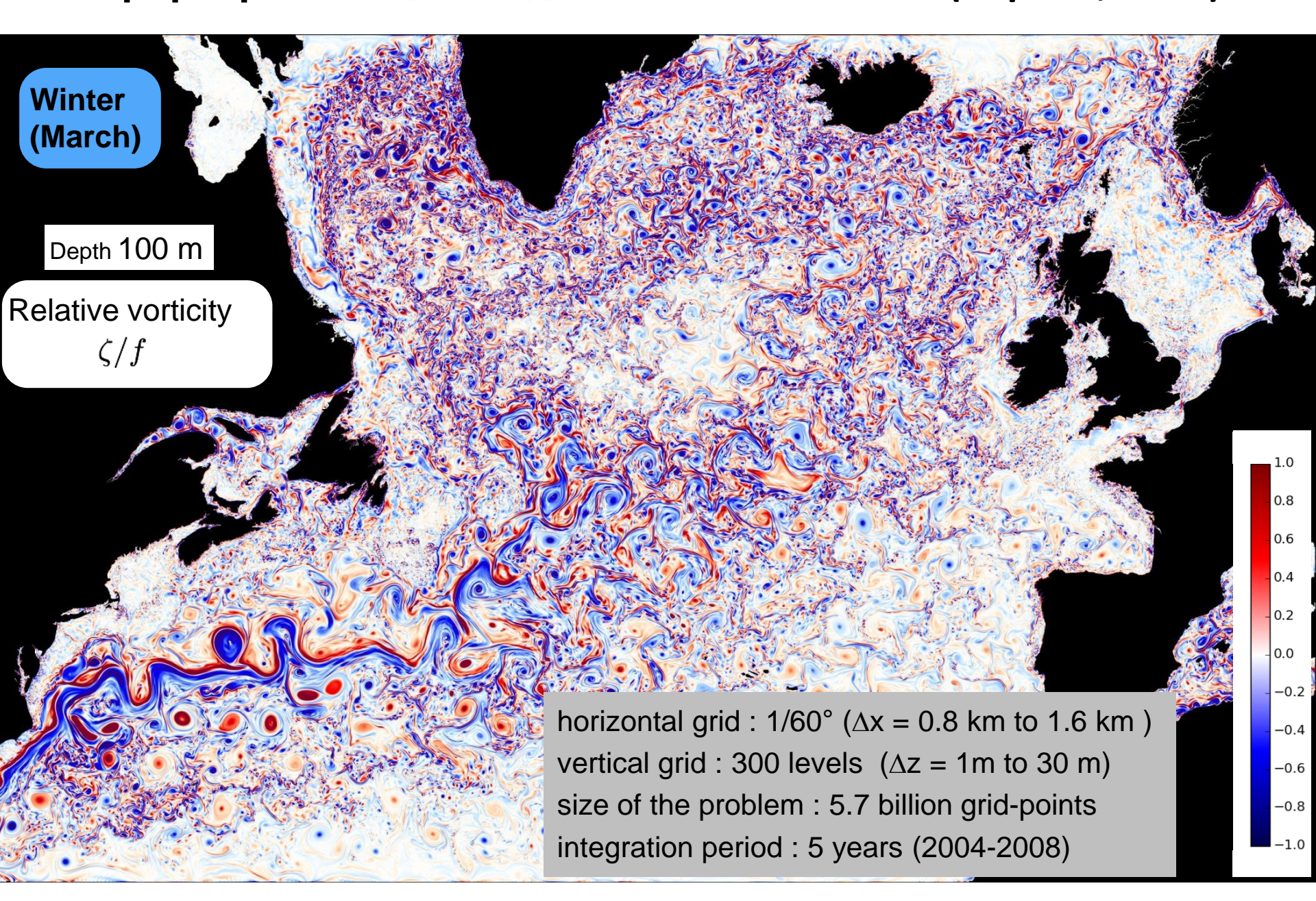
100 - 300 km.



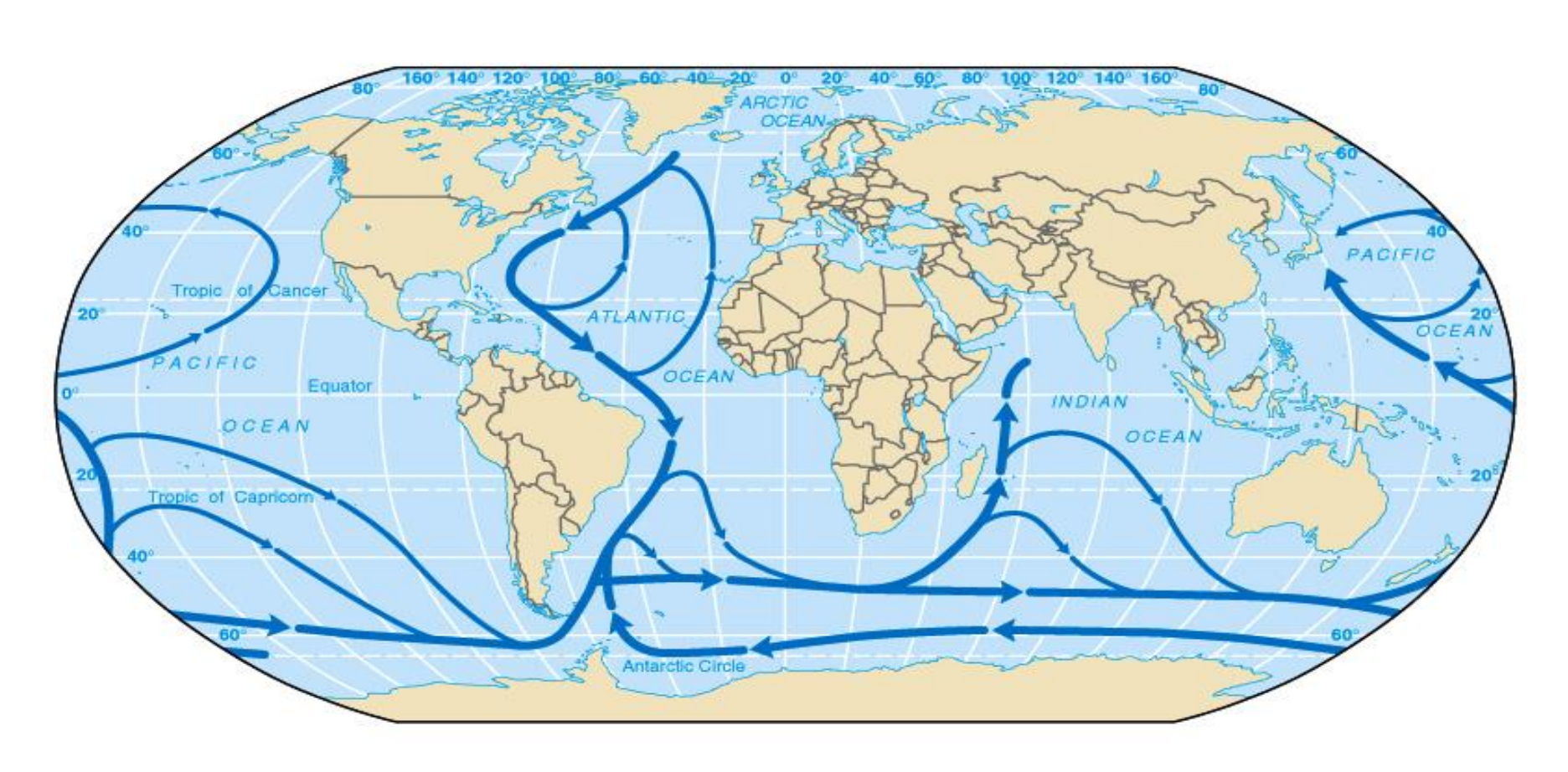
Отрыв вихрей



Вихреразрешающая модель 1/60°: NATL60 (Барнье, 2019)



Глубинная циркуляция

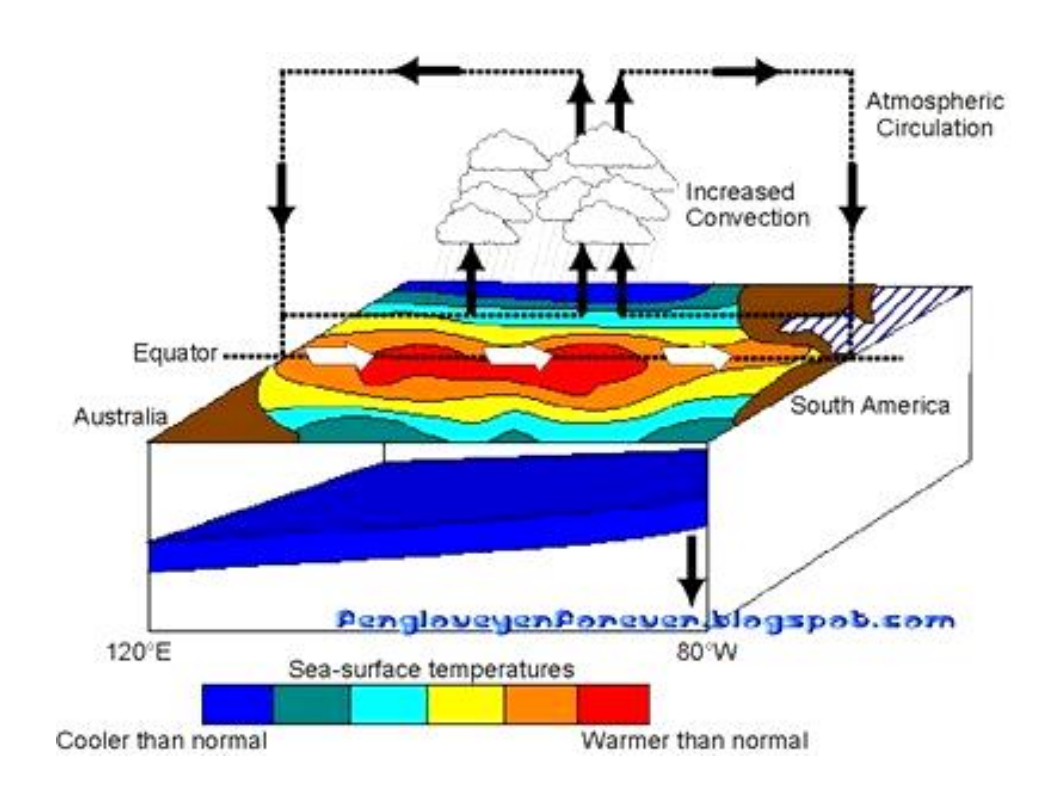


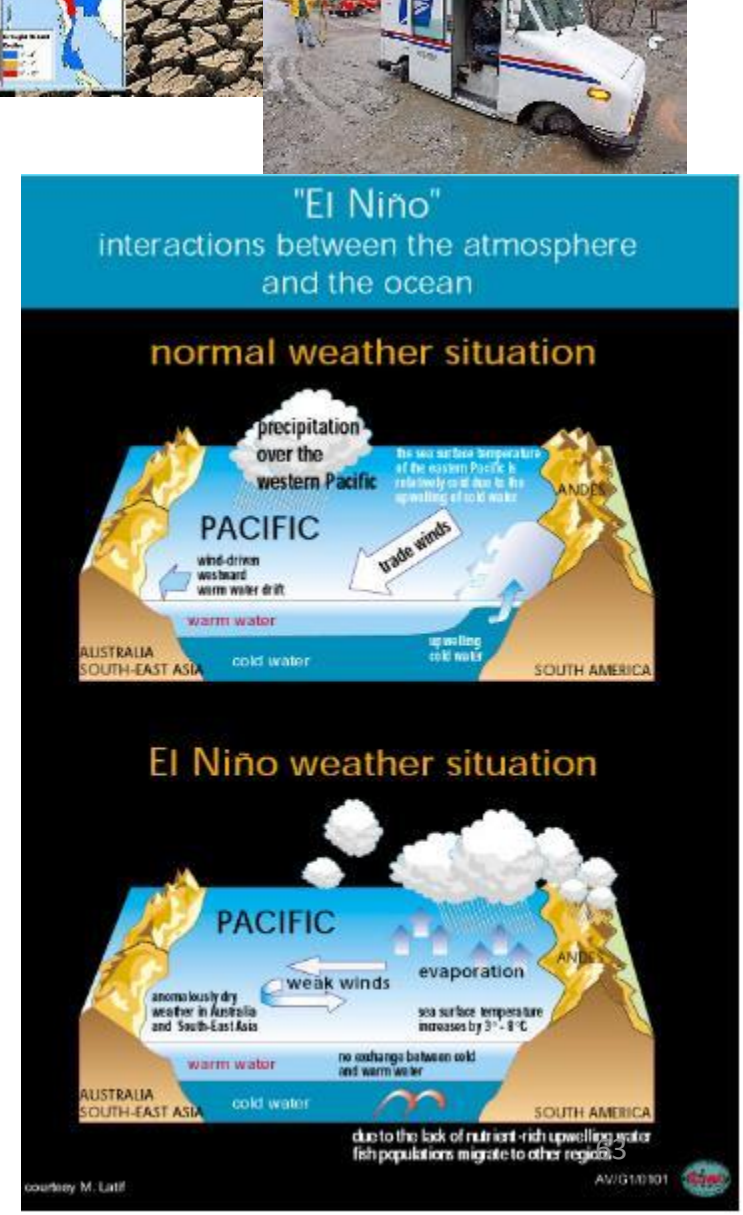
Система западных пограничных течений

Природные колебания в системе океан-атмосфера

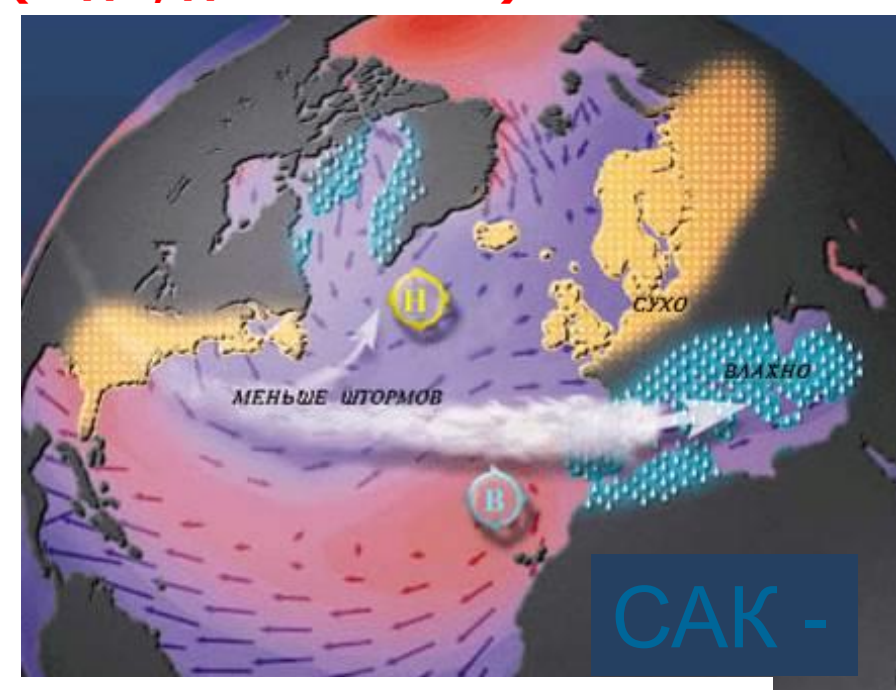
Роль океана в колебаниях климата: примеры

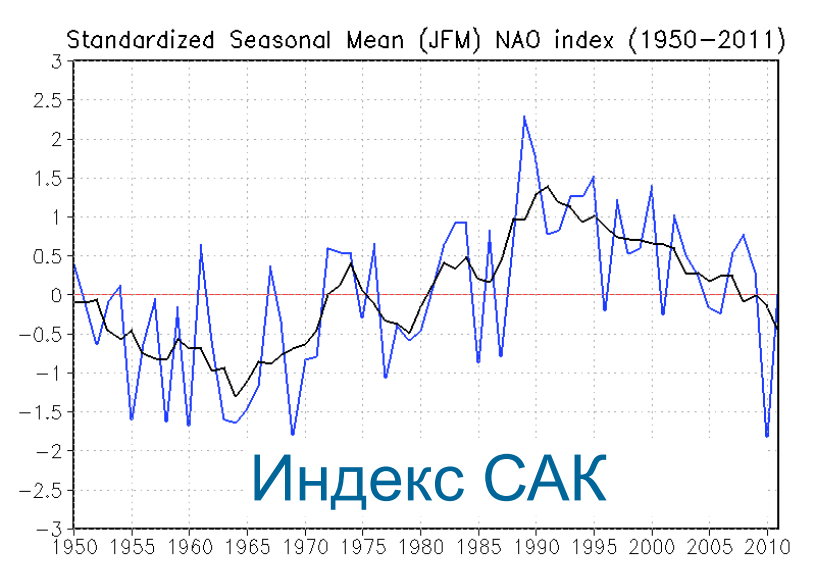
Эль-Ниньо и муссоны → возникновение контролируется аномалиями температуры поверхности воды (а следовательно, их влиянием на испарение) в Тропической части Тихого океана (месяцы, сезоны)

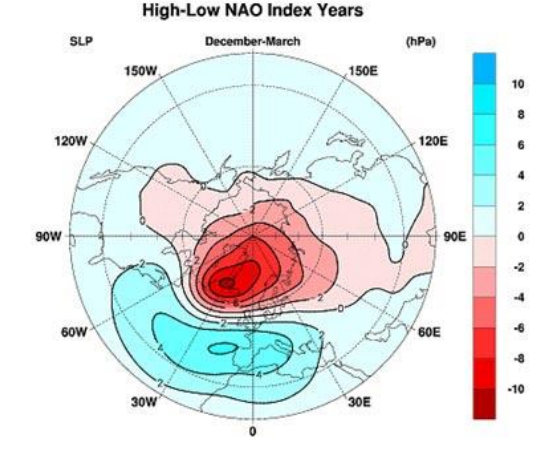




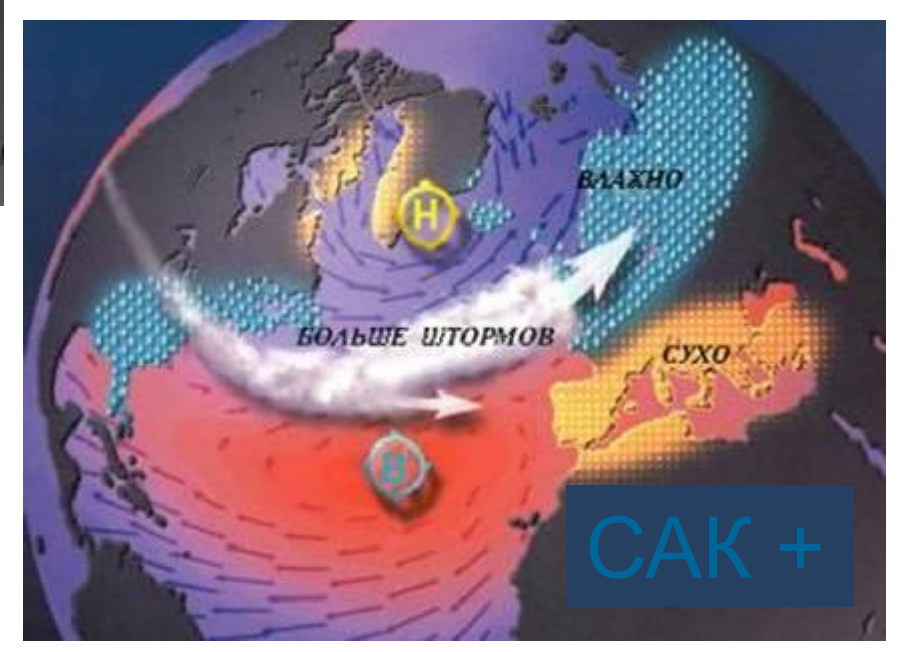
Роль океана в колебаниях климата – проблема масштабов: примеры (годы, десятилетия)





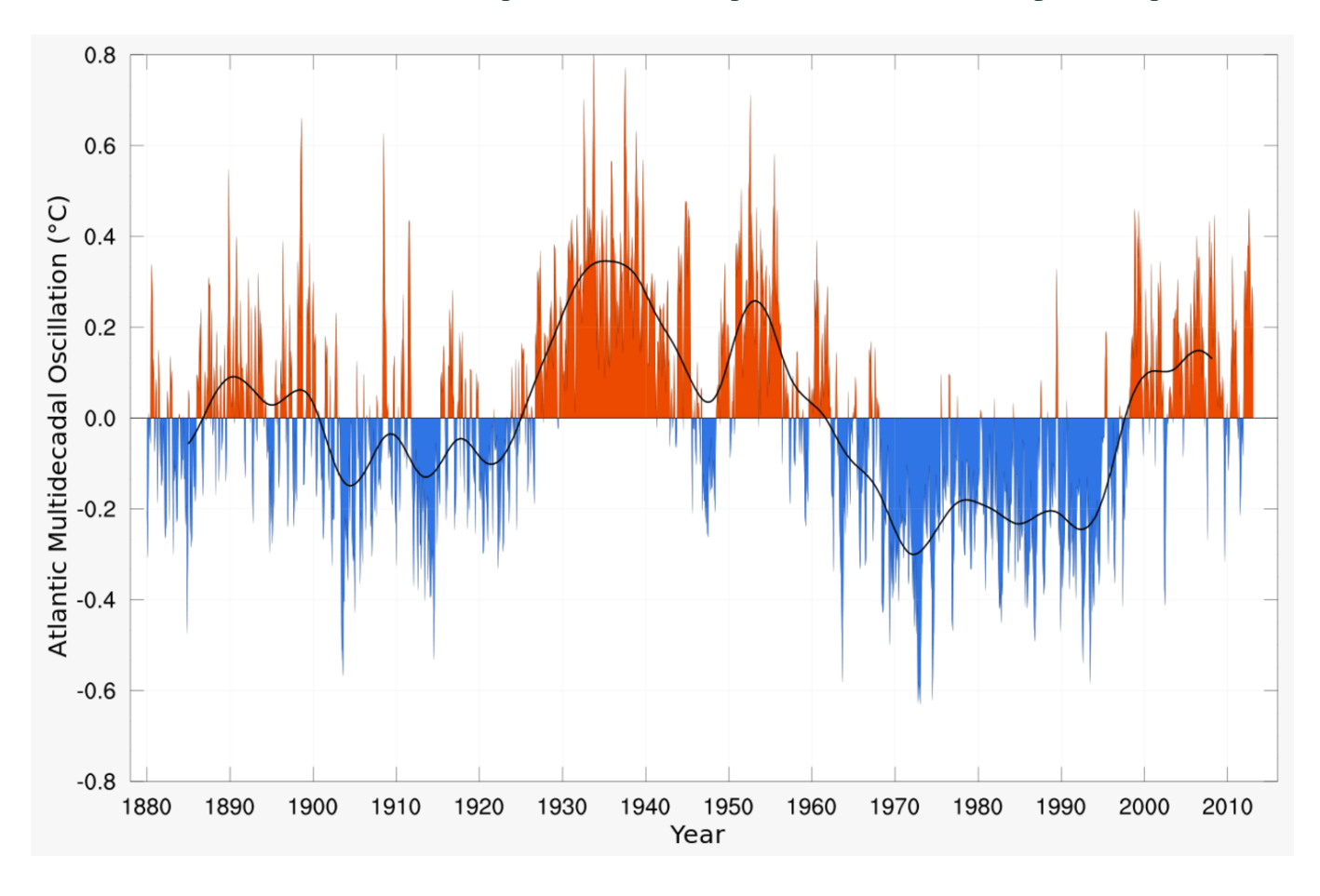


Северо-Атлантическое колебание (САК) – условия конвекции в Субполярной Атлантике

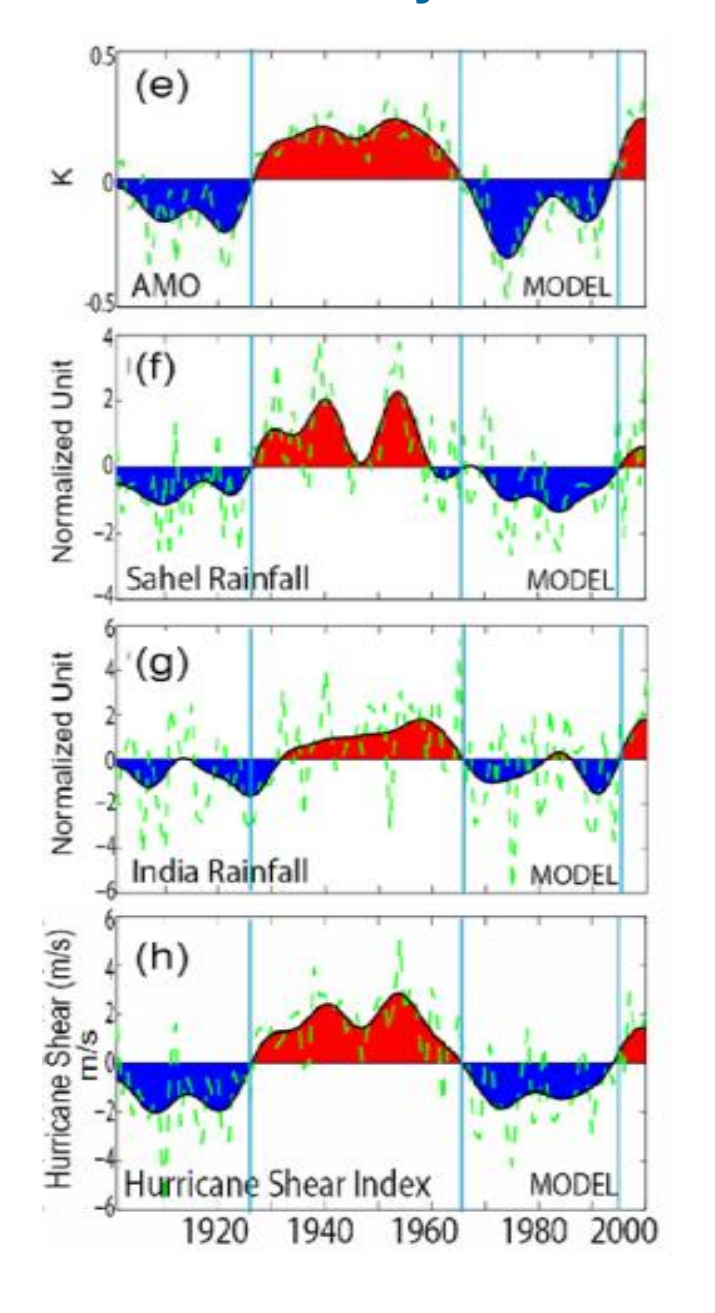


Роль океана в колебаниях климата – проблема масштабов: примеры (десятилетия)

Атлантическая мультидекадная осцилляция – аномалия температуры воздуха в атлантическом секторе Северного полушария



Атлантическая мультидекадная осцилляция и изменения климата



Индекс АМО

Осадки к югу от Сахары

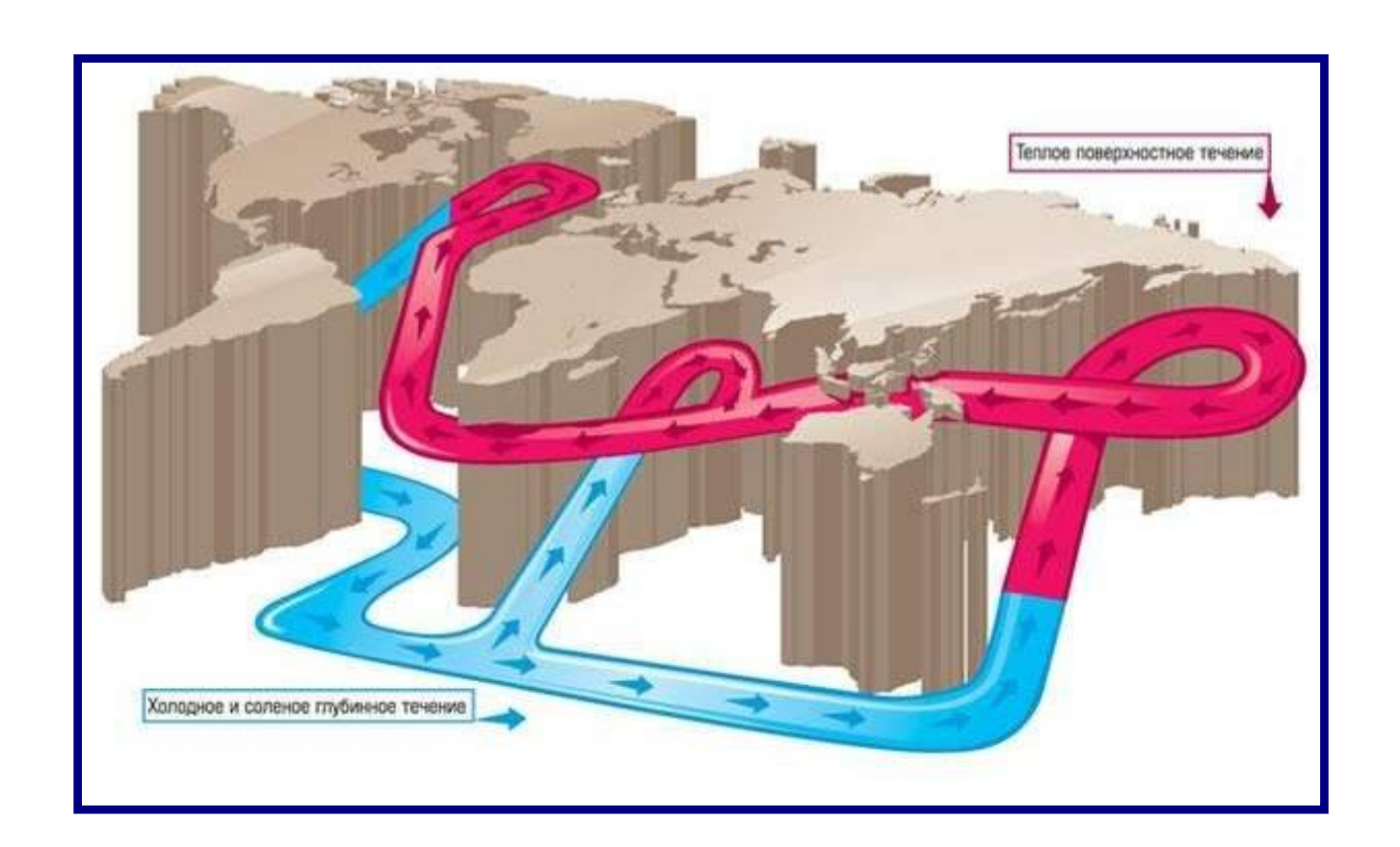
Осадки в Индии

Интенсивность ураганов В США

Роль океана в колебаниях климата

Глобальная межокеанская циркуляция ->

аномалии температуры поверхности воды в Атлантике и Тихом океане (десятилетия, столетия)





Э.Х.Ленц (1804-1865)



С.С.Лаппо (1938-2006)



У. Броккер (1931-2019)

Северная Атлантика:

- ✓ Меридиональное простирание и относительная узость по широте
- ✓ Свободный водообмен с Арктическим бассейном
- ✓ Наличие Средиземного моря бассейна испарения
- ✓ Отсутствие орографических барьеров для воздушных масс у западного берега в умеренных широтах

Баланс тепла поверхности

Водный баланс

Северная Атлантика

-1 ΠBm (10¹⁵ Bm) -0,4 Ce (1Ce=10⁶м³/c)

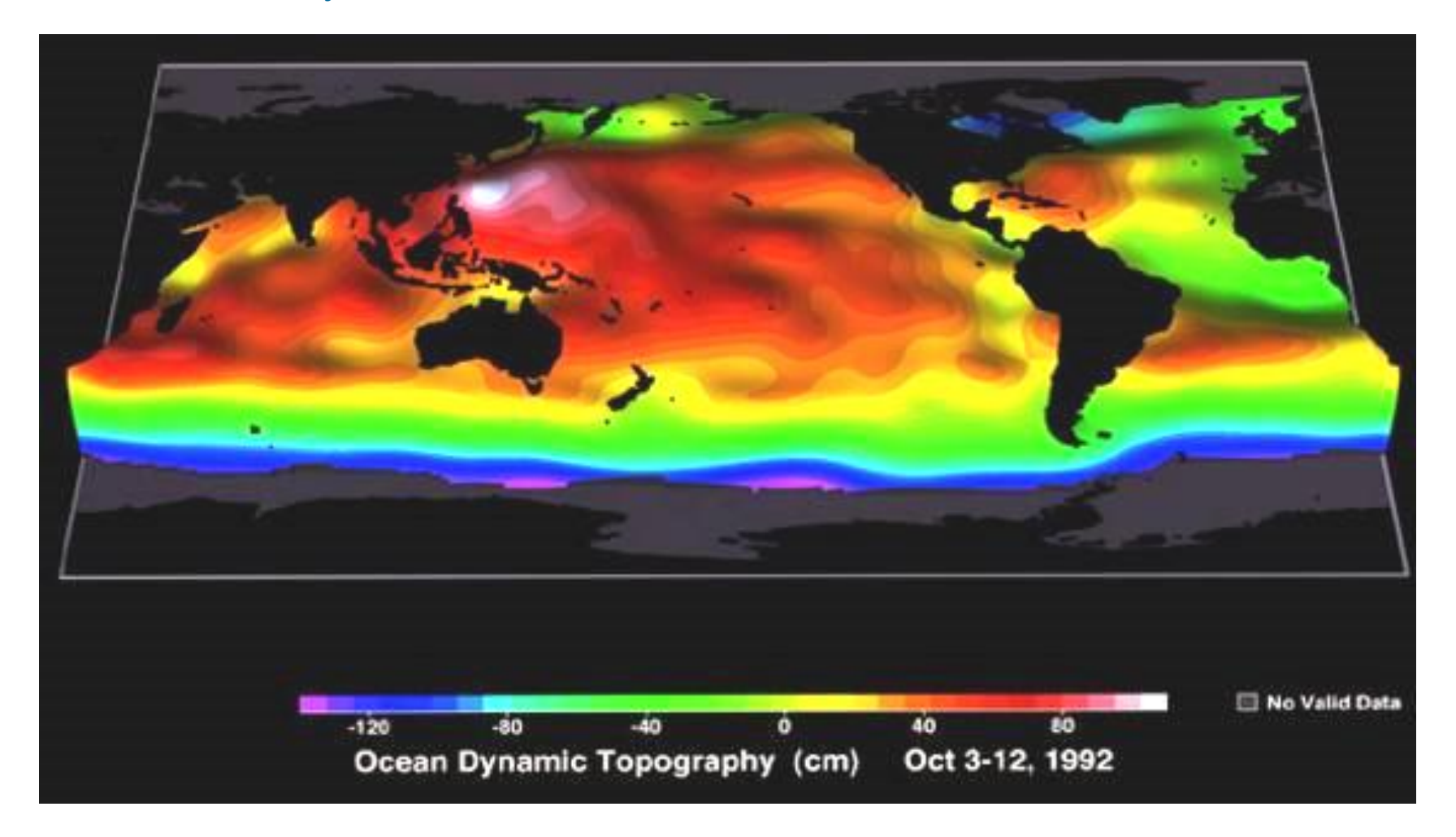
Сев. часть Тихого океана $+ 0.5 \Pi$ Вт

+0,5 Св

- Атлантика теплее и солонее, чем Тихий океан, причем роль солености важнее, отсюда средняя плотность в Атлантике выше, чем в Тихом океане.
- ≻Чем больше средняя плотность столба воды, тем ниже будет положение уровня

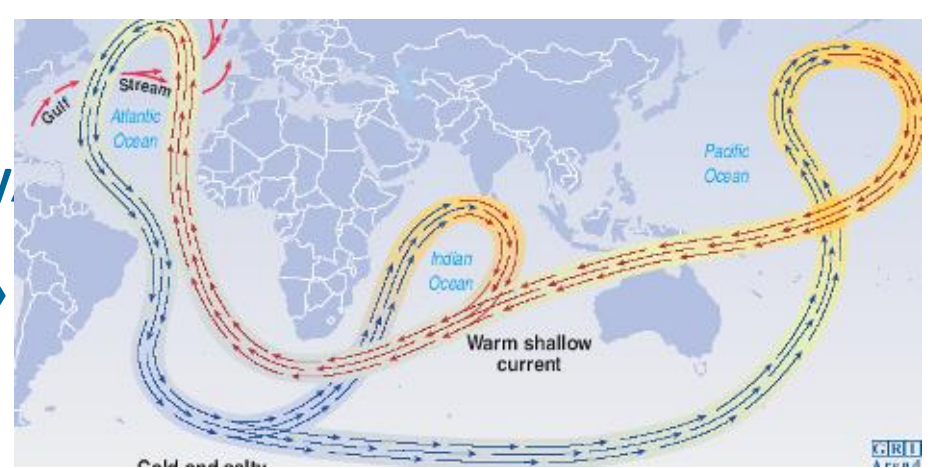
Разность уровня поверхности океанов

Наблюдаемая топография по данным спутниковых наблюдений

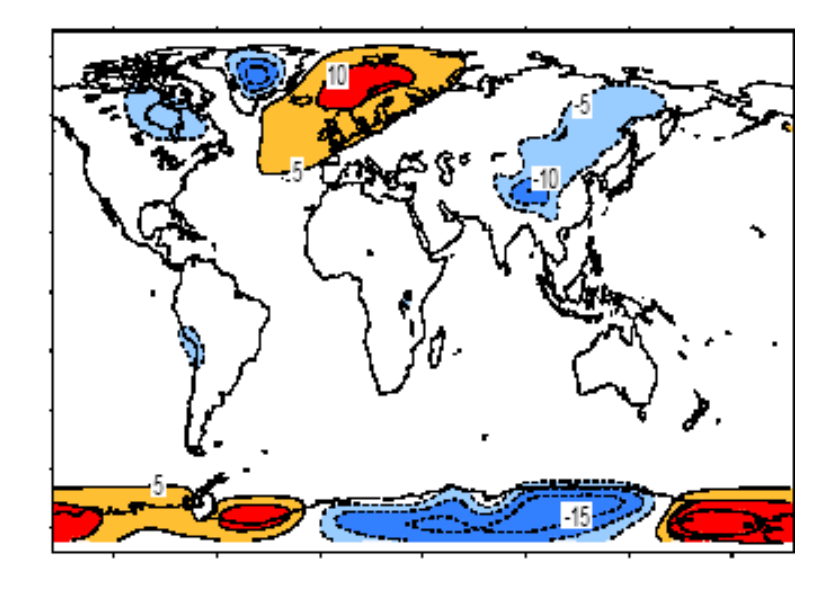


В Тихом плотность ниже из-за меньшей солености, а значит, уровень выше!

Разность уровня поверхности определяет поток теплых вод по его наклону из Тихого океана в Атлантику составляя верхнюю ветвь «глобального океанского конвейера»



Движущиеся на север в Атлантическом океане теплые воды компенсируют отток холодной глубинной водной массы и формируют дополнительный поток тепла в Северное полушарие, приводящий к смягчению климата Европы



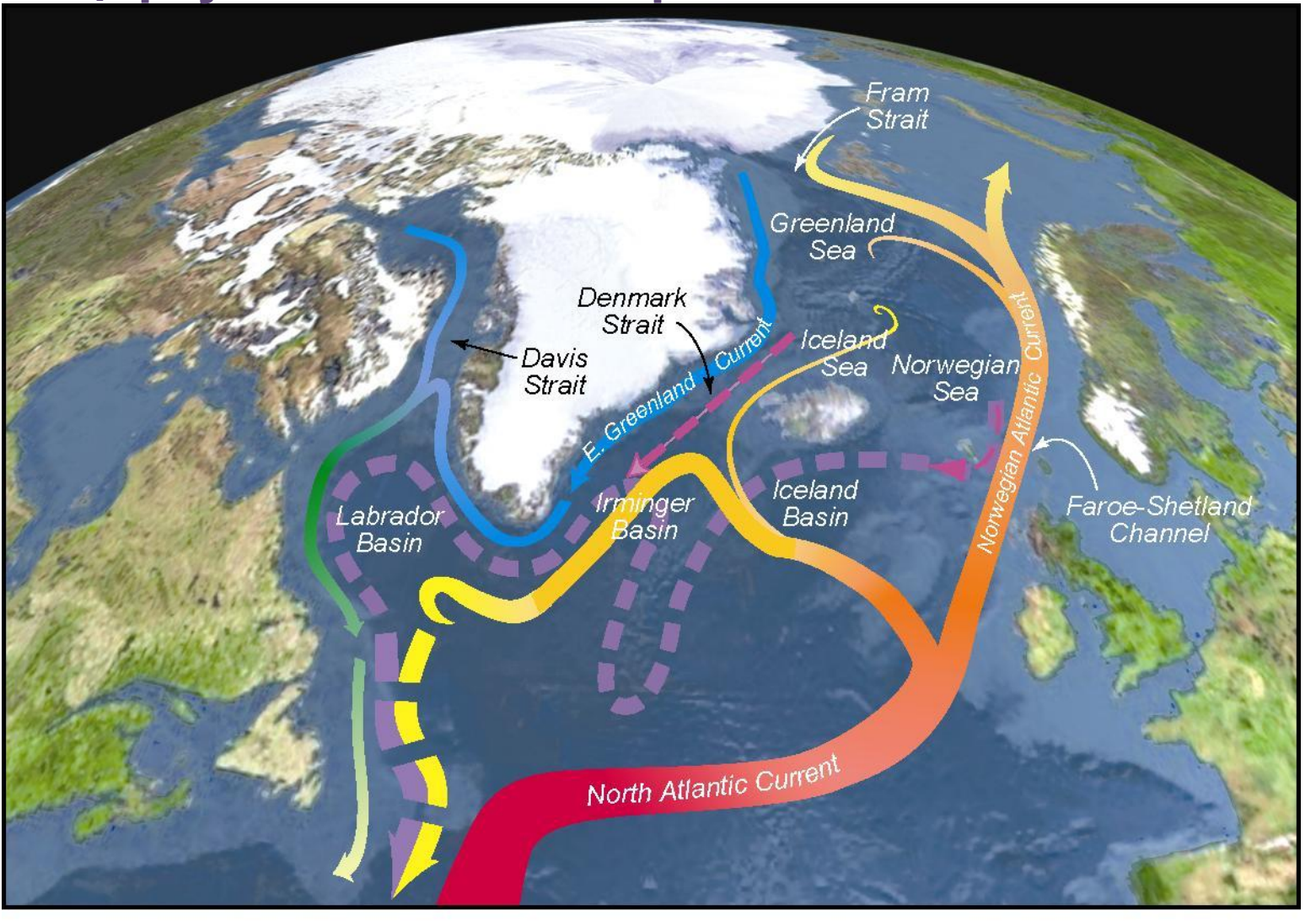
Аномалии температуры воздуха относительно среднезональных (Rahmstorf, 2000)

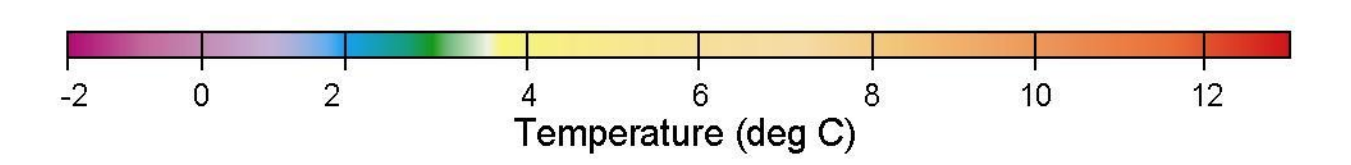
Устойчивая работа «глобального конвейера» может давать сбои, когда в области образования глубинных вод в Северной Атлантике плотность вод на поверхности уменьшается:

- уменьшение испарения за счет ослабления ветра,
- распреснение за счет таяния Гренландского щита или дополнительного выноса морского льда из Арктики

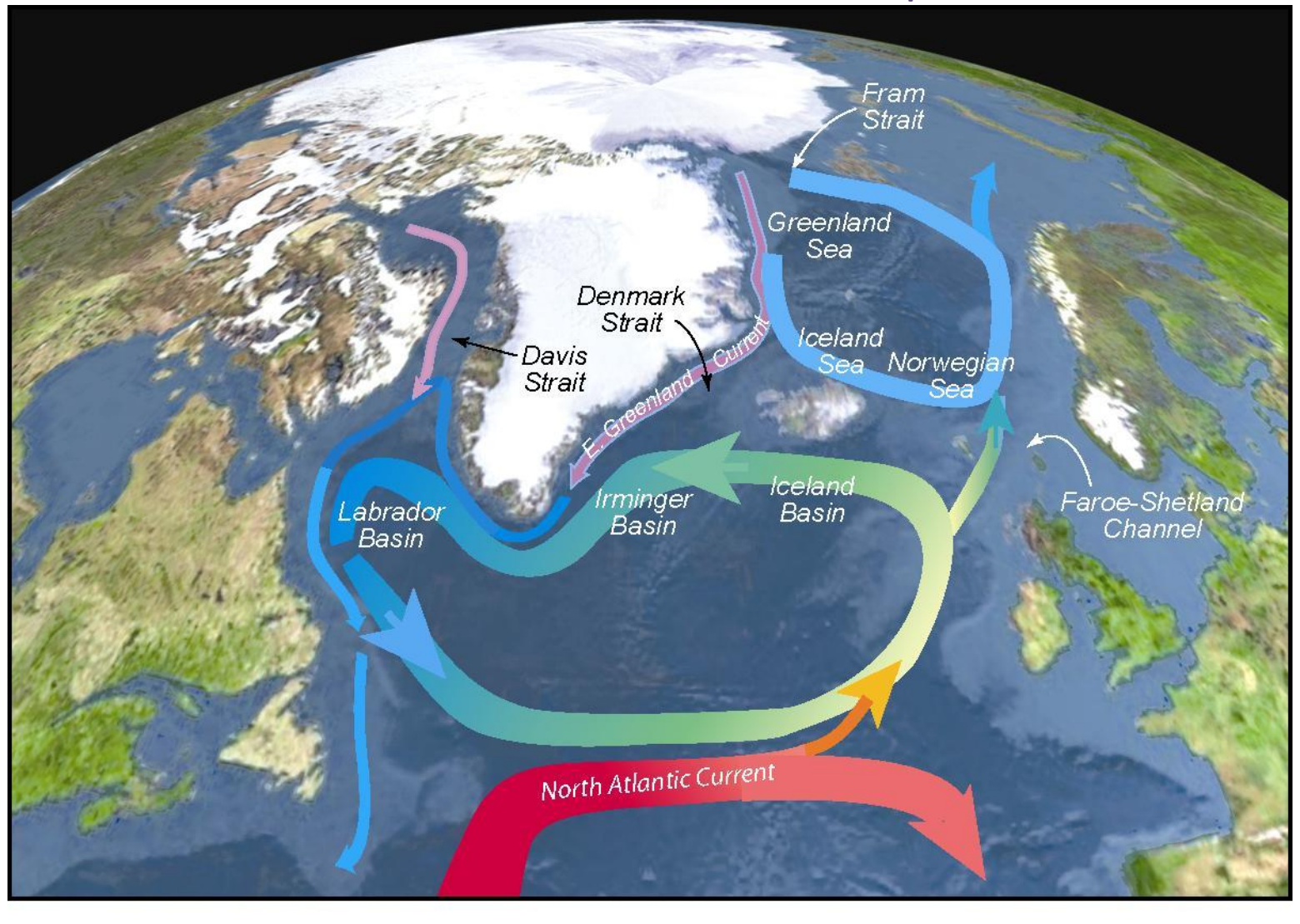


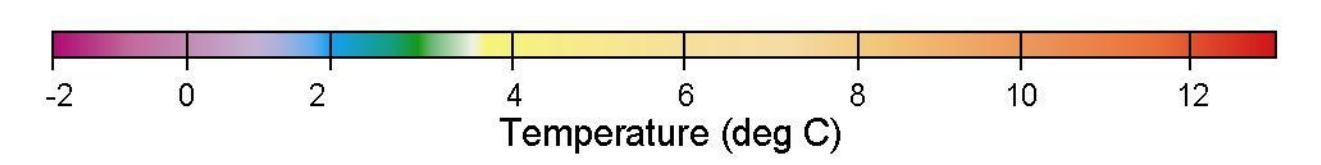
Циркуляция вод Северной Атлантики





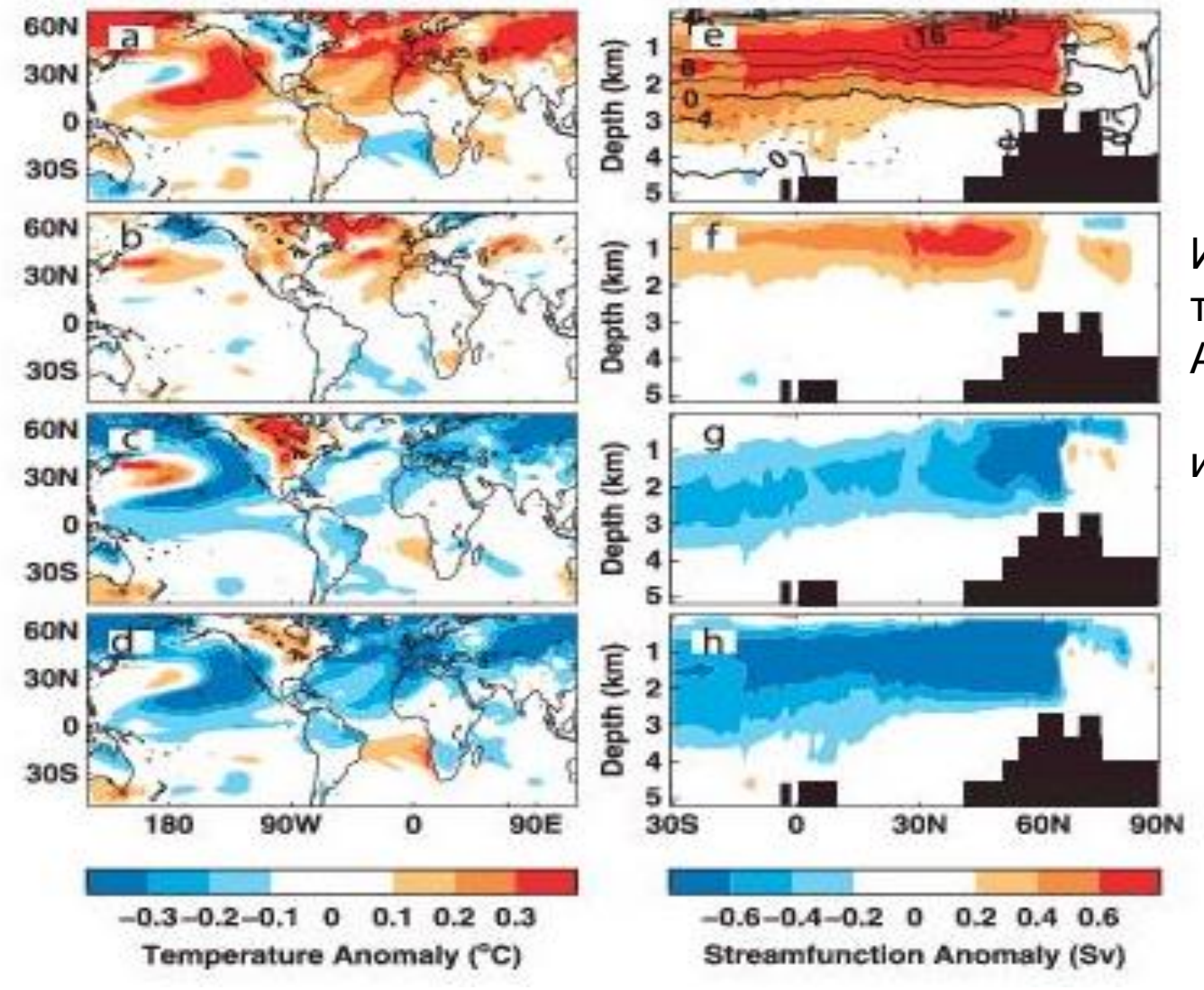
Нет «Глобального конвейера»





Атлантическая меридиональная циркуляция (АМЦ) и температура поверхности океана (ТПО)

ТПО АМЦ



Интенсивнее АМЦ – теплее Северная Атлантика

и наоборот



Скорость передачи сигнала в глубинном слое

Интегральная концентрация фреонов в слое ниже 2 км

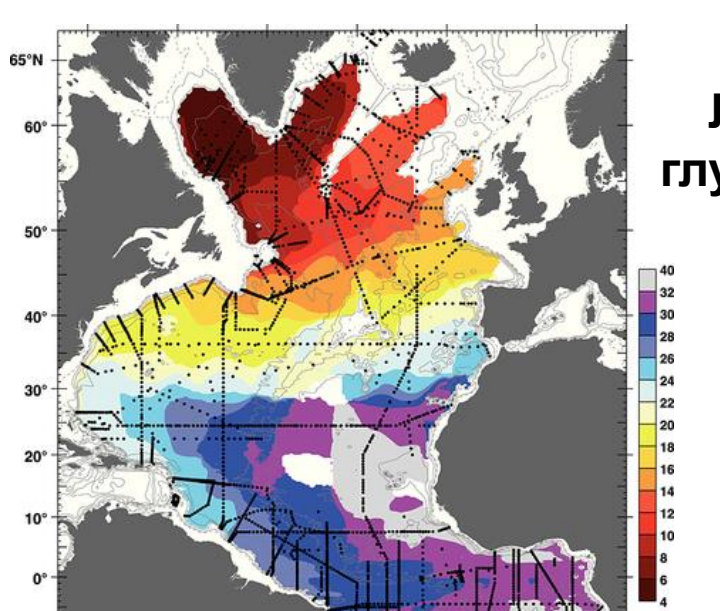
0.50

0.20

0.10

0.05

0.02



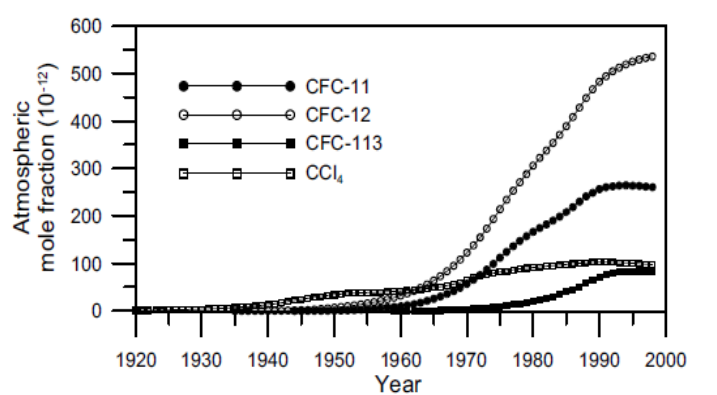
Возраст Лабрадорской глубинной водной

20

-60

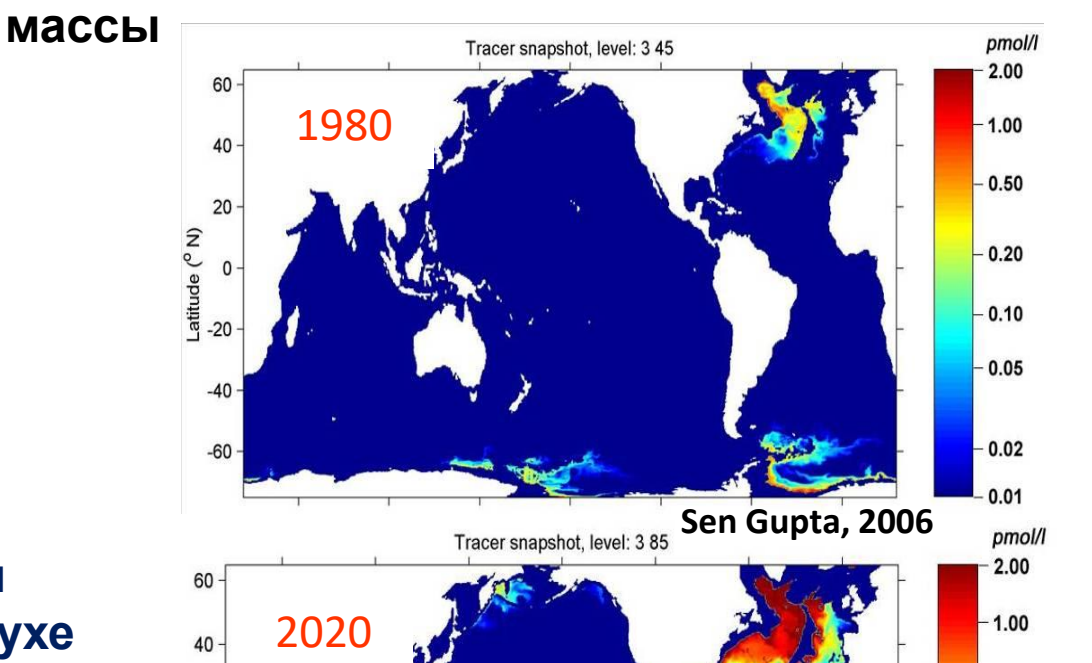
-atitude (° N)

Концентрация фреонов в воздухе



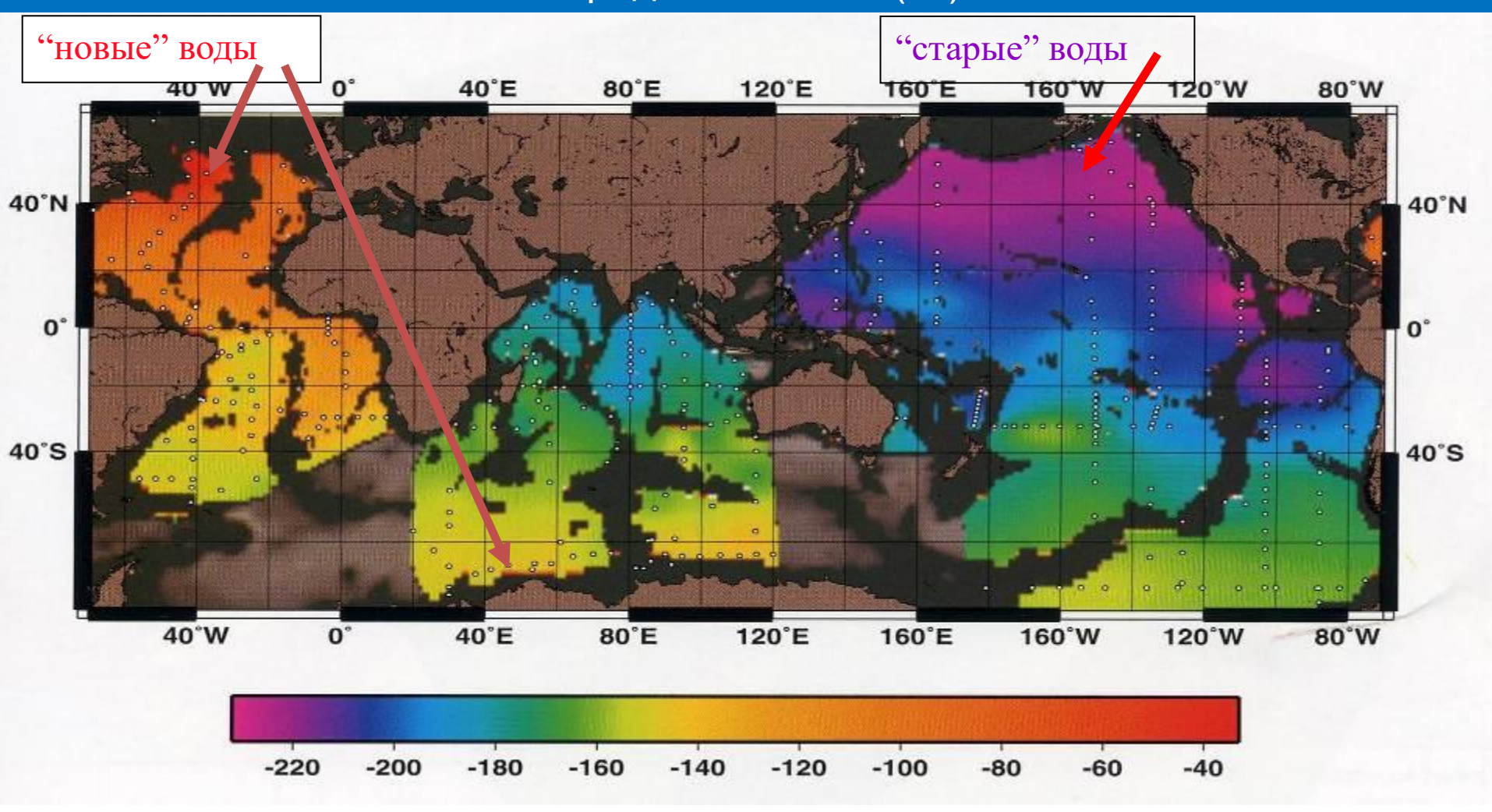
Age of young LSW

[years]

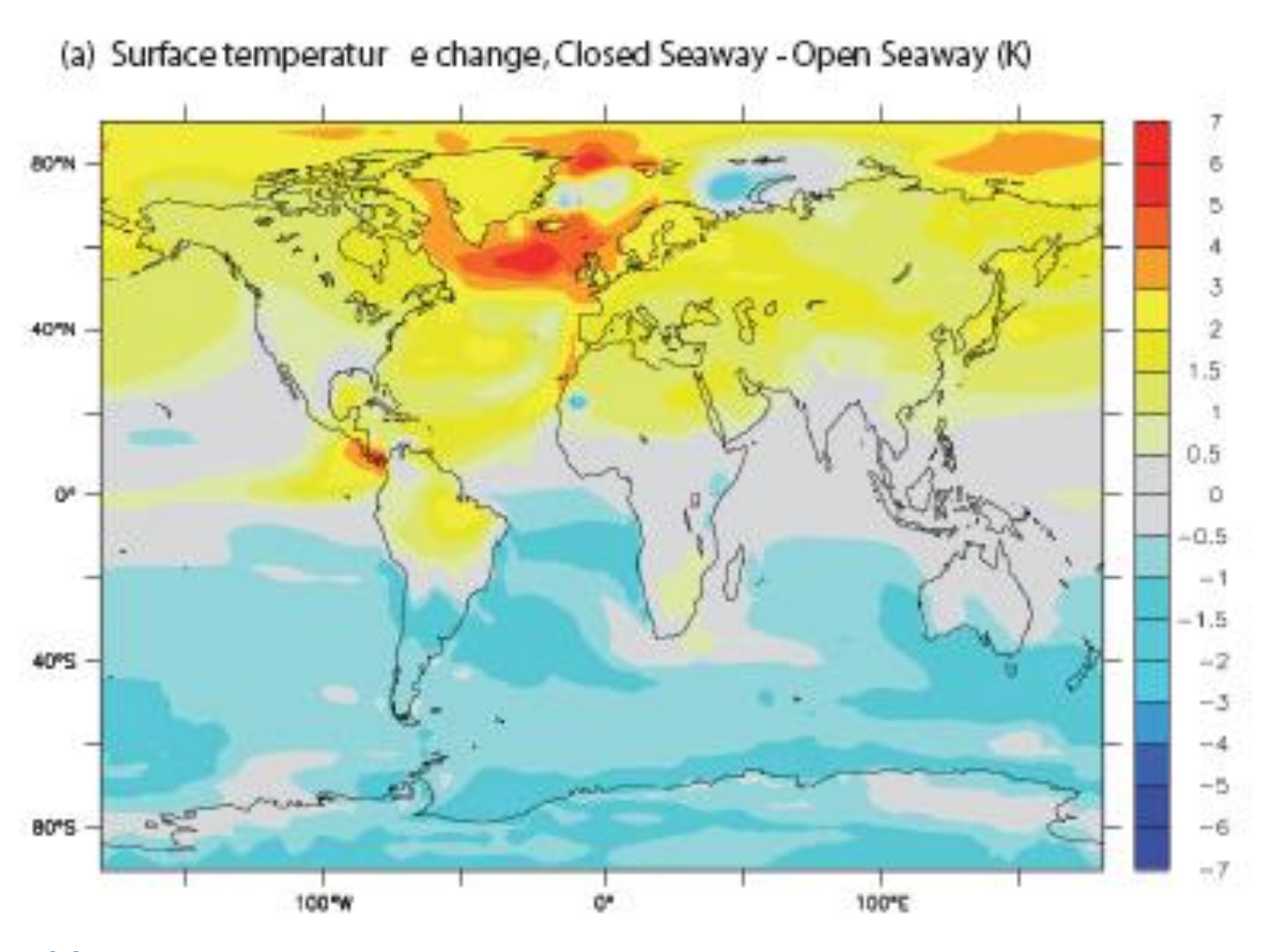


Сколько лет движется вода в глобальном конвейере?

Распределение относительных концентраций радиоуглерода в придонном слое (‰)

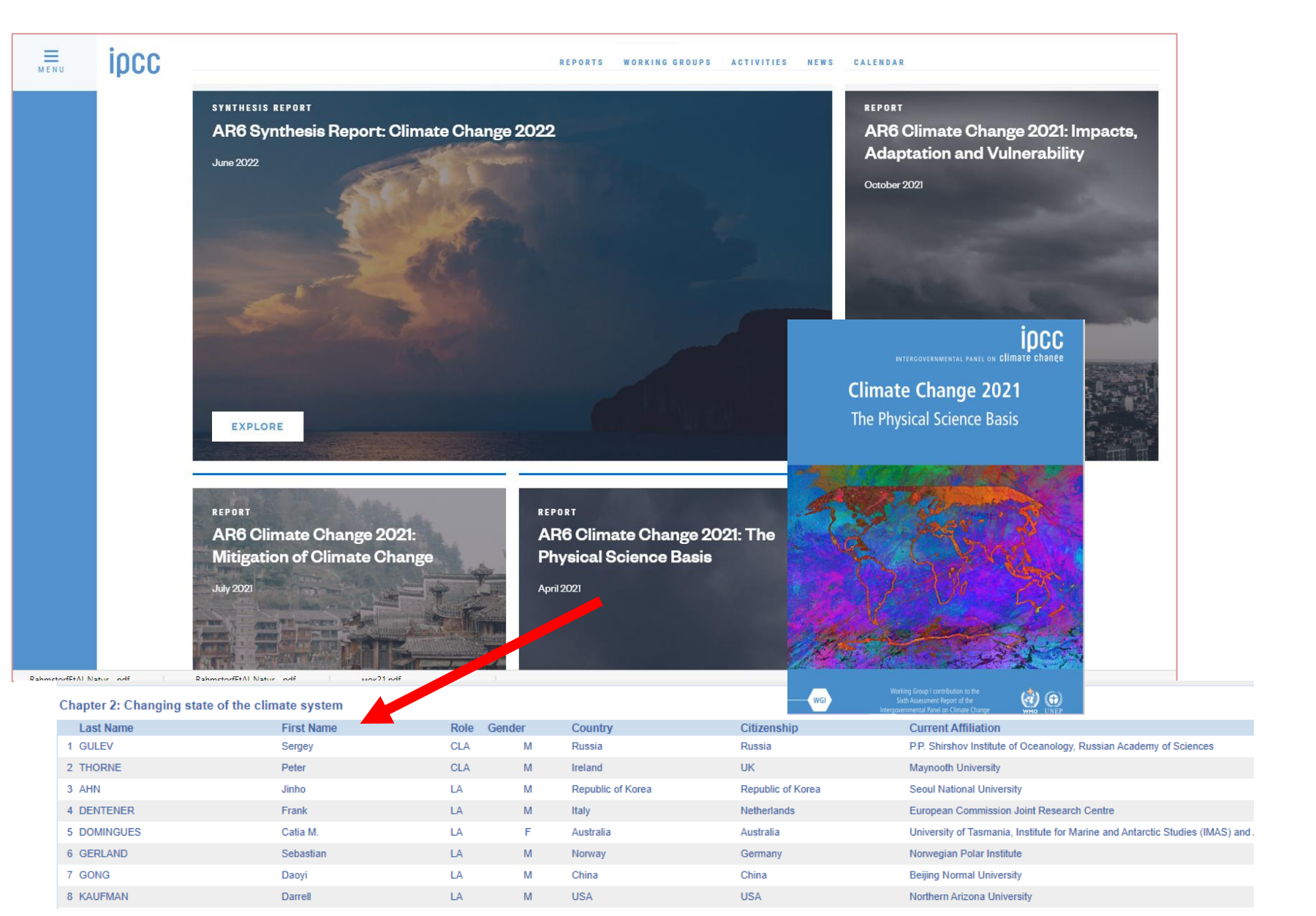


Закрытие Панамского перешейка 3 млн. лет назад – возникновение конвейера

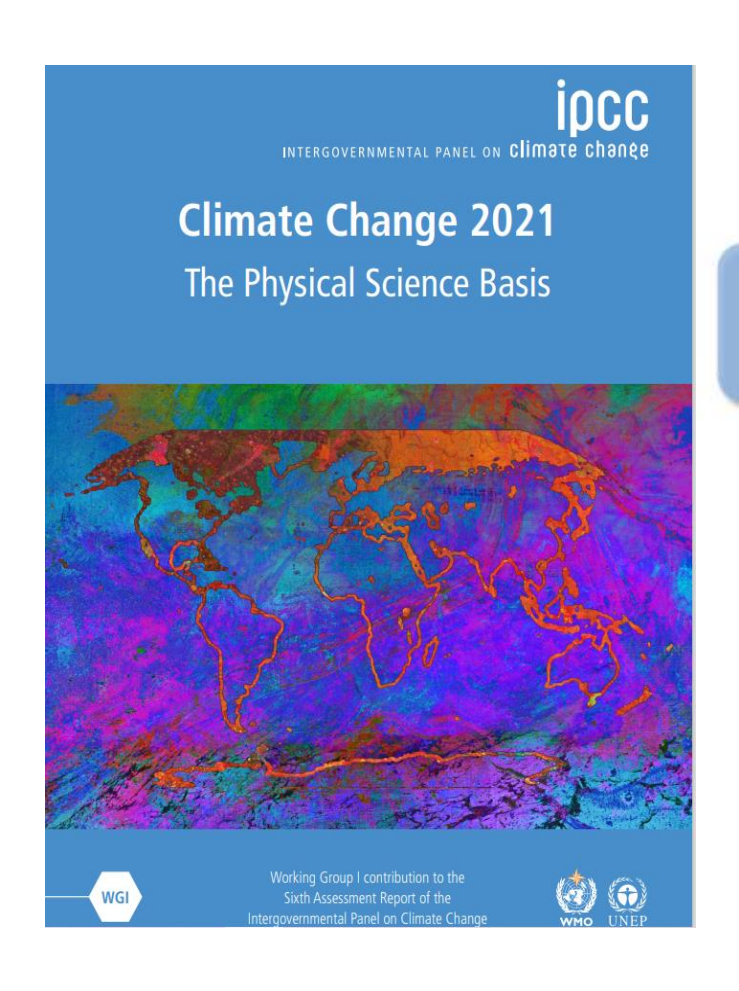


Изменения температуры после возникновения перешейка (Lunt et al., 2007)

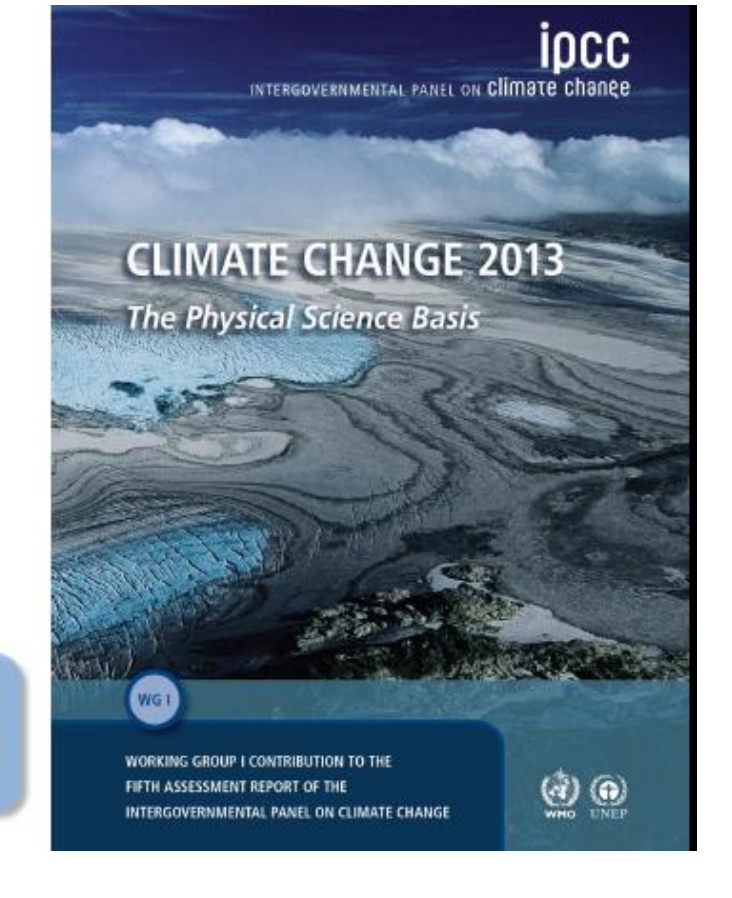
6-ой доклад МГЭИК 2021-22



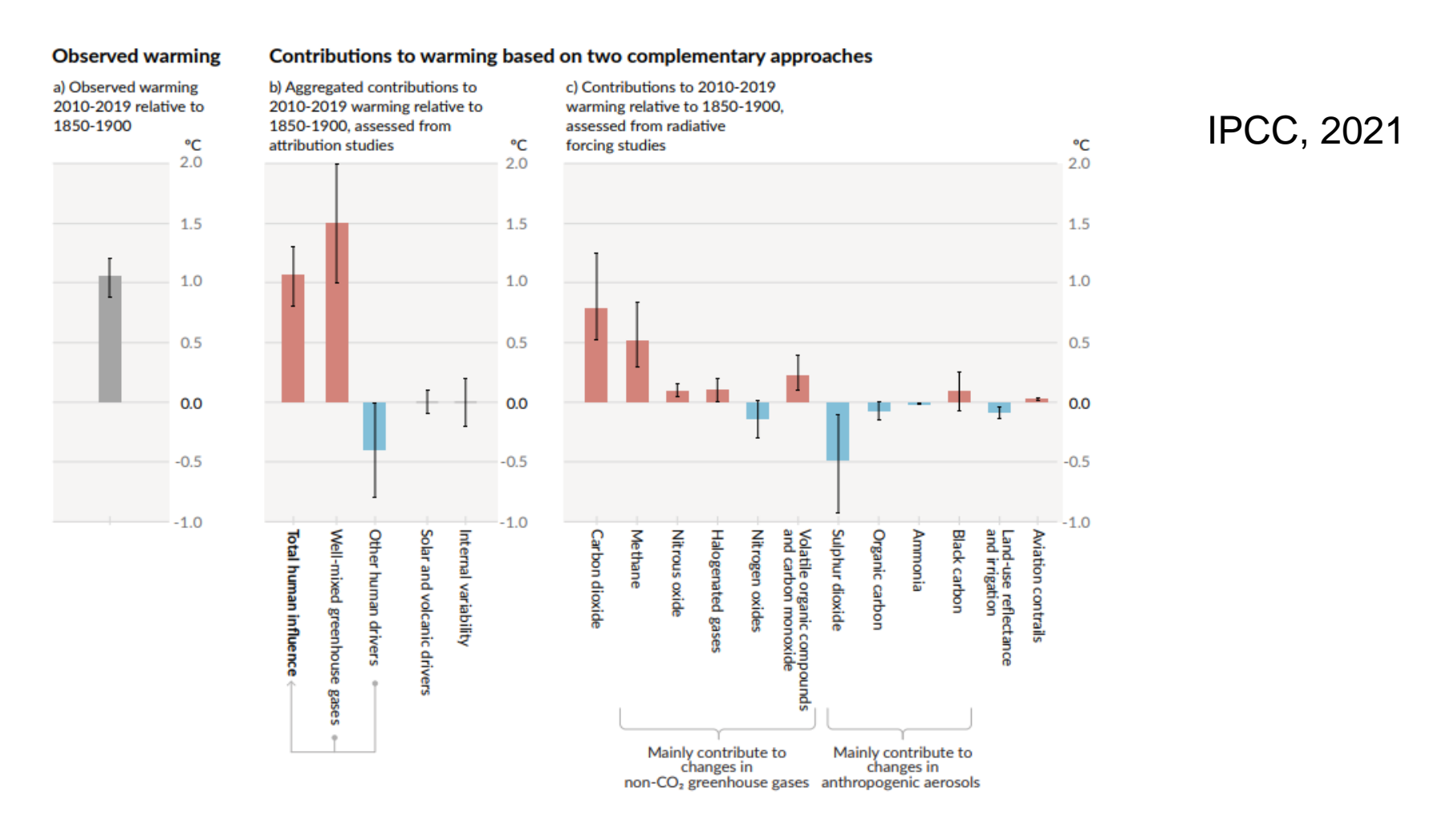
Наблюдения



Observations

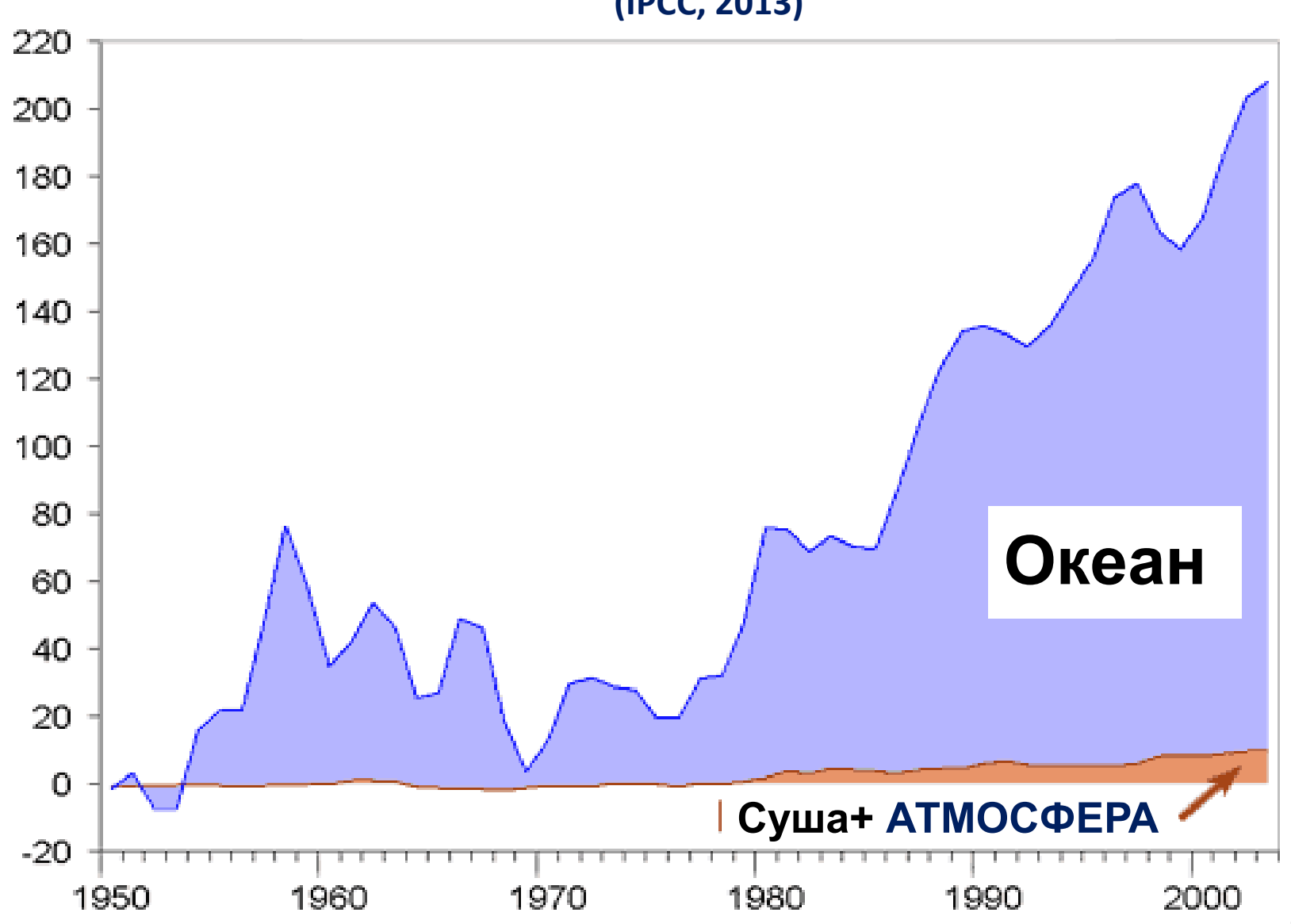


Observed warming is driven by emissions from human activities, with greenhouse gas warming partly masked by aerosol cooling

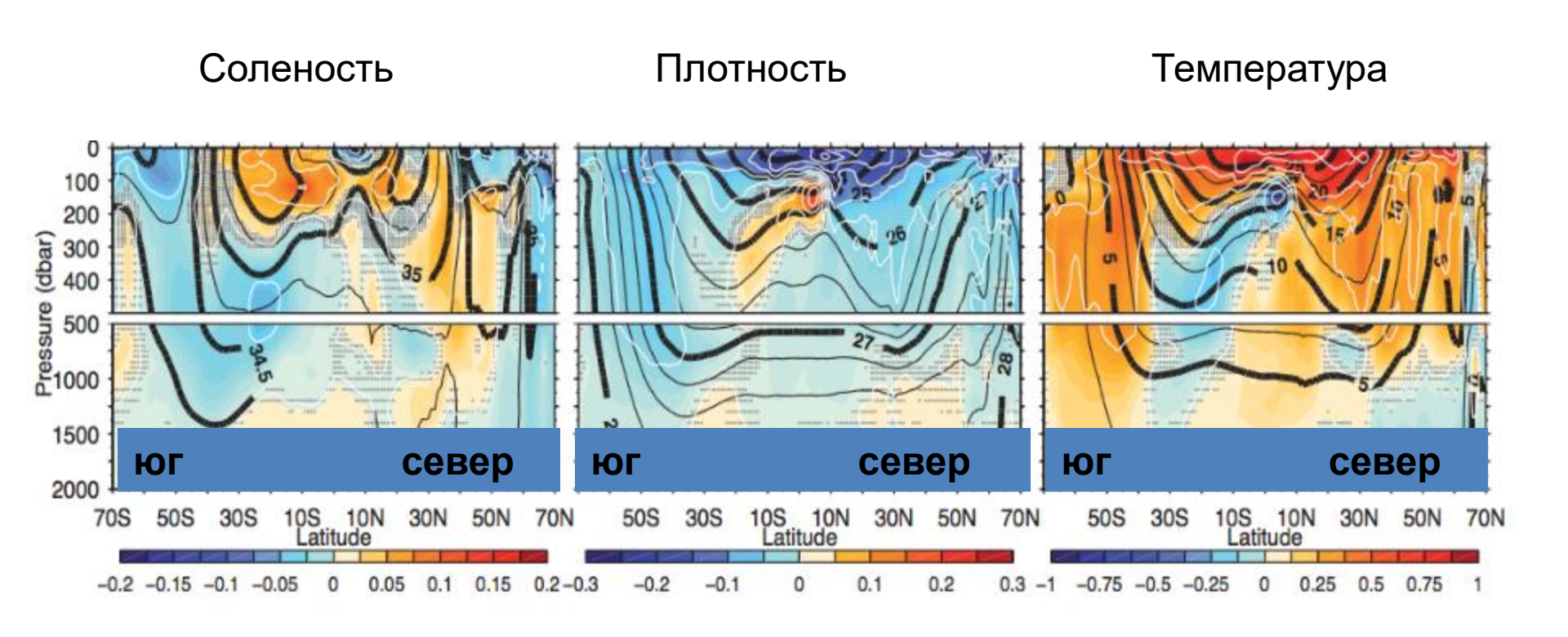


в 2001 – 2020 гг. глобальная температура была выше на 1,09°С по сравнению с 1850 – 1900 гг. При этом, по оценкам, около 1,07°С роста температуры вызвано антропогенным фактором (основной из которых — рост выбросов парниковых газов), а 0,02°С роста приходится на естественные факторы.

Аномалии глобального теплозапаса (10^{21} Дж) ($_{\rm IPCC}$, 2013)



Зонально осредненные тренды в верхних 2000 м в Мировом океане (2000 г. относительно 1950 г)



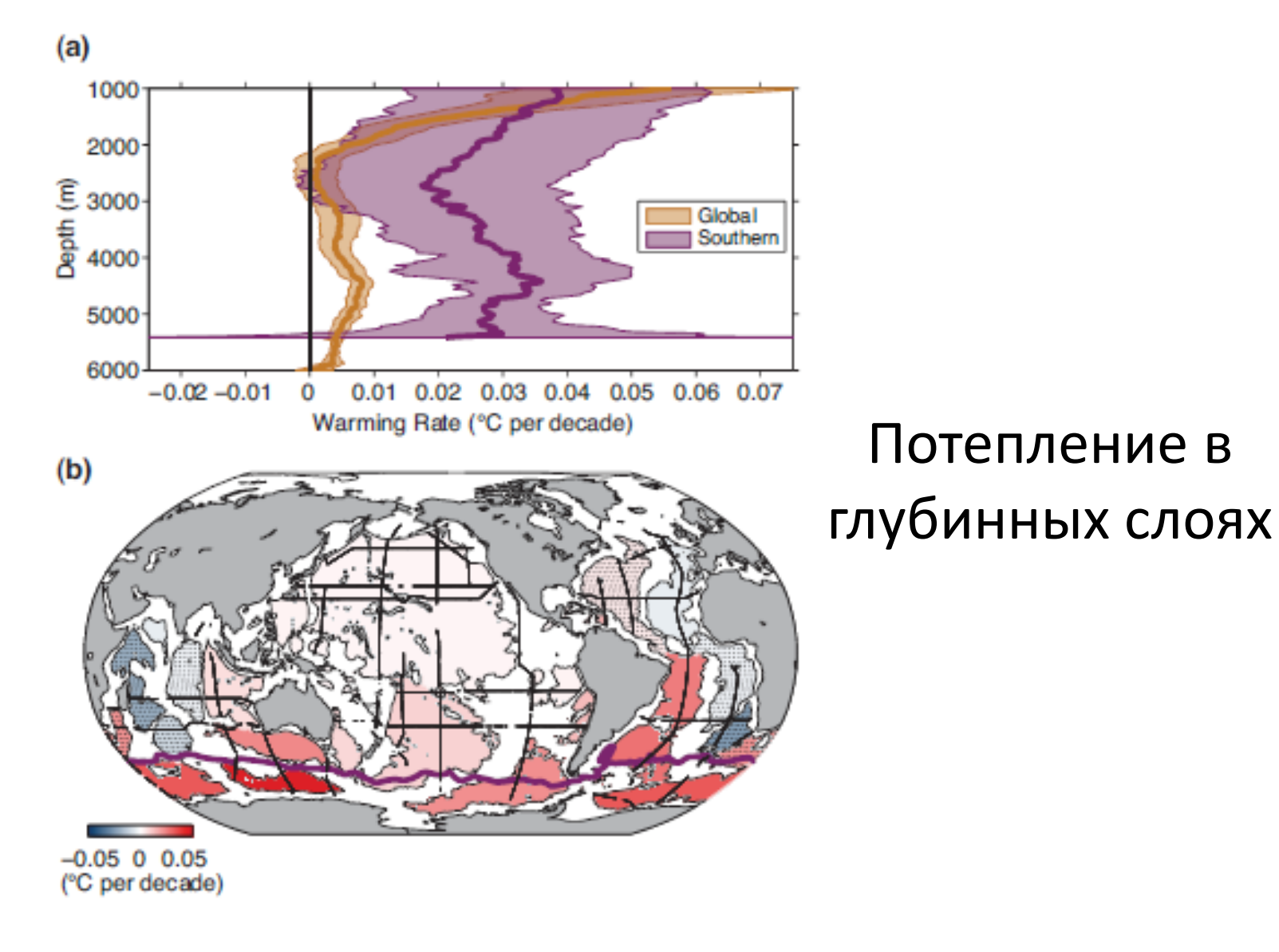
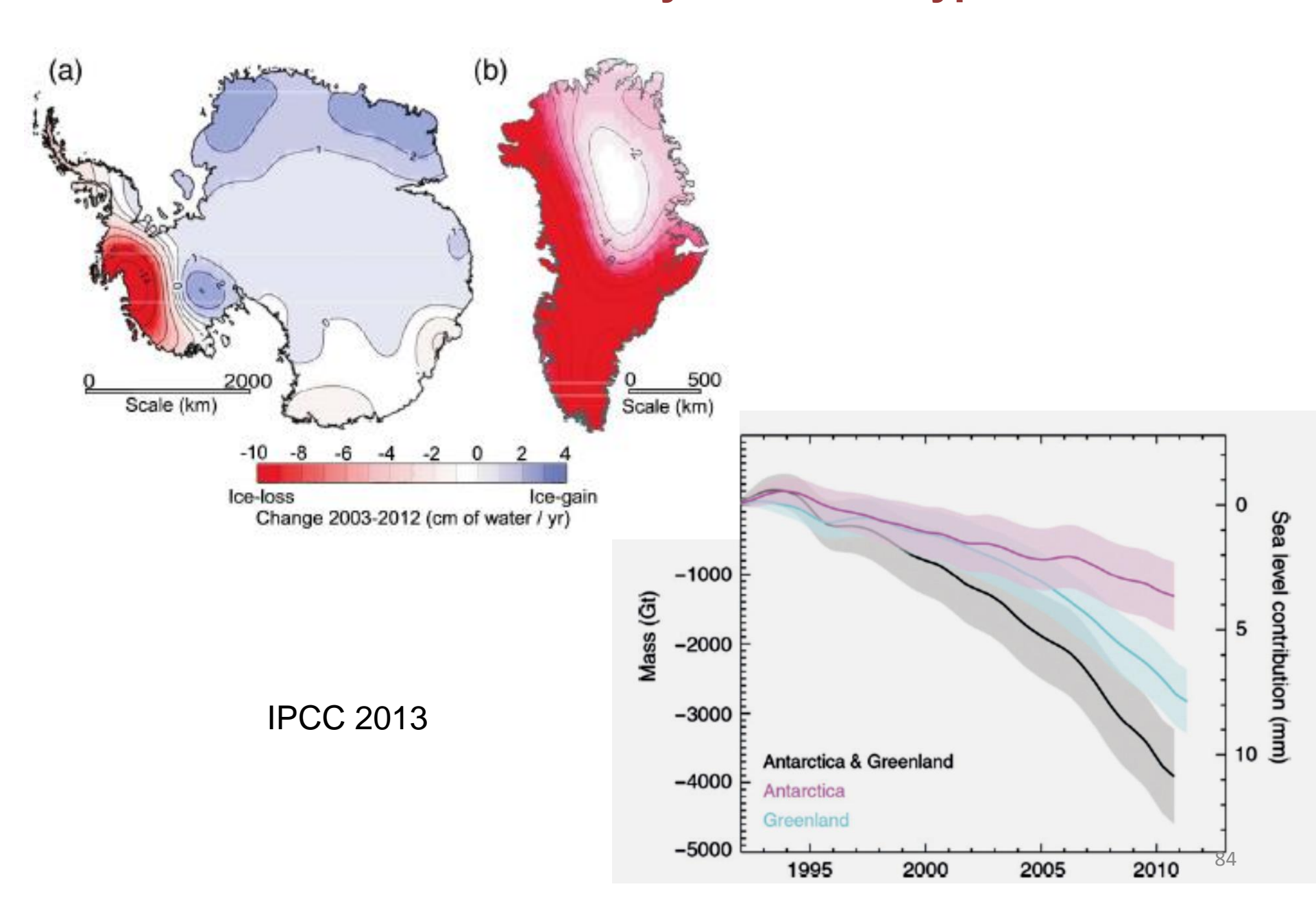
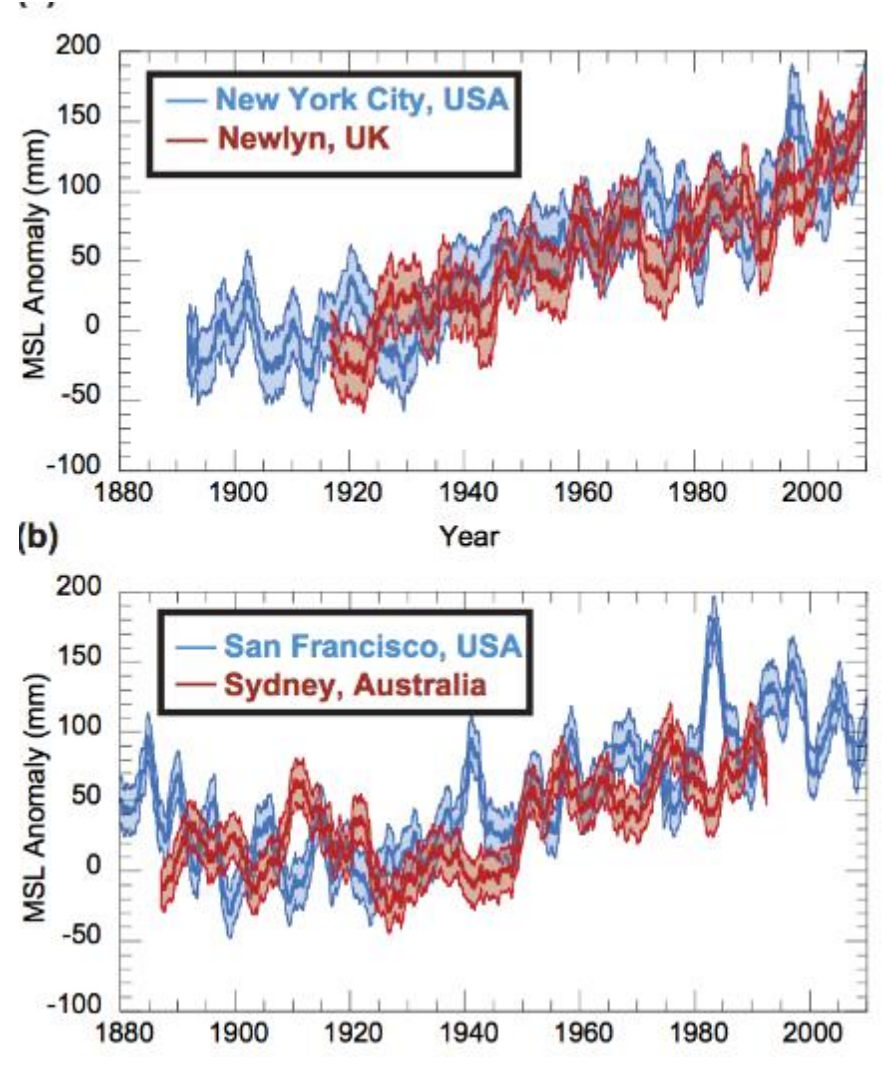


Figure 3.3: a) Areal mean warming rates (°C per decade) versus depth (thick lines) with 5 to 95% confidence limits (shading), both global (orange) and south of the Sub-Antarctic Front (purple), centred on 1992–2005. b) Mean warming rates (°C per decade) below 4000 m (colorbar) estimated for deep ocean basins (thin black outlines), centred on 1992–2005. Stippled basin warming rates are not significantly different from zero at 95% confidence. The positions of the Sub-Antarctic Front (purple line) and the repeat oceanographic transects from which these warming rates are estimated (thick black lines) also shown. Data from Purkey and Johnson (2010).

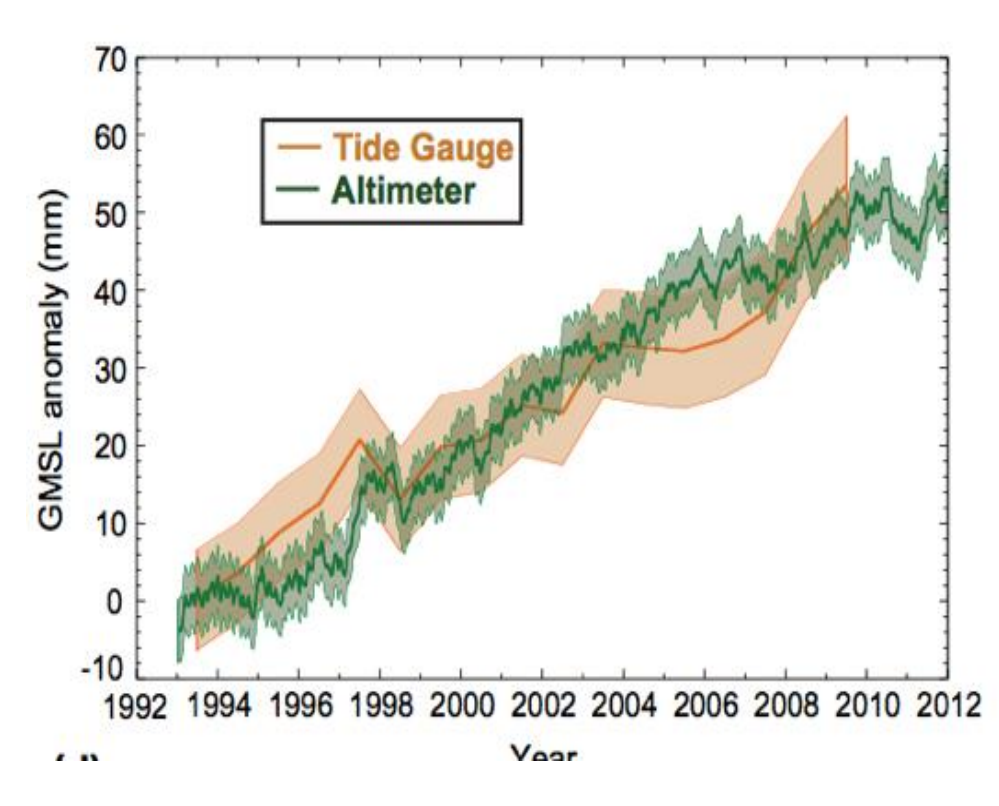
Уменьшение массы льда и увеличение уровня океана



Тренды уровня океана



Аномалии среднего уровня моря (мм) относительно 1900-1905 по данным самописцев.

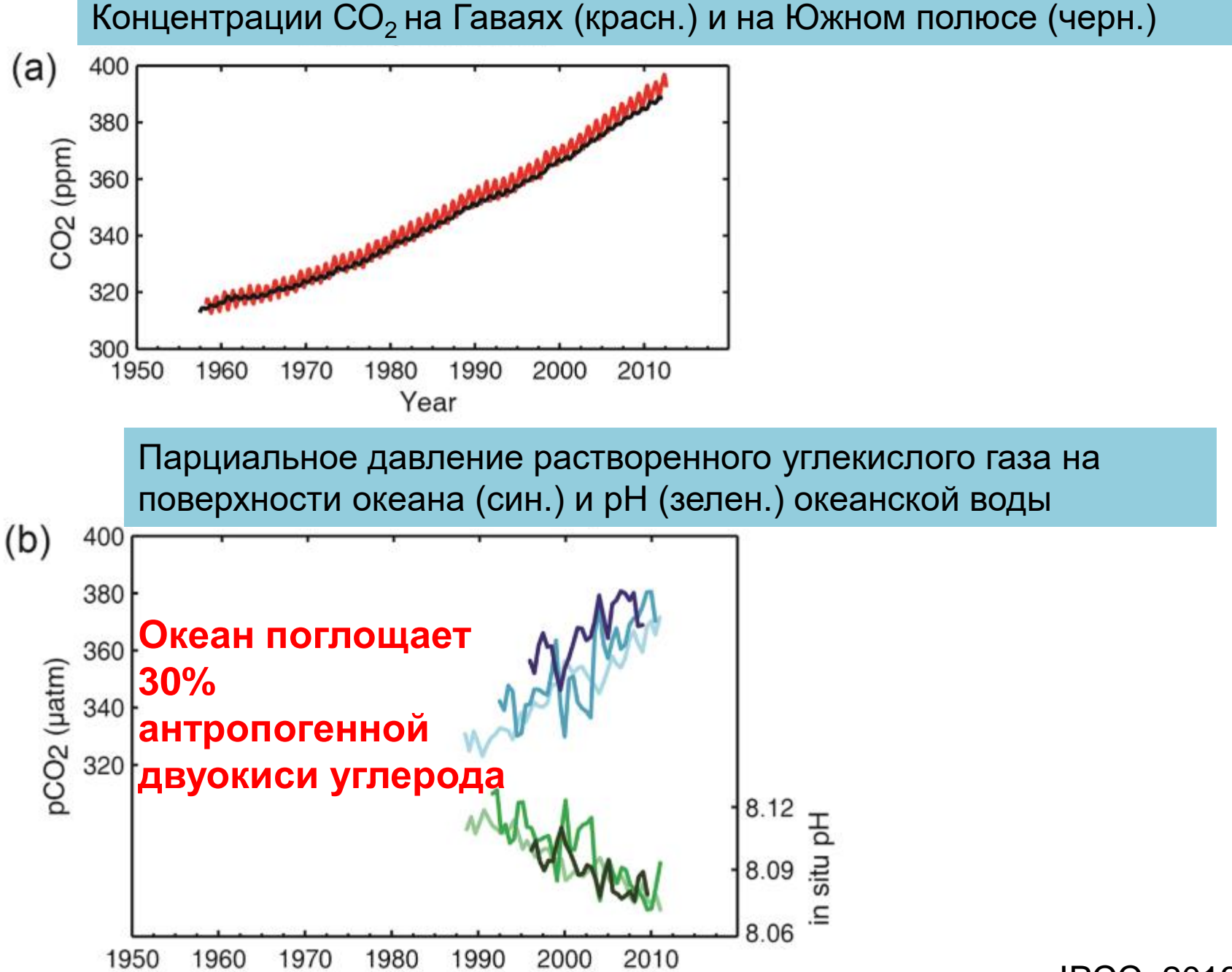


Аномалии среднего глобального уровня моря (мм) за последние 20 лет по данным самописцев и спутниковому альтиметру

Венеция: ступени церкви Иоанна и Павла

Картина Б.Белотто (1741)

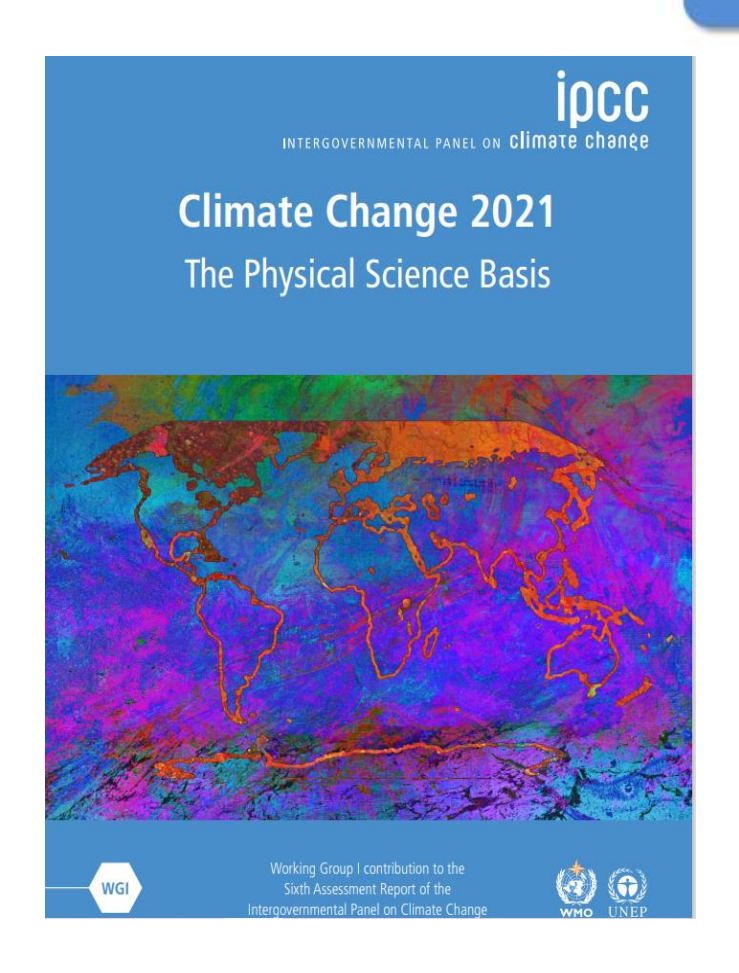


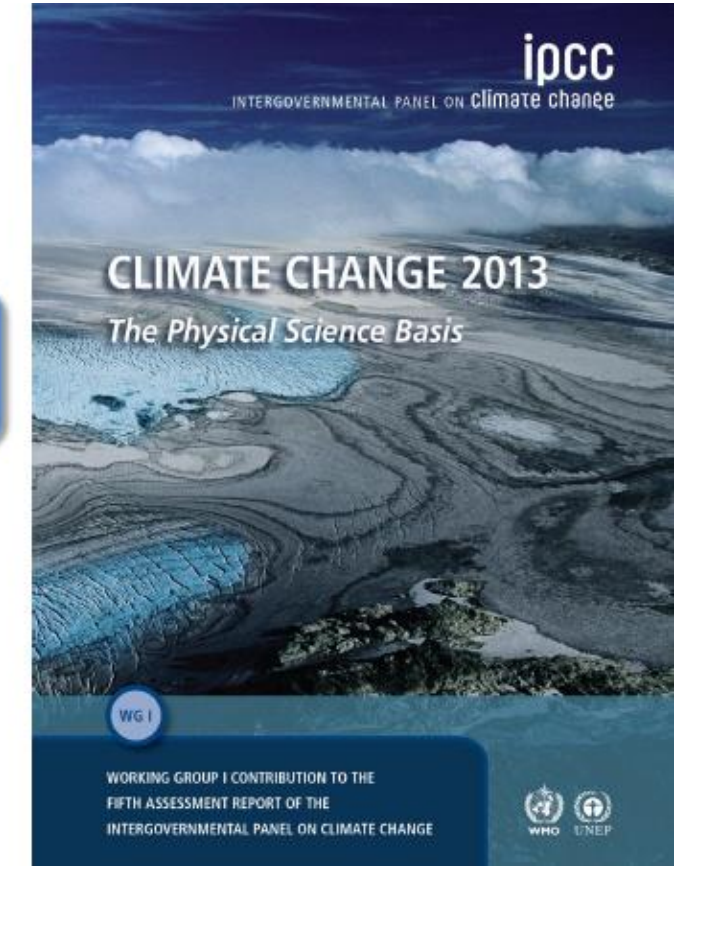


Year

Сценарии

Options



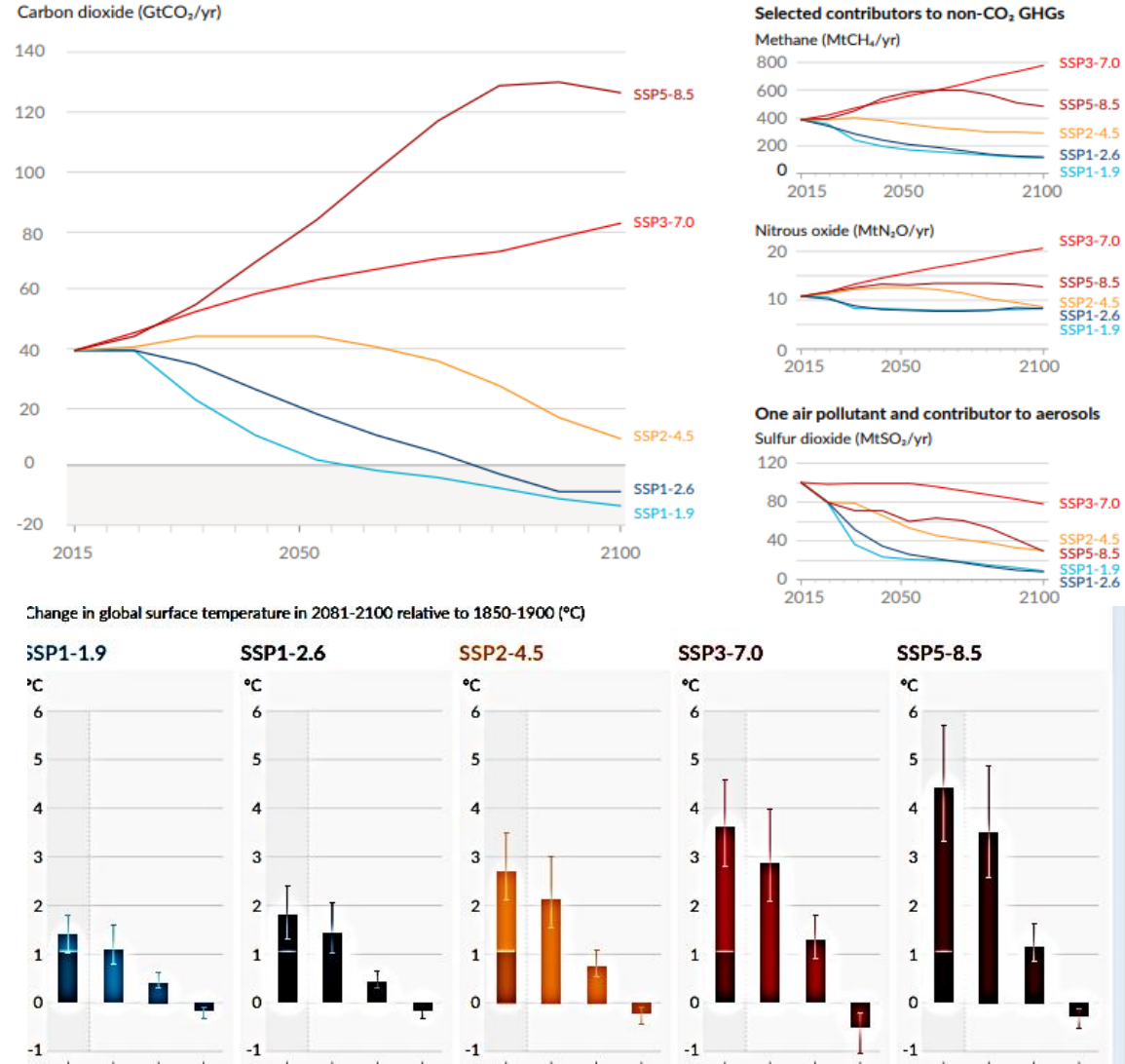


5 моделируемых сценария выбросов

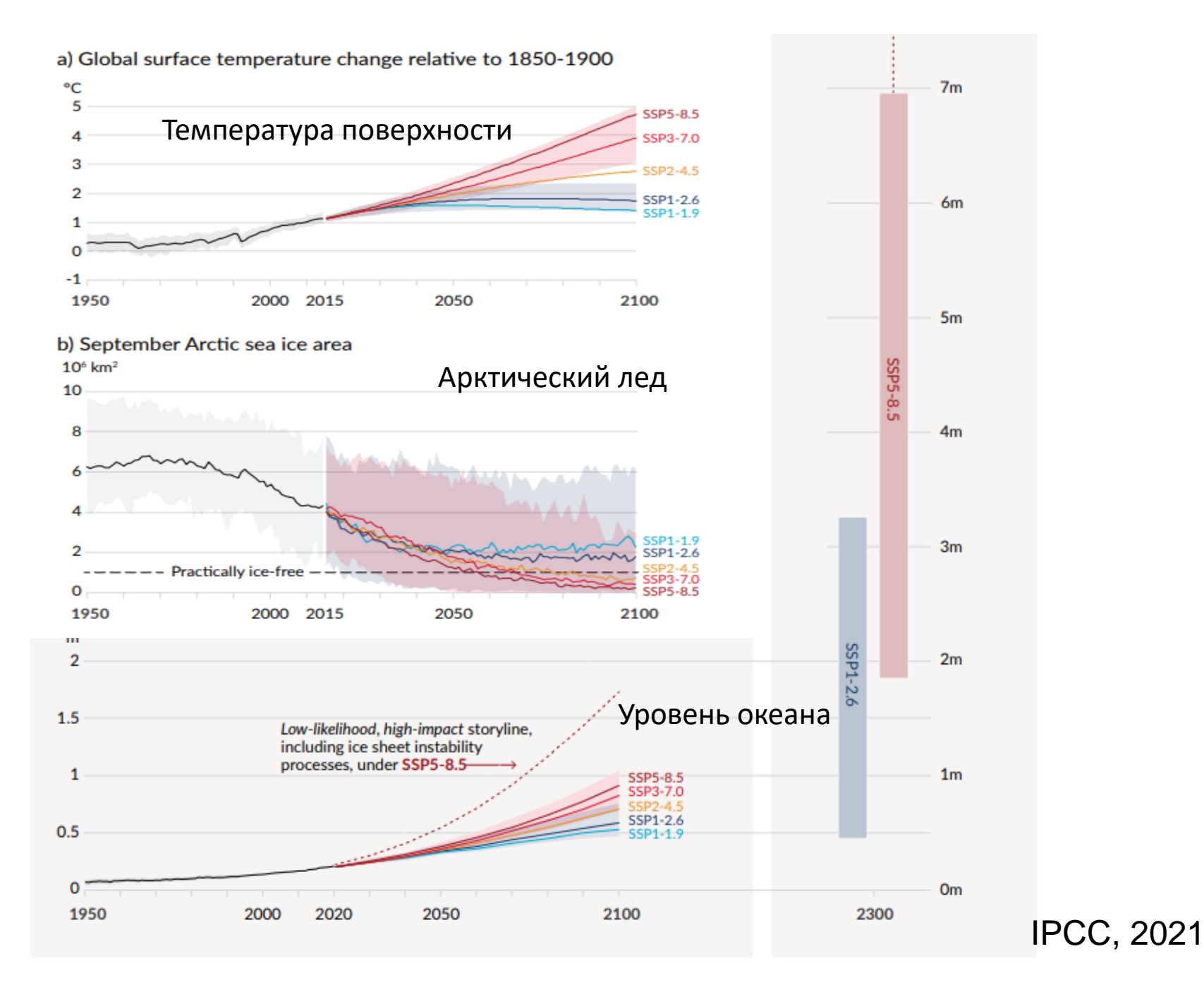
- •Очень высокие выбросы парниковых газов, которые к 2050 году увеличатся в два раза (сценарий SSP5-8.5);
- •Высокие выбросы парниковых газов, которые к 2100 году увеличатся в два раза (сценарий SSP3-7.0);
- •Промежуточный уровень выбросов парниковых газов, в соответствии с которым выбросы останутся на текущем уровне до 2050 года, а затем начнут снижаться (сценарий SSP2-4.5);
- •Низкие выбросы парниковых газов, которые будут снижаться медленно и достигнут нуля к 2075 году (сценарий SSP1-2,6);
- •Очень низкие выбросы парниковых газов, которые начнут снижаться сейчас и достигнут нуля вскоре после 2050 года (сценарий SSP1-1.9).

IPCC, 2021

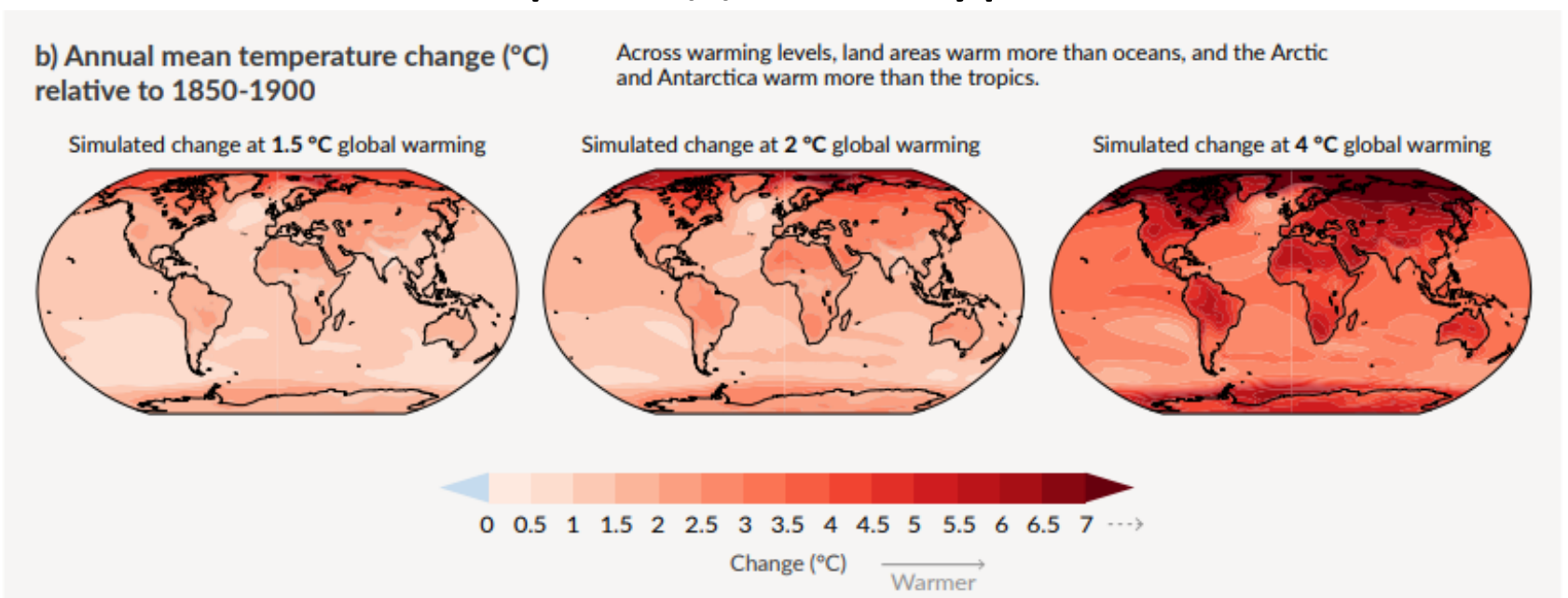
Future emissions cause future additional warming, with total warming dominated by past and future CO₂ emissions a) Future annual emissions of CO₂ (left) and of a subset of key non-CO₂ drivers (right), across five illustrative scenarios

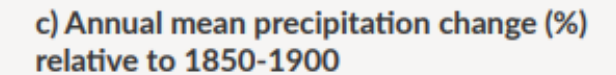


Влияние роста выбросов различных видов парниковых газов на рост глобальной температуры по пяти сценариям.

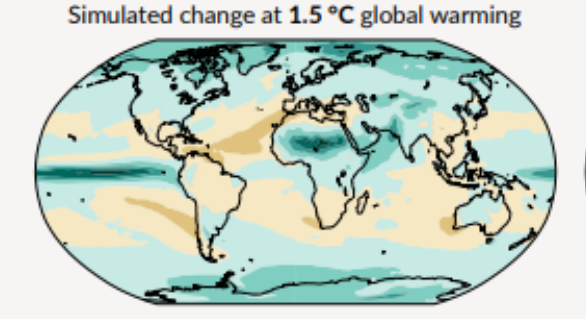


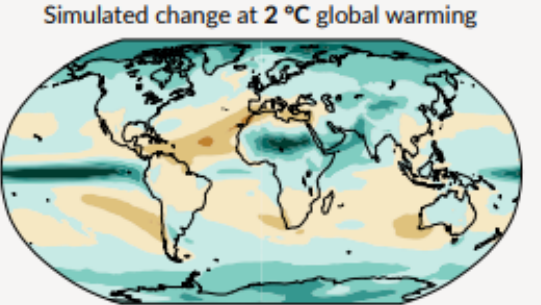
Изменения при заданном уровне потепления

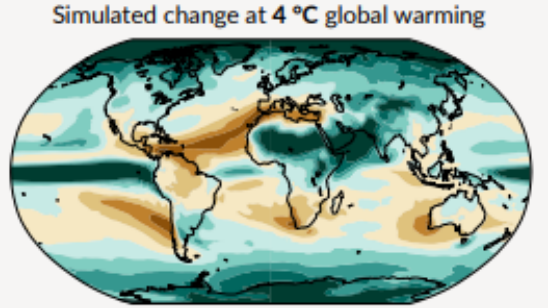




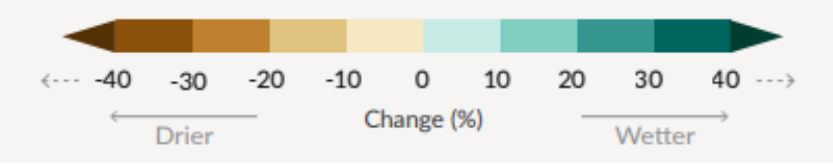
Precipitation is projected to increase over high latitudes, the equatorial Pacific and parts of the monsoon regions, but decrease over parts of the subtropics and in limited areas of the tropics.







Relatively small absolute changes may appear as large % changes in regions with dry baseline conditions



IPCC, 2021

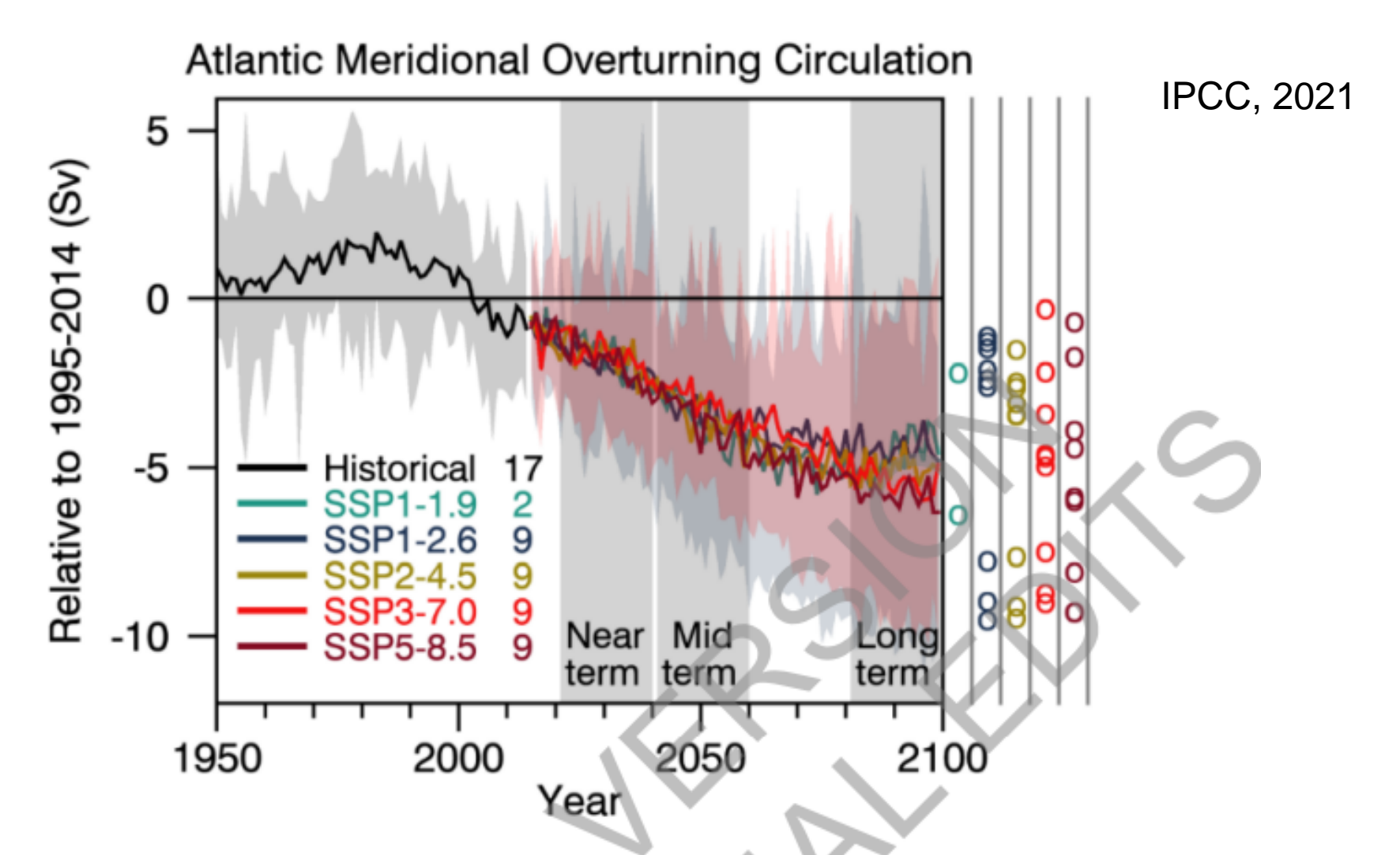
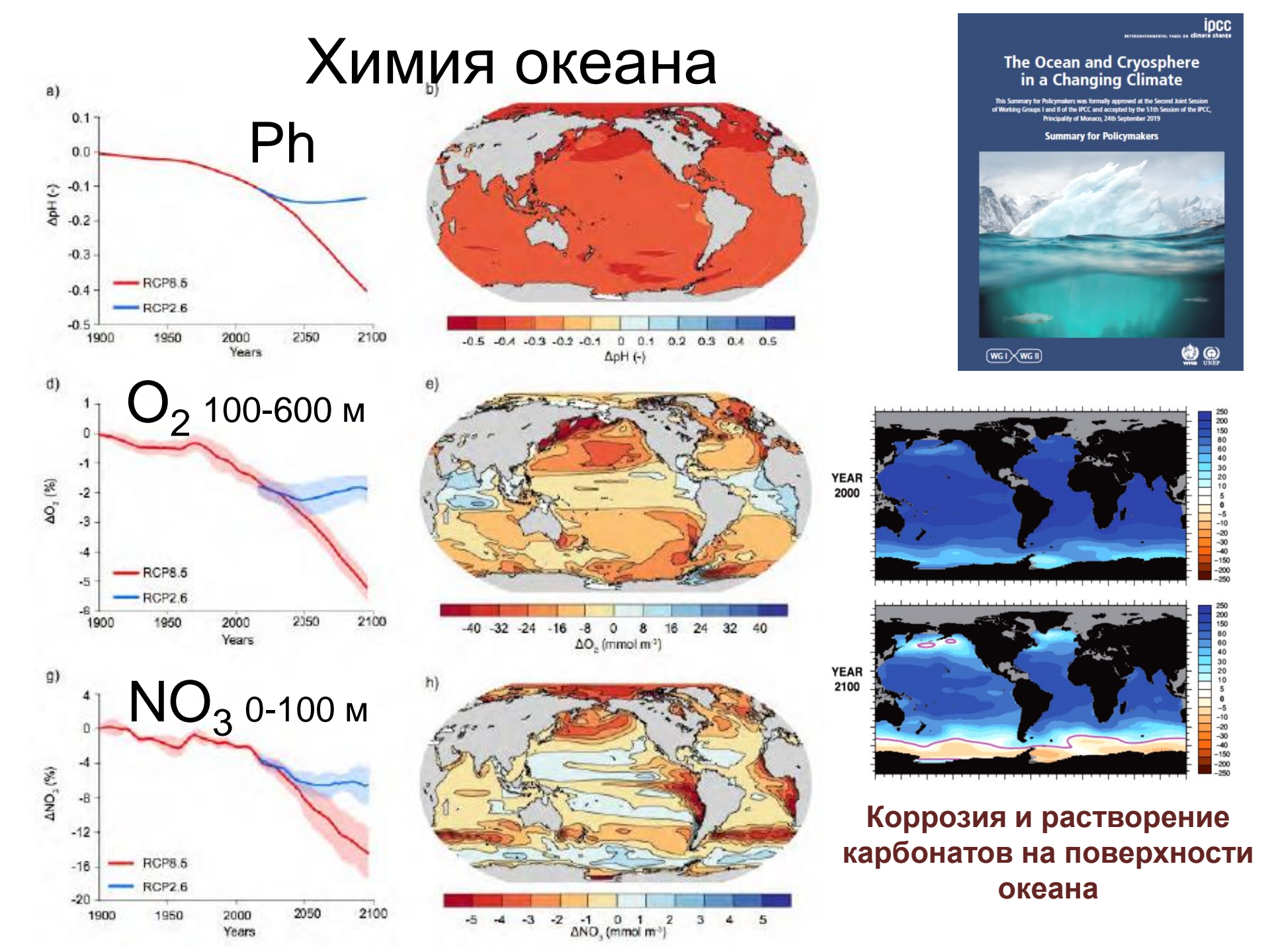
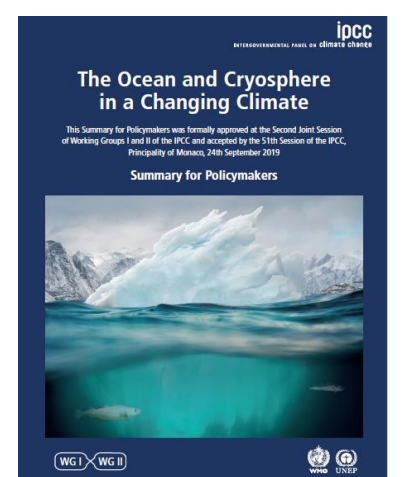
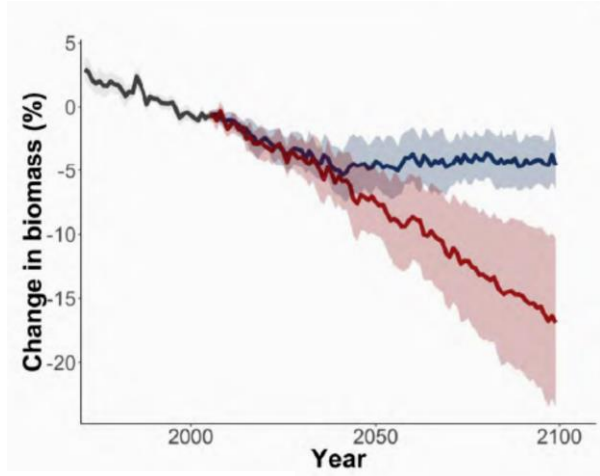


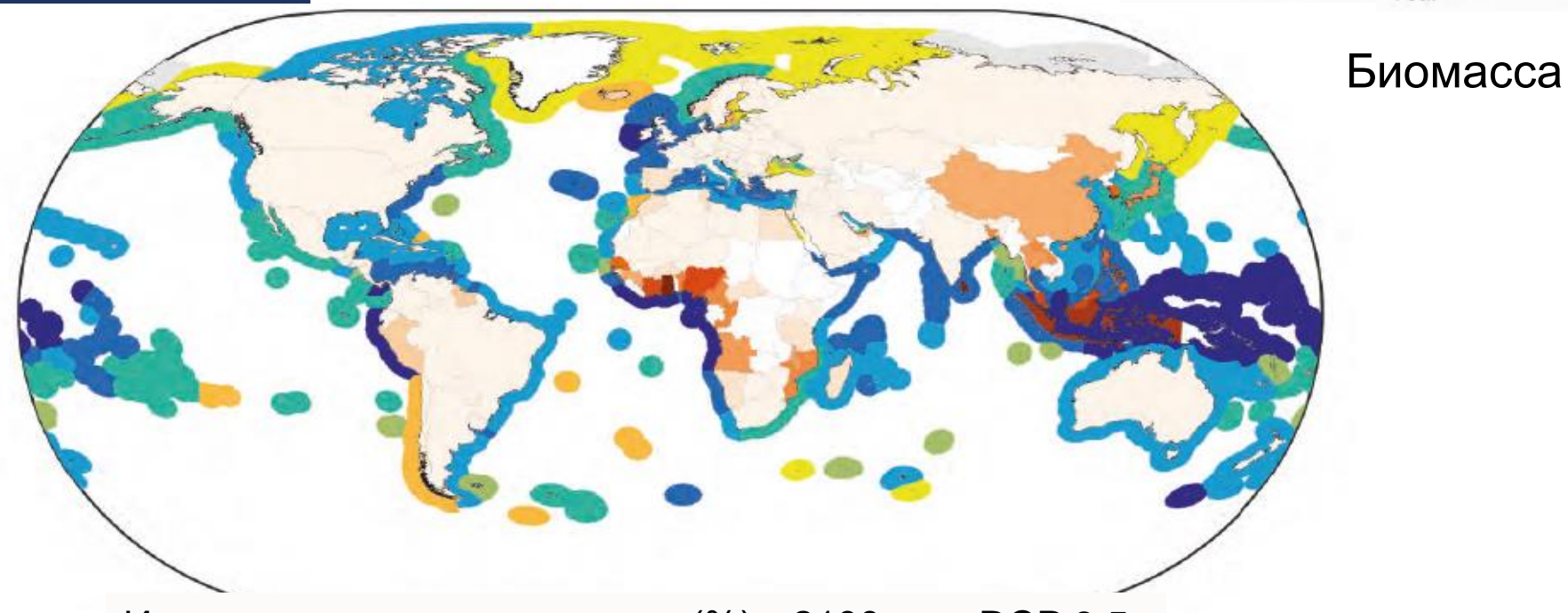
Figure 4.6: CMIP6 annual mean AMOC strength change in historical and scenario simulations. Changes are relative to averages from 1995–2014. The curves show ensemble averages and the shadings the 5–95% ranges across the SSP1-2.6 and SSP3-7.0 ensembles. The circles to the right of the panel show the anomalies averaged from 2081–2100 for each of the available model simulations. The numbers inside the panel are the number of model simulations. Here, the strength of the AMOC is computed as the maximum value of annual-mean ocean meridional overturning mass streamfunction in the Atlantic at 26°N. Results are from concentration-driven simulations. Further details on data sources and processing are available in the chapter data table (Table 4.SM.1).



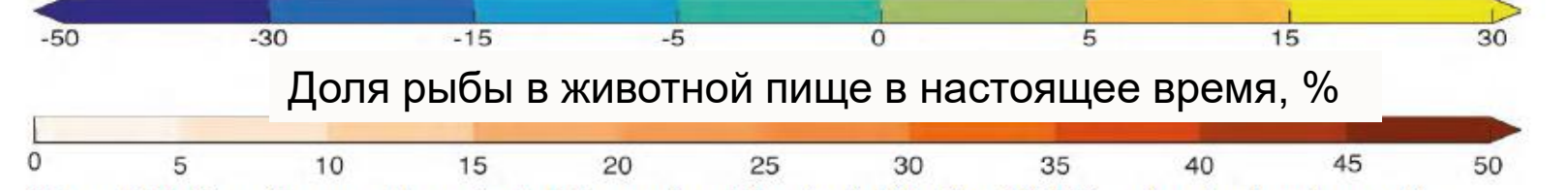


Продуктивность океана





Изменение потенциала улова (%) к 2100 г. по RCP 8.5



Благодарю за внимание!

